

3. 使用済燃料プールからの燃料取り出し

3.1. 概要

使用済燃料プールからの燃料取り出し設備は、燃料取扱設備、構内用輸送容器、燃料取り出し用カバーで構成する。

燃料取扱設備は、燃料取扱機、クレーンで構成する。

燃料取り出し用カバーは、燃料取扱設備を支持する。また、燃料取り出し用カバーには換気設備を含む。

なお、燃料の原子炉建屋外への搬出には、構内用輸送容器を使用する。

使用済燃料プールからの燃料取り出し設備は、燃料を使用済燃料プール内の使用済燃料貯蔵ラックから取り出し原子炉建屋から搬出するまでの取扱いを行うために必要な設備である。

今回の報告内容は、第4号機燃料取り出し用カバー換気設備の設備構成の変更及び第4号機の使用済燃料プールからの9×9新燃料の先行取り出しについてであり、それ以外は、今後の設計の進捗に応じ報告内容の見直しを行い、確認を受けることとする。

なお、第3号機及び第4号機の使用済燃料プールからの燃料取り出しに係る設備の設計方針、がれき撤去等の手順及び第4号機の燃料取り出し用カバーの構造強度・耐震性、放射性物質の飛散・拡散防止機能、異常時の評価については変更ない。

3.1.1. 現状及び中期的見通し

使用済燃料プールからの燃料取り出し設備は、使用済燃料プールから燃料を取り出すために必要な設備であり、今後、取り出し開始前までに設置する予定である。

第1号機から第4号機の使用済燃料プールに貯蔵されている燃料体数を表3-1に示す。

現状、第3号機及び第4号機において、燃料取り出しの準備として、原子炉建屋の上部がれき撤去を行っている。

表 3-1 第1～4号機 使用済燃料プール貯蔵燃料体数一覧 (体)

| | | 1号機 | 2号機 | 3号機 | 4号機 |
|-------|----------------------|-----|-----|-----|------|
| 新燃料 | 9×9燃料（A型） | 0 | 0 | 52 | 0 |
| | 9×9燃料（B型） | 100 | 28 | 0 | 204 |
| | 新燃料合計 | 100 | 28 | 52 | 204 |
| 使用済燃料 | 7×7燃料 | 68 | 3 | 0 | 1 |
| | 8×8燃料 | 2 | 0 | 6 | 4 |
| | 新型8×8燃料 | 4 | 0 | 0 | 0 |
| | 新型8×8ジルコニア ムライナ燃料 | 0 | 0 | 36 | 30 |
| | 高燃焼度8×8燃料 | 218 | 248 | 148 | 560 |
| | 9×9燃料（A型） | 0 | 0 | 324 | 0 |
| | 9×9燃料（B型） | 0 | 336 | 0 | 736 |
| | 使用済燃料合計 | 292 | 587 | 514 | 1331 |
| 合計 | | 392 | 615 | 566 | 1535 |

3.1.2. 基本的対応方針及び中期的計画

使用済燃料プールからの燃料取り出し設備は、中期的に設置される設備であり、以下の基本的対応方針に基づき設置する計画である。

(1) 燃料取扱設備

燃料取扱設備は、二重のワイヤなどにより落下防止を図るほか、駆動源喪失時にも燃料集合体を落下させない設計とする。

また、遮へい、臨界防止を考慮した設計とする。

(2) 構内用輸送容器

構内用輸送容器は、除熱、密封、遮へい、臨界防止を考慮した設計とする。また、破損燃料集合体を収納して輸送する容器については、燃料集合体の破損形態に応じて輸送中に放射性物質の飛散・拡散を防止できる設計とする。

(3) 燃料取り出し用カバー

燃料取り出し用カバーは、燃料取扱設備の支持、作業環境の整備及び放射性物質の飛散・拡散防止ができる設計とする。

第3号機及び第4号機は、原子炉建屋上部のがれき撤去、燃料取り出し用カバー設置、燃料取扱設備設置を行った後、燃料取り出しを実施する計画である。詳細の工事工程は、現在実施中のがれき撤去の見通しが不透明であることから、見通しが得られた段階で報告を行い、確認を受けることとする。

第1号機及び第2号機の計画は検討中であることから、計画が確定した段階で報告を行

い、確認を受けることとする。

3.1.3. 異常時の評価

異常時の評価として使用済燃料プールへの燃料集合体落下事象の評価を行う。第4号機における使用済燃料プールへの燃料集合体落下事象の評価の結果、設置許可申請書における燃料集合体の落下評価結果以下であり、周辺公衆に対し、著しい放射線被ばくのリスクを与えることはない。詳細は添付資料-4-1に示す。

第4号機以外の評価はそれぞれの使用済燃料プールからの燃料取り出し設備設置工事前までに報告を行い、確認を受けることとする。

3.2. 設計方針

3.2.1. 燃料取扱設備

(1) 落下防止

- a. 使用済燃料貯蔵ラック上には、重量物を吊ったクレーンを通過できないようにインターロックを設け、貯蔵燃料への重量物の落下を防止できる設計とする。
- b. 燃料取扱機の燃料把握機は、二重のワイヤや種々のインターロックを設け、また、クレーンの主要要素は、二重化を施すことなどにより、燃料移送操作中の燃料集合体等の落下を防止できる設計とする。

(2) 遮へい

燃料取扱設備は、使用済燃料プールから構内用輸送容器への燃料集合体の収容操作を、燃料の遮へいに必要な水深を確保した状態で、水中で行うことができる設計とするか、放射線防護のための適切な遮へいを設けて行う設計とする。

(3) 未臨界性

燃料取扱設備は、燃料集合体を一体ずつ取り扱う構造とすることにより、燃料の臨界を防止する設計とする。

(4) 放射線モニタリング

燃料取扱エリアの放射線モニタリングのため、放射線モニタを設け放射線レベルを測定し、これを免震重要棟に表示すると共に、過度の放射線レベルを検出した場合には警報を出し、放射線業務従事者に伝える設計とする。

(5) 構造強度

- a. 燃料取扱設備は、設計、材料の選定、製作及び検査について、適切と認められる規格及び基準によるものとする。
- b. 燃料取扱設備は、地震荷重等の適切な組合せを考慮しても強度上耐え得る設計とする。

(6) 単一故障

- a. 燃料取扱機の燃料把握機は、二重のワイヤや燃料集合体を確実につかんでいない場

合には吊上げができない等のインターロックを設け、圧縮空気等の駆動源が喪失した場合にも、フックから燃料集合体が外れない設計とする。

- b. 燃料取扱機の安全運転に係わるインターロックは電源喪失、ケーブル断線で安全側になる設計とする。
- c. クレーンの主要要素は、二重化を施すことなどにより、移送操作中の構内用輸送容器等の落下を防止できる設計とする。

(7) 試験検査

燃料取扱設備のうち安全機能を有する機器は、適切な定期的試験及び検査を行うことができる設計とする。

(8) 火災防護

火災の発生が考えられる箇所について、火災の早期検知に努めるとともに、消火器を設置することで初期消火を可能にし、火災により安全性を損なうことのないようにする。

また、破損燃料を取り扱う場合、燃料取扱設備は、破損形態に応じた適切な取扱手法により、移送中の放射性物質の飛散・拡散を防止できる設計とする。

3.2.2. 構内用輸送容器

(1) 除熱

使用済燃料の健全性及び構成部材の健全性が維持できるように、使用済燃料の崩壊熱を適切に除去できる設計とする。

(2) 密封

周辺公衆及び放射線業務従事者に対し、放射線被ばく上の影響を及ぼすことのないよう、使用済燃料が内包する放射性物質を適切に閉じ込める設計とする。

(3) 遮へい

内部に燃料を入れた場合に放射線障害を防止するため、使用済燃料の放射線を適切に遮へいする設計とする。

(4) 未臨界性

想定されるいかなる場合にも、燃料が臨界に達することを防止できる設計とする。

(5) 構造強度

構内用輸送容器は取扱中における衝撃、熱等に耐え、かつ、容易に破損しない設計とする。

構内用輸送容器は、設計、材料の選定、製作及び検査について適切と認められる規格及び基準によるものとする。

適用する規格、基準の詳細については設計進捗に従い別途報告する。

また、破損燃料集合体を収納して輸送する容器は燃料集合体の破損形態に応じて輸送中

に放射性物質の飛散・拡散を防止できる設計とする。

3.2.3. 燃料取り出し用カバー

(1) 燃料取り出し作業環境の整備

燃料取り出し用カバーは、燃料取り出し作業に支障が生じることのないよう、風雨を遮る設計とする。

また、必要に応じ燃料取り出し用カバー内にローカル空調機を設置し、カバー内の作業環境の改善を図るものとする。

(2) 放射性物質の飛散・拡散防止

燃料取り出し用カバーは、隙間を低減するとともに、換気設備を設け、排気はフィルタユニットを通じて外部へ放出することにより、カバー内の放射性物質の大気への放出を抑制できる設計とする。

第4号機を除く異常時の評価結果を踏まえた燃料取り出し用カバー内の放射性物質の大気への放出抑制機能の妥当性については、今後の報告の時に、確認を受けることとする。

(3) 監視機能

換気設備の運転状態やフィルタユニット出入口で監視する放射性物質濃度等の監視状態は現場制御盤及び免震重要棟に表示され、異常時は警報を発するなどの管理を行う。

(4) 構造強度

燃料取り出し用カバーは、設計、材料の選定、製作及び検査について、適切と認められる規格及び基準によることを原則とするが、特殊な環境下での設置となるため、必要に応じ解析や試験等を用いた評価により確認する。

燃料取り出し用カバーは、燃料取扱設備を支持するために必要な構造強度を有する設計とする。

(5) 火災防護

火災の発生が考えられる箇所について、火災の早期検知に努めるとともに、消火器を設置することで初期消火を可能にし、火災により安全性を損なうことのないようにする。

3.3. 主要設備

3.3.1. 燃料取扱設備

燃料取扱設備は、燃料取扱機、クレーンで構成する。

(1) 燃料取扱機

燃料取扱機は、使用済燃料プール及びキャスクピット上を水平に移動するブリッジ並びにその上を移動するトロリで構成する。

(2) クレーン

クレーンは、オペレーティングフロア上部を水平に移動するガーダ及びその上を移動

するトロリで構成する。

3.3.2. 構内用輸送容器

構内用輸送容器は、容器本体、蓋、バスケット等で構成する。

3.3.3. 燃料取り出し用カバー

燃料取り出し用カバーは、使用済燃料プールを覆う構造としており、必要により、燃料取扱機支持用架構及びクレーン支持用架構を有する。第4号機の詳細を添付資料-3-1に示す。

また、燃料取り出し用カバーは換気設備及びフィルタユニットを有する。第4号機の詳細を添付資料-3-2に示す。

3.4. 耐震性

3.4.1. 燃料取扱設備

(1) 燃料取扱機

燃料取扱機は、使用済燃料プール、使用済燃料貯蔵ラックへの波及的影響を考慮することとし、検討用地震動 S s により使用済燃料プール、使用済燃料貯蔵ラックへ落下しないことの確認を行う。

耐震性に関する評価にあたっては、「JEAG4601 原子力発電所耐震設計技術指針」に準拠することを基本とするが、必要に応じて試験結果等を用いた現実的な評価を行う。

(2) クレーン

クレーンは、使用済燃料プール、使用済燃料貯蔵ラックへの波及的影響を考慮する。クレーンは、「JEAG4601・補-1984 原子力発電所耐震設計技術指針 重要度分類・許容応力編」に基づき、通常時は使用済燃料プール上ではなく、基準地震動 S s が発生して使用済燃料プール、使用済燃料貯蔵ラックを損傷させる可能性は少ないため、検討用地震動 S d により使用済燃料プール、使用済燃料貯蔵ラックへ落下しないことの確認を行う。

耐震性に関する評価にあたっては、「JEAG4601 原子力発電所耐震設計技術指針」に準拠することを基本とするが、必要に応じて試験結果等を用いた現実的な評価を行う。

3.4.2. 燃料取り出し用カバー

燃料取り出し用カバーは、その損傷による原子炉建屋、使用済燃料プール、使用済燃料貯蔵ラックへの波及的影響を考慮することとし、検討用地震動 S s により確認を行う。

耐震性に関する評価にあたっては、「JEAG4601 原子力発電所耐震設計技術指針」に準拠することを基本とするが、必要に応じて試験結果等を用いた現実的な評価を行う。

第4号機の評価の結果、検討用地震動 S s に対し、原子炉建屋、使用済燃料プール、使

用済燃料貯蔵ラックへ波及的影響を及ぼさないことを確認した。詳細は添付資料－3-1に示す。

3.5. 主要仕様

使用済燃料プールからの燃料取り出し設備の主要仕様を表 3-2 に示す。

3.6. 運用

3.6.1. 燃料集合体の健全性確認

使用済燃料プールに貯蔵されている燃料集合体について、移送前に燃料集合体の機械的健全性を確認する。

燃料集合体の健全性確認のため、第 4 号機使用済燃料プール内の 9×9 新燃料 2 体を先行的に取り出す計画である。詳細を添付資料－5-1 に示す。

3.6.2. 破損燃料の取り扱い

燃料集合体の機械的健全性確認において、破損が確認された燃料集合体を移送する場合には、破損形態に応じた適切な取扱手法及び収納方法により、放射性物質の飛散・拡散を防止する。

3.6.3. 使用済燃料プール付近のがれき撤去等

がれき等を撤去する際は、がれき等を使用済燃料プールに落下させ波及的影響を与えることのないよう防止策を講じる。

3.7. 添付資料

添付資料－1 燃料取扱設備の設計等に関する説明書

添付資料－1-1 燃料取扱設備の構造強度及び耐震性に関する説明書※1

添付資料－1-2 燃料の落下防止、臨界防止に関する説明書※1

添付資料－1-3 放射線モニタリングに関する説明書※1

添付資料－1-4 燃料の健全性確認及び取り扱いに関する説明書※1

添付資料－2 構内用輸送容器の設計等に関する説明書

添付資料－2-1 構内用輸送容器に係る安全機能及び構造強度に関する説明書※1

添付資料－2-2 破損燃料用輸送容器に係る安全機能及び構造強度に関する説明書※1

添付資料－2-3 構内輸送時の措置に関する説明書※1

添付資料－3 燃料取り出し用カバーの設計等に関する説明書

添付資料－3-1 燃料取り出し用カバーの構造強度及び耐震性に関する説明書※2

添付資料－3-2 放射性物質の飛散・拡散を防止するための機能に関する説明書※2

添付資料－3-3 がれき撤去等の手順に関する説明書

添付資料－4 異常時に関する説明書

添付資料－4-1 移送操作中の燃料集合体の落下※2

添付資料－5 新燃料先行取り出しに関する説明書

添付資料－5-1 4号機使用済燃料プール新燃料先行取り出しに関する説明書

※1 及び※2（第4号機を除く）の説明書については、現地工事開始前までに報告を行い、確認を受けることとする。

表 3-2 使用済燃料プールからの燃料取り出し設備主要仕様

※：一部の主要仕様の詳細については、現地工事開始前までに報告を行い、確認を受けることとする。

1. 燃料取扱設備

(1) 燃料取扱機

個数 1

(2) クレーン

個数 1

2. 構内用輸送容器

個数 1 式

3. 燃料取り出し用カバー（換気設備含む）

（第4号機を除く）

個数 1 式

（第4号機）

(1) 燃料取り出し用カバー

種類 鉄骨造

寸法 約 69m (南北) × 約 31m (東西) × 約 53m (地上高)

（作業環境整備区画）

約 55m (南北) × 約 31m (東西) × 約 23m (オペレーティングフロア上部高さ)

個数 1 個

(2) 送風機（給気フィルタユニット）

種類 遠心式

容量 25,000m³/h

台数 3 台

(3) プレフィルタ（給気フィルタユニット）

種類 中性能フィルタ（袋型）

容量 25,000m³/h

台数 3 台

(4) 高性能粒子フィルタ（給気フィルタユニット）

| | |
|----|-------------------------|
| 種類 | 高性能粒子フィルタ |
| 容量 | 25,000m ³ /h |
| 効率 | 97% (粒径 0.3 μ m) 以上 |
| 台数 | 3 台 |

(5) 排風機（排気フィルタユニット）

| | |
|----|-------------------------|
| 種類 | 遠心式 |
| 容量 | 25,000m ³ /h |
| 台数 | 3 台 |

(6) プレフィルタ（排気フィルタユニット）

| | |
|----|-------------------------|
| 種類 | 中性能フィルタ（袋型） |
| 容量 | 25,000m ³ /h |
| 台数 | 3 台 |

(7) 高性能粒子フィルタ（排気フィルタユニット）

| | |
|----|-------------------------|
| 種類 | 高性能粒子フィルタ |
| 容量 | 25,000m ³ /h |
| 効率 | 97% (粒径 0.3 μ m) 以上 |
| 台数 | 3 台 |

(8) 放射性物質濃度測定器（排気フィルタユニット出入口）

| | |
|-------|---|
| 検出器種類 | シンチレーション検出器 |
| 計測範囲 | 10 ⁻¹ ～10 ⁴ s ⁻¹ |
| 台数 | 排気フィルタユニット入口 1 台 排気フィルタユニット出口 2 台 |

(9) ダクト

a. カバー内ダクト

| | |
|----|---------------------------------|
| 種類 | 長方形はぜ折りダクト／鋼板ダクト |
| 材質 | 溶融亜鉛めっき鋼板 (SGCC 又は SGHC) ／SS400 |

b. 屋外ダクト

| | |
|----|--|
| 種類 | 長方形はぜ折りダクト／鋼板ダクト |
| 材質 | 溶融亜鉛めっき鋼板 (SGCC 又は SGHC、ガルバニウム付着) ／SS400 |

c. 柱架構ダクト

| | |
|----|-----|
| 種類 | 柱架構 |
| 材質 | 鋼材 |

表 3-3 使用済燃料プールからの燃料取り出し 工程表

| | 平成 24 年度 | | | | 平成 25 年度 | | | |
|--|----------|-----|-----|----|----------|-------|------------------|-------|
| | 4月 | 7月 | 10月 | 1月 | 第一四半期 | 第二四半期 | 第三四半期 | 第四四半期 |
| 第 4 号機 燃料取り出し 用カバー/燃 料取扱設備設 置 | がれき撤去 | | | | | | 燃料取り出し開始 (目標) | |
| | | □□□ | | | | | | ▽ |
| | 地盤改良工事 | | | | | | | |
| | | □□□ | | | | | | |
| | | | | | | | | |
| | | | | | | | | |
| 燃料取り出し用カバー設置工事 | | | | | | | | |
| 燃料取り出し用カバー換気設備設置工事 | | | | | | | | |
| 燃料取扱設備設置工事 | | | | | | | | |
| (がれきの状況により終了 時期が変動する可能性有) | | | | | | | | |
| (地中埋設物等の状況により 終了 時期が変動する可能性有) | | | | | | | | |
| (がれき撤去の 進捗 によって は、燃料取り 出し用カバー/ 燃料取扱設備 設置工事工程 に影響を及ぼす 可能性有) | | | | | | | | |

燃料取り出し用カバーの構造強度及び耐震性に関する説明書（第4号機）

1. 本説明書の記載範囲

本説明書は、第4号機燃料取り出し用カバーの構造強度及び耐震性について記載するものである。なお、第3号機については、現地工事開始前までに報告を行い、確認を受けることとする。

2. 第4号機燃料取り出し用カバーの構造強度及び耐震性について

2.1 概要

2.1.1 一般事項

第4号機燃料取り出し用カバーは、使用済燃料プールを覆う構造としており、クレーン支持用架構と燃料取扱機支持用架構を有し、それぞれについて構造強度と耐震性について検討を行う。

燃料取り出し用カバーの構造強度は一次設計に対応した許容応力度設計を実施し、耐震性は基準地震動 Ss に対する地震応答解析を実施し、燃料取り出し用カバーの損傷が原子炉建屋、使用済燃料プール及び使用済燃料ラックに波及的影響を及ぼさないことを確認する。ここで、波及的影響の確認は、架構が崩壊機構に至らないことを確認する。図 2.1.1-1 に燃料取り出し用カバーのイメージを示す。

なお、一部損壊した原子炉建屋に接合される燃料取扱機支持用架構の施工前において、本説明書で想定しているように、原子炉建屋の接合部が施工に十分な状態かどうか確認した点検結果を別途報告するとともに、不具合が見つかった場合には、適切に補修等を実施する。

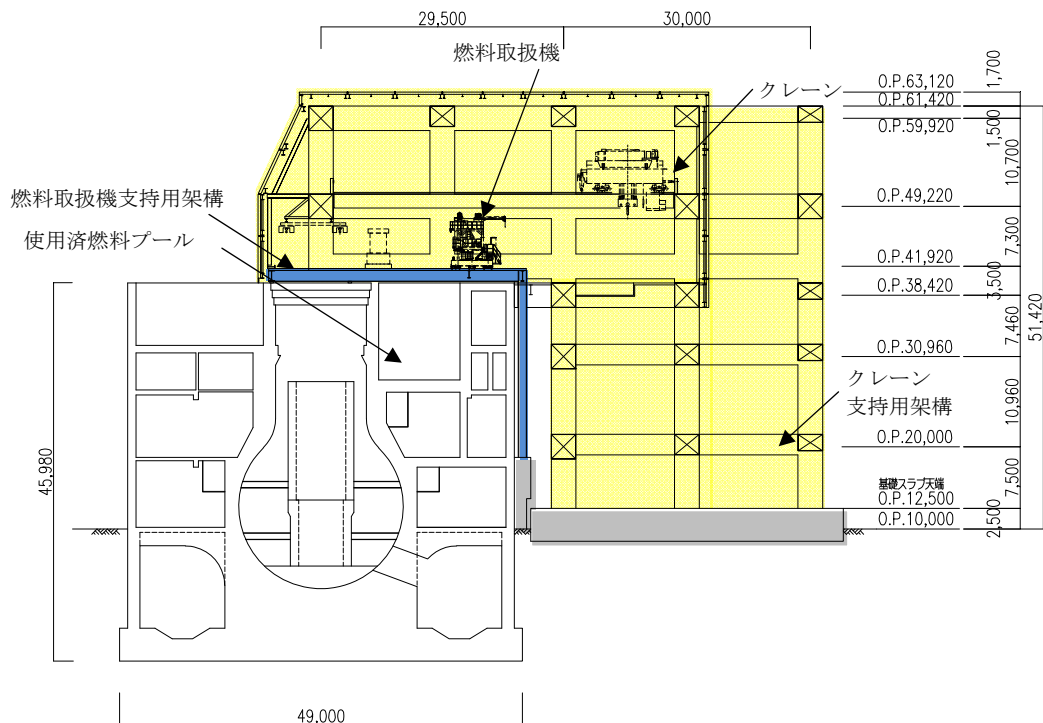


図 2.1.1-1 燃料取り出し用カバーのイメージ

燃料取り出し用カバーの検討は原則として下記の法規及び基規準類に準拠して行う。

- (1) 建築基準法・同施行令及び関連告示
- (2) 原子力施設鉄筋コンクリート構造計算規準・同解説（日本建築学会、2005 制定）
- (3) 鉄筋コンクリート構造計算規準・同解説（日本建築学会、2010 改定）
- (4) 鋼構造設計規準（日本建築学会、2005 改定）
- (5) 建築基礎構造設計指針（日本建築学会、2001 改定）
- (6) 2007 年版 建築物の構造関係技術基準解説書(国土交通省住宅局建築指導課・国土交通省
国土技術政策総合研究所・独立行政法人建築研究所・日本建築行政会議、2007 刊行)
- (7) 鋼構造塑性設計指針（日本建築学会、1975 発行）
- (8) 建築工事標準仕様書・同解説 JASS14 カーテンウォール工事（日本建築学会、1996 改定）
- (9) 各種合成構造設計指針・同解説（日本建築学会、2010 改定）

また、原子力施設の設計において参考される下記の指針及び規程を参考にして検討を行う。

- (1) 原子力発電所耐震設計技術指針(JEAG 4601-1987)（日本電気協会 電気技術基準調査委員会、昭和 62 年 8 月 改訂）
- (2) 原子力発電所耐震設計技術指針(JEAG 4601-1991 追補版)（日本電気協会 電気技術基準調査
委員会、平成 3 年 6 月 発刊）
- (3) 原子力発電所耐震設計技術規程(JEAC 4601-2008)（日本電気協会 原子力規格委員会、平成
20 年 12 月 改定）
- (4) 乾式キャスクを用いる使用済燃料中間貯蔵建屋の基礎構造の設計に関する技術規程 (JEAC
4616-2009)（日本電気協会 原子力規格委員会、平成 21 年 12 月 制定）

2.1.2 クレーン支持用架構

クレーン支持用架構はキャスク搬出入用の天井クレーンを支持する架構で、南北方向に 30.00m、東西方向に 25.50m、地盤面からの高さが 51.42m の柱部分と、北方向に 29.50m 跳ね出した片持ち梁部分からなる逆 L 字型の架構である。構造形式はラーメン構造で、構造種別は鉄骨造である。柱、大梁には、箱型断面部材を用いる。

基礎形式は基礎スラブによる直接基礎とし、地震時の基礎の転倒防止対策として地盤アンカーを用い、基礎スラブを支持する地盤は地盤改良により強固な支持地盤を形成する。改良地盤は既存の原子炉建屋と同様に泥岩に着底している。

クレーン支持用架構の概要を図 2.1.2-1 に、基礎スラブ及び改良地盤の概要を図 2.1.2-2 に示す。

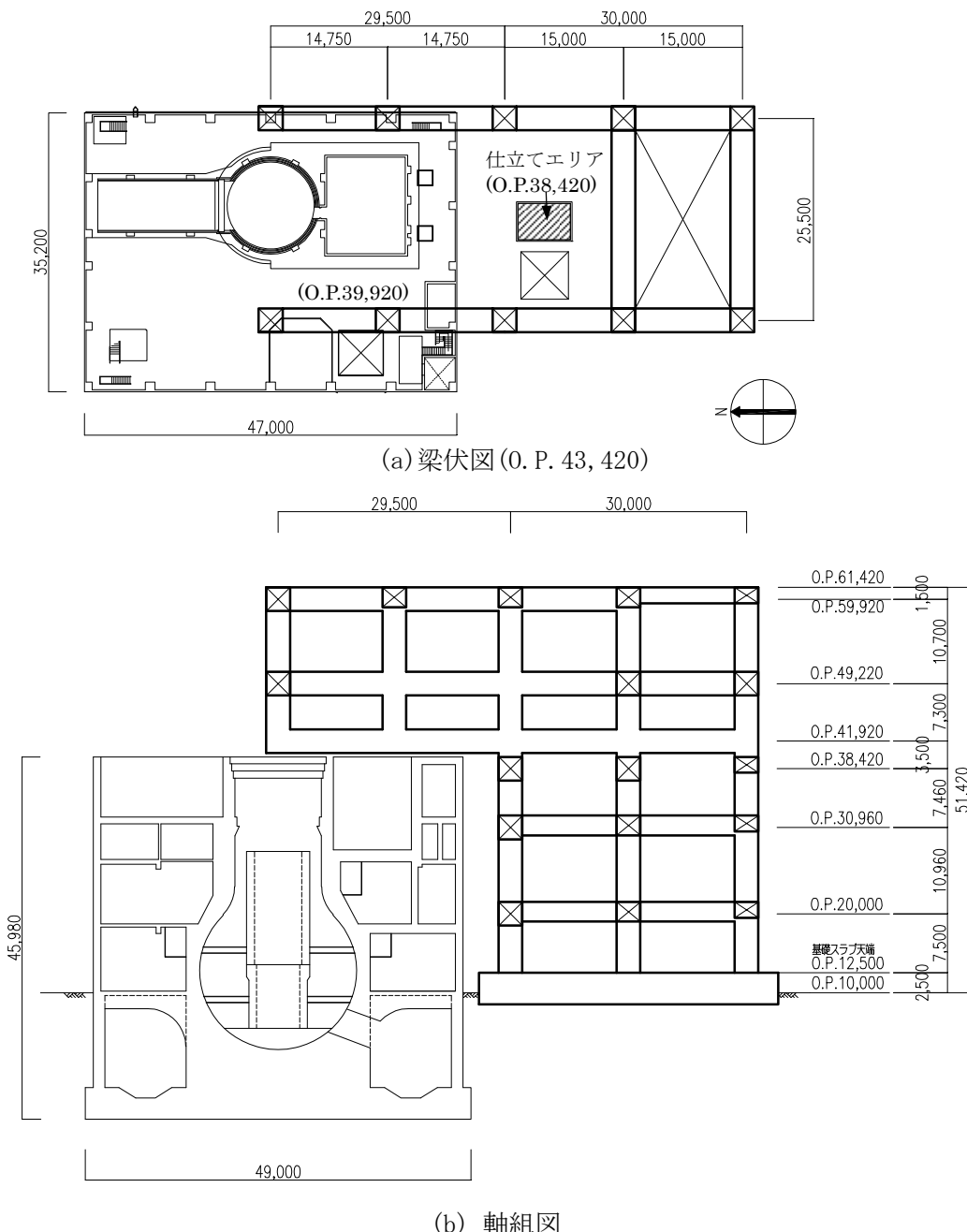


図 2.1.2-1 クレーン支持用架構の概要 (単位 : mm)

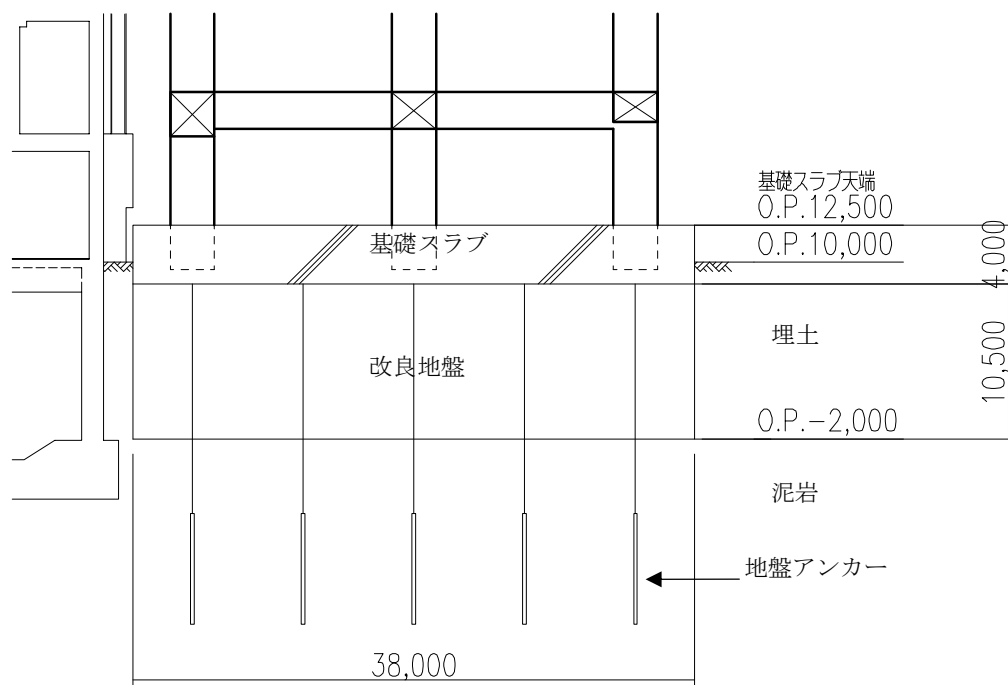
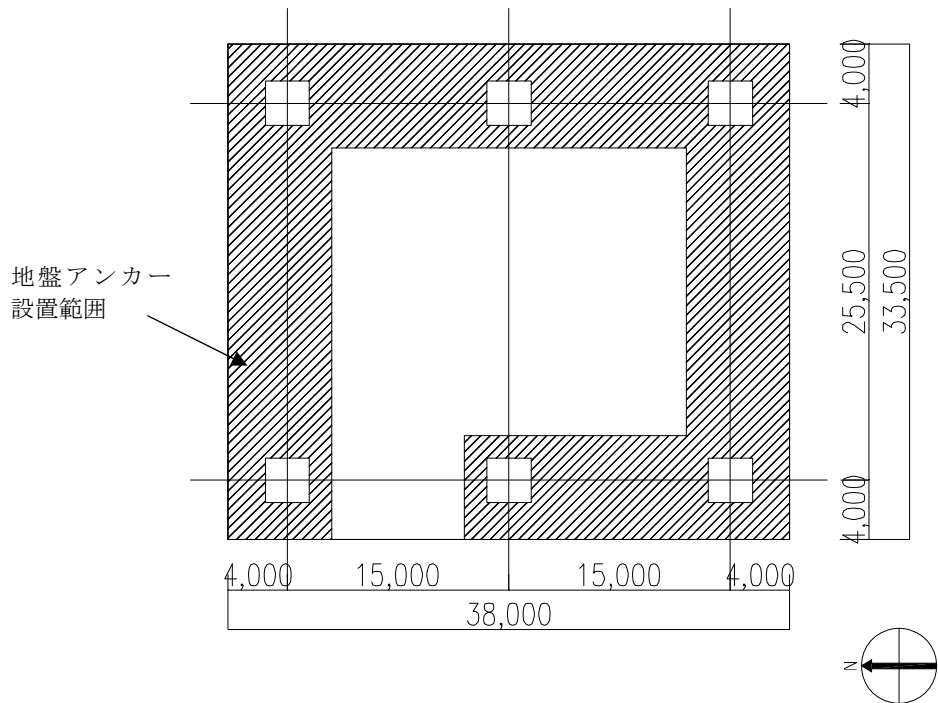


図 2.1.2-2 基礎スラブ及び改良地盤の概要 (単位 : mm)

2.1.3 燃料取扱機支持用架構

燃料取扱機支持用架構は燃料取扱機を支持する架構で、南北方向に 30.50m、東西方向に 13.36m、地盤面からの高さが 30.77m の柱及び梁からなる逆 L 字型の架構である。構造形式はラーメン構造で、構造種別は鉄骨造である。

支持形式は、原子炉建屋シェル壁上端及び 1 階から 2 階の南側外壁に支持する構造である。燃料取扱機支持用架構の概要を図 2.1.3-1(1) 及び図 2.1.3-1(2) に示す。

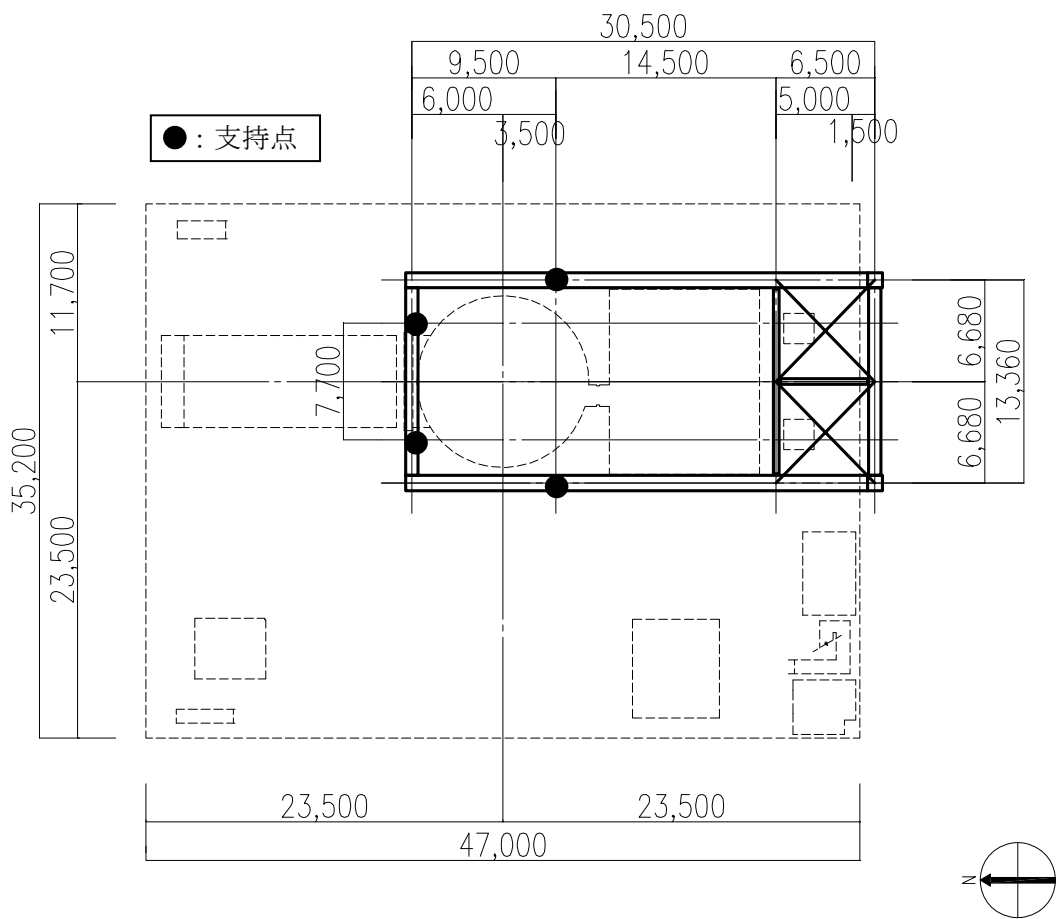
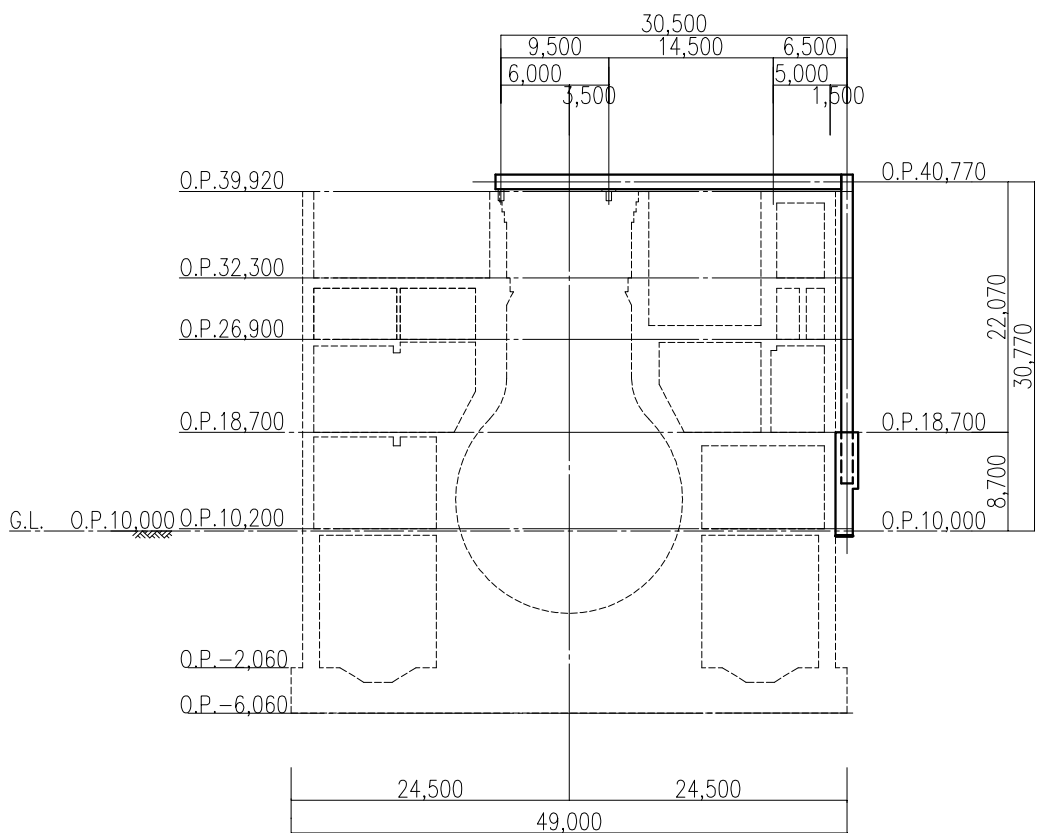
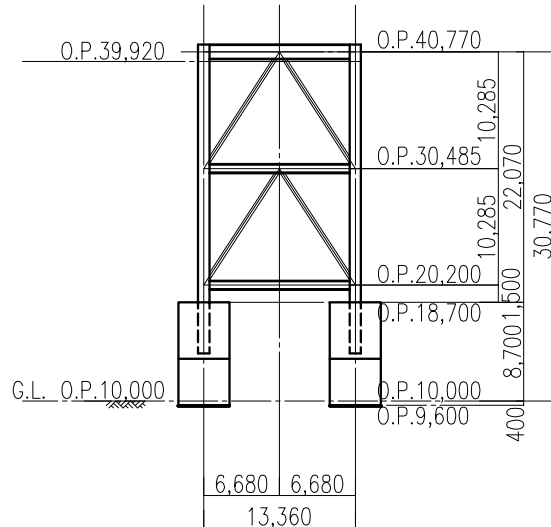


図 2.1.3-1(1) 燃料取扱機支持用架構の概要(梁伏図 (O.P. 41, 420)) (単位 : mm)



(a) 断面図



(b) 立面図

図 2.1.3-1(2) 燃料取扱機支持用架構の概要 (単位 : mm)

2.2 クレーン支持用架構の構造強度及び耐震性について

クレーン支持用架構の構造強度及び耐震性の検討フローを図 2.2-1 に示す。

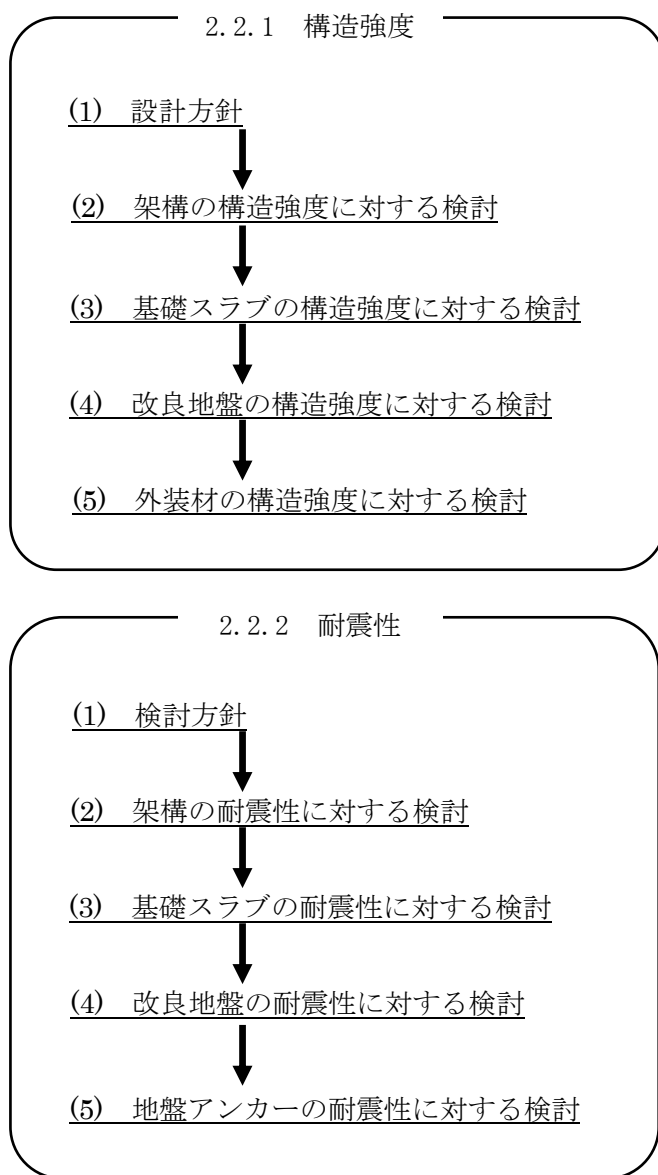


図 2.2-1 クレーン支持用架構の検討フロー

2.2.1 構造強度

(1) 設計方針

構造強度の検討は、クレーン支持用架構、基礎スラブ、改良地盤及び外装材について許容応力度設計を実施する。

1) 使用材料及び許容応力度

使用材料の物性値及び許容応力度を表 2.2.1-1(1) 及び表 2.2.1-1(2) に示す。

表 2.2.1-1(1) クレーン支持用架構の物性値及び許容応力度

材料定数

| 部位 | 材料 | ヤング係数 E (N/mm ²) | ボアソン比 ν | 単位体積重量 γ (kN/m ³) |
|-------|--------|---------------------------------|----------------|---|
| 架 構 | 鉄骨 | 2.05×10^5 | 0.3 | 77.0 |
| 基礎スラブ | コンクリート | 2.44×10^4 | 0.2 | 24.0 |

コンクリートの許容応力度

(単位 : N/mm²)

| 設計基準強度 = 30 | 長期 | | | 短期 | | |
|-------------|------|----|-------|------|----|-------|
| | 圧縮 | 引張 | せん断 | 圧縮 | 引張 | せん断 |
| | 10.0 | — | 0.790 | 20.0 | — | 1.185 |

鉄筋の許容応力度

(単位 : N/mm²)

| 記号 | 鉄筋径 | 長期 | | 短期 | |
|-------|--------|--------|-------|--------|-------|
| | | 引張及び圧縮 | せん断補強 | 引張及び圧縮 | せん断補強 |
| SD345 | D29 未満 | 215 | 195 | 345 | 345 |
| | D29 以上 | 195 | | | |
| SD390 | D29 未満 | 215 | 195 | 390 | 390 |
| | D29 以上 | 195 | | | |

構造用鋼材の許容応力度

(単位 : N/mm²)

| 板厚 | 材料 | 基準強度 F | 許容応力度 |
|----------|---------------|--------|---------------------------|
| T ≤ 40mm | SS400、SN400B | 235 | 「鋼構造設計規準」に従い、左記 F の値より求める |
| T > 40mm | SN400B | 215 | |
| T ≤ 40mm | SM490A、SN490B | 325 | |
| T ≤ 40mm | SM520B | 355 | |

表 2.2.1-1(2) 改良地盤、支持地盤の物性値及び許容応力度

改良地盤の許容応力度

(単位 : kN/m²)

| 設計基準強度=3000 | 長期 | | | 短期 | | |
|-------------|------|----|-----|------|----|-----|
| | 圧縮 | 引張 | せん断 | 圧縮 | 引張 | せん断 |
| 改良地盤 | 1000 | — | 200 | 2000 | — | 400 |
| 断面欠損を考慮* | 980 | — | 150 | 1960 | — | 300 |

*: 「JEAC4616-2009」に準拠し、断面欠損を鉛直方向に 2%、せん断方向に 25%考慮した

支持地盤の許容支持力度

(単位 : kN/m²)

| 種別 | 長期 ^{*1} | 短期 ^{*1} |
|---------|------------------|------------------|
| 泥岩 (岩盤) | 1960 | 3920 |

*1 : 「福島第一原子力発電所第 4 号機工事計画認可申請書」による

2) 荷重及び荷重組合せ

設計で考慮する荷重を以下に示す。

・鉛直荷重 (VL)

クレーン支持用架構に作用する鉛直方向の荷重で、固定荷重、機器荷重、配管荷重、積載荷重及び地盤アンカーの効果を考慮した荷重とする。

・クレーン荷重 (CL)

天井クレーンによる荷重を表 2.2.1-2 に示す。

表 2.2.1-2 クレーン荷重一覧表

| | |
|--------|---------|
| クレーン自重 | 1569 kN |
| トロリ自重 | 716 kN |
| 吊荷 | 980 kN |

・積雪荷重 (SL)

積雪荷重は建築基準法施行令及び福島県建築基準法施行規則細則に準拠し以下の条件とする。

積雪量 : 30cm、単位荷重 : 20N/m²/cm

・風圧力 (WL)

風圧力は建築基準法施行令に準拠し、基準風速を 30m/s、地表面粗度区分 II として算定する。速度圧の算定結果を表 2.2.1-3 に示す。

表 2.2.1-3 速度圧の算定結果

| 建物高さ* H (m) | 平均風速の 鉛直分布係数 Er | ガスト 影響係数 Gf | 建物高さと粗度 区分による係数 E | 基準風速 V ₀ (m/s) | 速度圧 q (N/m ²) |
|-------------------|-----------------------|-------------------|-------------------------|---------------------------------|---------------------------------|
| 52.73 | 1.28 | 2.00 | 3.28 | 30 | 1769 |

* : 建物高さは、軒高さ (52.34m) と最高高さ (53.12m) の平均値とした

・地震荷重 (K)

水平地震力は O.P. 10.0m を基準面として、下式により算定し、算定結果を表 2.2.1-4 に示す。

$$Q_i = n \cdot C_i \cdot W_i$$

$$C_i = Z \cdot R_t \cdot A_i \cdot C_0$$

ここで、

Q_i : 水平地震力 (kN)

n : 施設の重要度に応じた係数 (n=1.5)

建築基準法で定める地震力の 1.5 倍を考慮する。

C_i : 地震層せん断力係数

W_i : 当該部分が支える重量 (kN)

Z : 地震地域係数 (Z=1.0)

R_t : 振動特性係数 ($R_t=1.0$)

A_i : 地震層せん断力係数の高さ方向の分布係数で、クレーン支持用架構の固有値を用いたモーダル法（二乗和平方根法）により求める。

C_0 : 標準せん断力係数 ($C_0=0.2$)

表 2.2.1-4 水平地震力の算定結果

| 階 | 標 高 O.P. (m) | 各階重量 (kN) | Wi (kN) | Ai | | n · Ci | | Qi (kN) | |
|---|-----------------|--------------|------------|----------|----------|----------|----------|------------|----------|
| | | | | NS 方向 | EW 方向 | NS 方向 | EW 方向 | NS 方向 | EW 方向 |
| R | 61.42 | 10569 | — | — | — | — | — | — | — |
| 6 | 50.72～61.42 | 13202 | 10569 | 1.450 | 1.484 | 0.435 | 0.445 | 4596 | 4706 |
| 5 | 43.42～50.72 | 5195 | 23770 | 1.309 | 1.336 | 0.393 | 0.401 | 9338 | 9527 |
| 4 | 39.92～43.46 | 9019 | 28966 | 1.260 | 1.277 | 0.378 | 0.383 | 10946 | 11100 |
| 3 | 32.46～39.92 | 5685 | 37985 | 1.187 | 1.190 | 0.356 | 0.357 | 13521 | 13566 |
| 2 | 21.50～32.46 | 6501 | 43670 | 1.117 | 1.117 | 0.335 | 0.335 | 14628 | 14639 |
| 1 | 12.50～21.50 | — | 50171 | 1.000 | 1.000 | 0.300 | 0.300 | 15051 | 15051 |

・荷重組合せ

設計で考慮するクレーンの位置を図 2.2.1-1 に、荷重組合せを表 2.2.1-5 に示す。

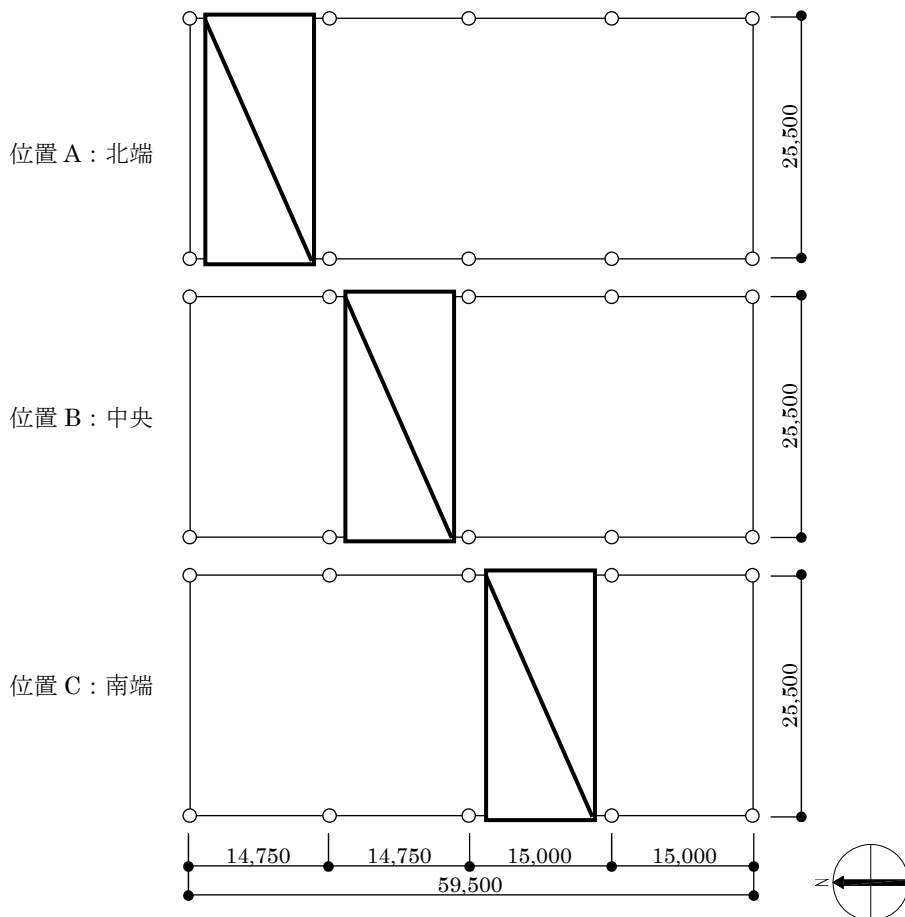


表 2.2.1-5 クレーン支持用架構の荷重組合せ

| 想定する状態 | 荷重ケース | 荷重組合せ内容 | 許容応力度 |
|-------------------|-------|--|-------|
| 常時 | C | VL+CL ^{*1} | 長期 |
| 積雪時 ^{*3} | S | VL+CL ^{*1} +SL | |
| 暴風時 ^{*3} | W | VL+CL ^{*1} +WL | |
| 地震時 | E1 | VL+CL ^{*1} +K(+ NS) ^{*2} | 短期 |
| | E2 | VL+CL ^{*1} +K(- NS) ^{*2} | |
| | E3 | VL+CL ^{*1} +K(+ EW) ^{*2} | |
| | E4 | VL+CL ^{*1} +K(- EW) ^{*2} | |

*1 : 吊荷重量は、常時、積雪時及び暴風時はクレーン位置、地震時は仕立てエリアにて考慮する。

*2 : 地震荷重は NS 方向及び EW 方向を考慮する。

*3 : 短期事象では地震時が支配的であることから、積雪時及び暴風時の検討は省略する。ただし、外装材の検討は暴風時が支配的であることから暴風時に對し検討を行う。

なお、地震時と暴風時のクレーン支持用架構の層せん断力について、風荷重の受圧面積が最大になる EW 方向で比較した結果を図 2.2.1-2 に示す。図 2.2.1-2 より、地震時の層せん断力は暴風時の層せん断力を包絡しており、支配的な荷重である。

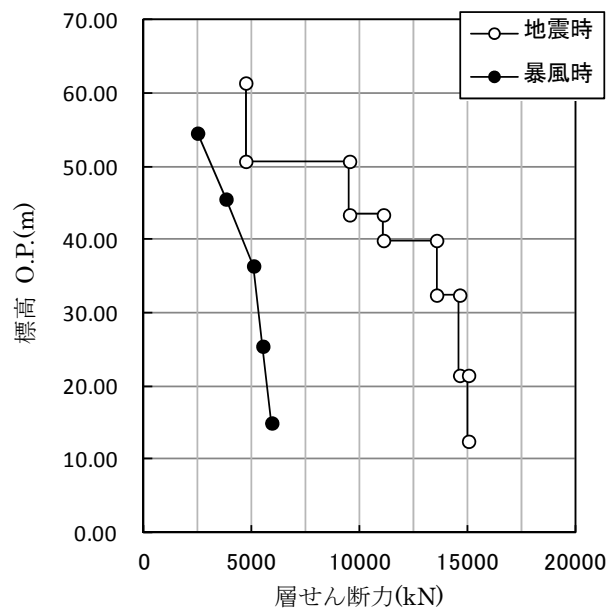


図 2.2.1-2 地震時と暴風時の層せん断力の比較

(2) 架構の構造強度に対する検討

1) 解析モデル

クレーン支持用架構の解析モデルは、基礎スラブ厚中央（O.P.10.5m）より上部を立体架構モデルとし、柱及び梁の部材端部の条件は剛接、柱脚部は基礎下でピン支持とする。解析モデル、部材寸法及び応力検討箇所を図 2.2.1-3 に示す。ここに、使用する材質は SM490A とする。

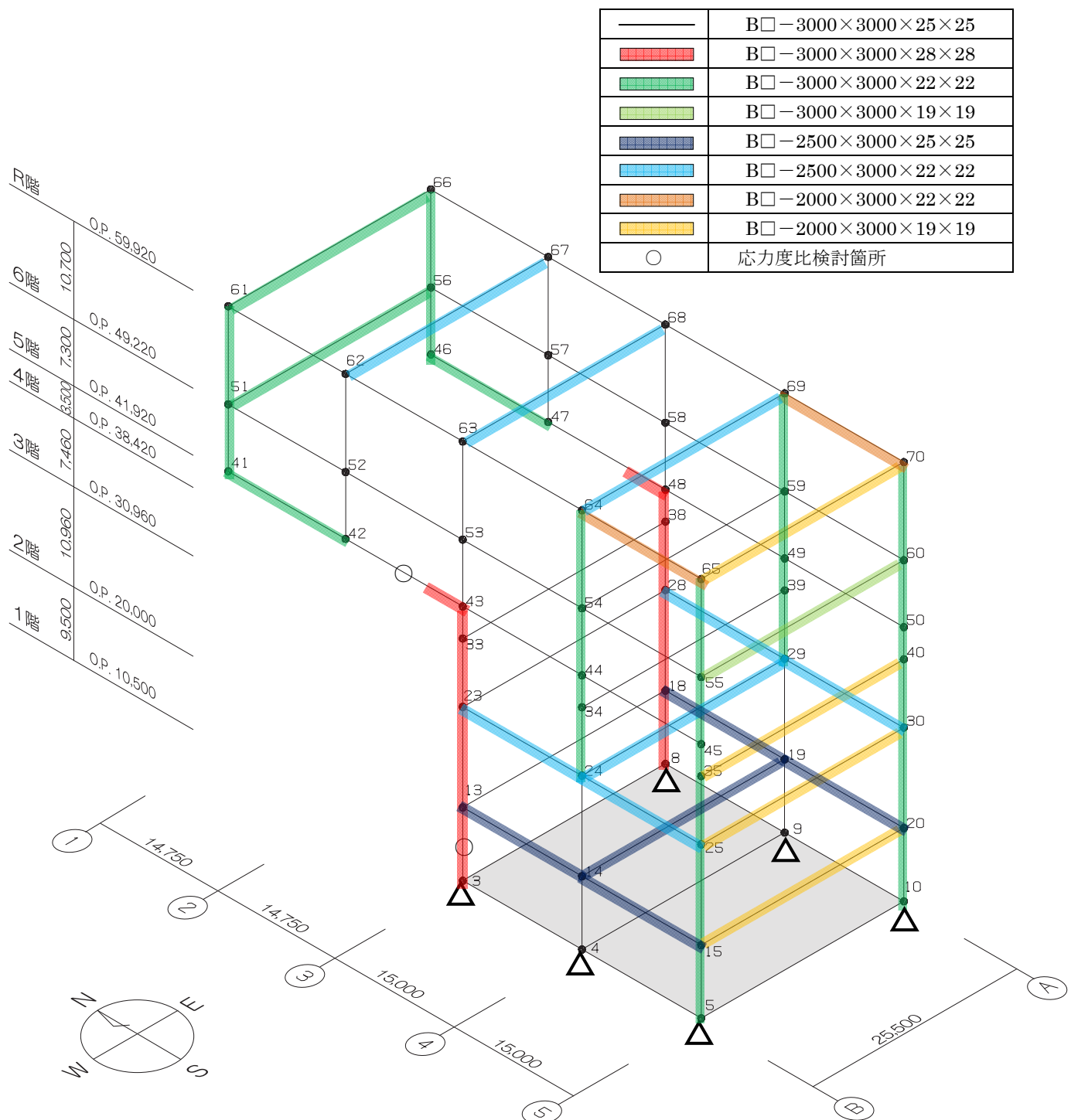


図 2.2.1-3 解析モデル図 (単位 : mm)

2) 断面検討

応力解析結果を用い、断面検討は二方向の曲げを図 2.2.1-4 に示すように考慮する。

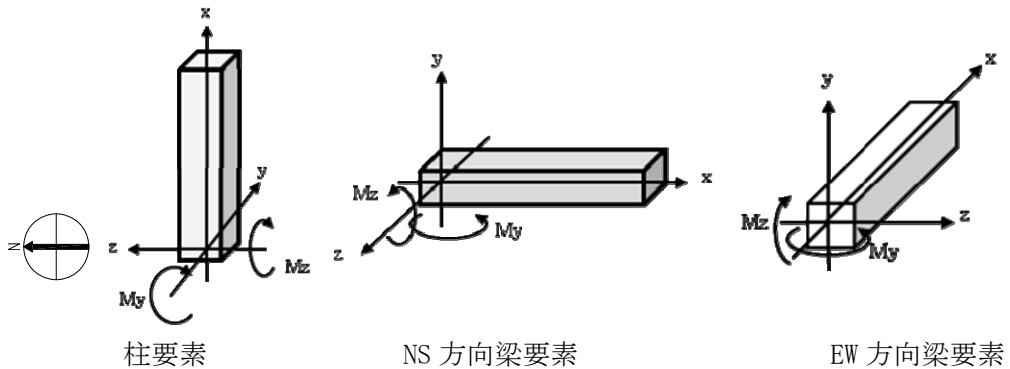


図 2.2.1-4 曲げモーメントの方向

応力度比の検討は「鋼構造設計規準」に従い、軸力及び曲げモーメントに対する検討は下式にて行う。

$$\cdot \text{軸圧縮の場合} \quad \frac{\sigma_c + \sigma_{bz} + \sigma_{by}}{f_c} \leq 1$$

$$\cdot \text{軸引張の場合} \quad \frac{\sigma_c + \sigma_{bz} + \sigma_{by}}{f_t} \leq 1$$

ここで、

σ_c : 軸応力度 ($=N/A$)

N : 軸力、 A : 断面積

σ_{bz} : 部材 z 軸方向曲げ応力度 ($=M_z/Z_z$)

M_z 、 Z_z : 部材 z 軸回りモーメント及び断面係数

σ_{by} : 部材 y 軸方向曲げ応力度 ($=M_y/Z_y$)

M_y 、 Z_y : 部材 y 軸回りモーメント及び断面係数

f_c : 許容圧縮応力度

f_b : 許容曲げ応力度

f_t : 許容引張応力度

また、せん断力に対する検討は下式にて行う。

$$\frac{\sqrt{(\sigma_c + \sigma_{bz} + \sigma_{by})^2 + 3\tau_z^2}}{f_t} \leq 1 \quad \text{かつ} \quad \frac{\sqrt{(\sigma_c + \sigma_{bz} + \sigma_{by})^2 + 3\tau_y^2}}{f_t} \leq 1$$

ここで、

τ_z : 部材 z 軸方向せん断応力度 ($=Q_z/A_{wz}$)

Q_z 、 A_{wz} : 部材 z 軸方向せん断力及びせん断断面積

τ_y : 部材 y 軸方向せん断応力度 ($=Q_y/A_{wy}$)

Q_y 、 A_{wy} : 部材 y 軸方向せん断力及びせん断断面積

表 2.2.1-6 及び表 2.2.1-7 に応力度比が最大となる部位の断面検討結果を示す。

断面検討の結果、全ての部材に対する応力度比が 1 以下になることを確認した。

表 2.2.1-6 断面検討結果（常時）

| 部位 | 検討箇所 | 部材形状 (mm) | 荷重ケース (位置) ^{*1} | 作用 応力度 (N/mm ²) | | 許容 応力度 (N/mm ²) | 応力度比 | 判定 |
|----|--------------|------------------------|-----------------------------|-----------------------------------|------|-----------------------------------|------|----|
| 柱 | 1 階 3-B | B□-3000×3000 ×28×28 | C (A) | 曲げ Mz | 37.7 | 216.7 | 0.51 | OK |
| | | | | 曲げ My | 7.5 | 216.7 | | |
| | | | | 圧縮 N | 63.3 | 213.6 | | |
| | | | | せん断 Qz | 0.9 | 125.1 | | |
| | | | | せん断 Qy | 8.8 | 125.1 | | |
| 梁 | 5 階 2-3/B | B□-3000×3000 ×28×28 | C (A) | 曲げ Mz | 88.6 | 216.7 | 0.52 | OK |
| | | | | 曲げ My | 0.2 | 216.7 | | |
| | | | | 圧縮 N | 18.2 | 214.1 | | |
| | | | | せん断 Qz | 0.4 | 125.1 | | |
| | | | | せん断 Qy | 19.2 | 125.1 | | |

*1 : クレーンの位置を示す

表 2.2.1-7 断面検討結果（地震時）

| 部位 | 検討箇所 | 部材形状 (mm) | 荷重ケース (位置) ^{*1} | 作用 応力度 (N/mm ²) | | 許容 応力度 (N/mm ²) | 応力度比 | 判定 |
|----|--------------|------------------------|-----------------------------|-----------------------------------|-------|-----------------------------------|------|----|
| 柱 | 1 階 3-B | B□-3000×3000 ×28×28 | E3 (A) | 曲げ Mz | 158.5 | 325.0 | 0.84 | OK |
| | | | | 曲げ My | 27.7 | 325.0 | | |
| | | | | 圧縮 N | 77.6 | 320.4 | | |
| | | | | せん断 Qz | 7.1 | 187.6 | | |
| | | | | せん断 Qy | 36.5 | 187.6 | | |
| 梁 | 5 階 2-3/B | B□-3000×3000 ×28×28 | E3 (A) | 曲げ Mz | 88.8 | 325.0 | 0.52 | OK |
| | | | | 曲げ My | 57.4 | 325.0 | | |
| | | | | 圧縮 N | 19.0 | 321.1 | | |
| | | | | せん断 Qz | 8.1 | 187.6 | | |
| | | | | せん断 Qy | 19.6 | 187.6 | | |

*1 : クレーンの位置を示す

(3) 基礎スラブの構造強度に対する検討

1) 解析モデル

基礎スラブの応力解析は、弾性地盤上に支持された版として有限要素法を用いて行い、解析モデルは図 2.2.1-5 に示すように四辺形の均質等方な板要素により構成し、支持地盤は等価な弾性ばねとしてモデル化する。

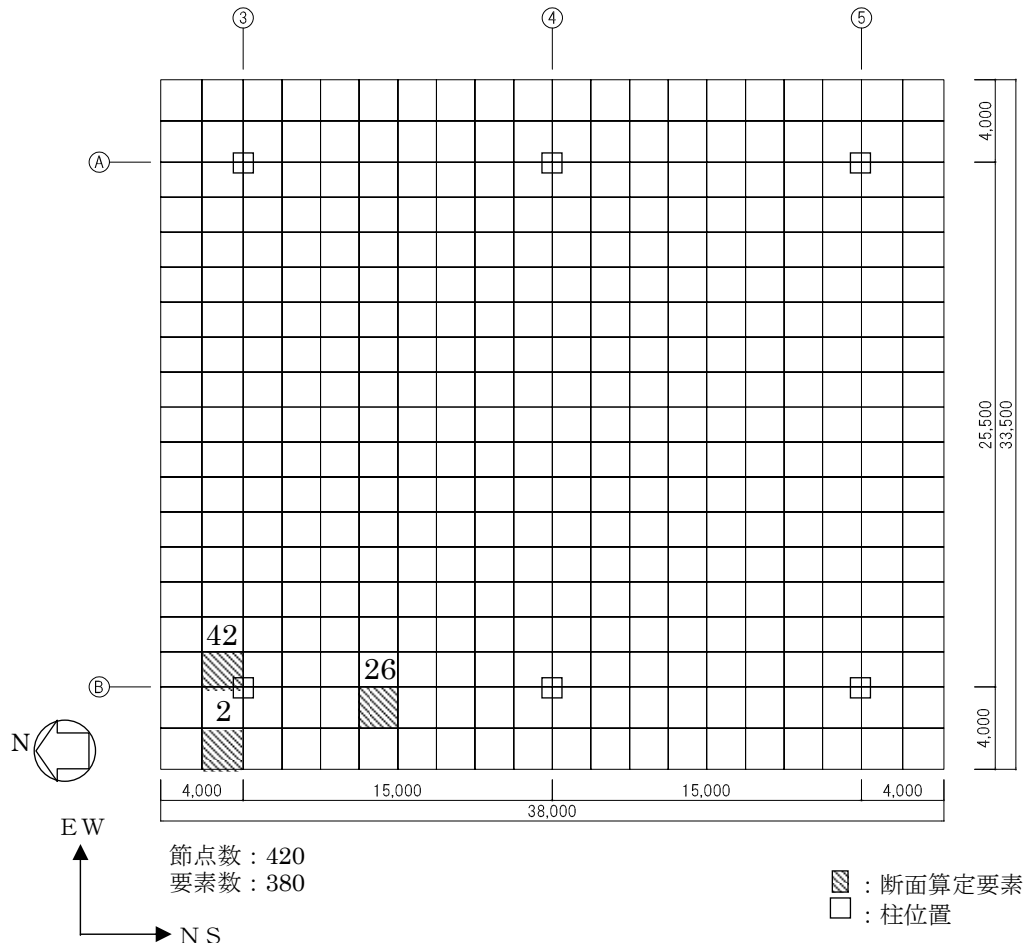


図 2.2.1-5 解析モデル図 (単位 : mm)

2) 断面検討

組合せた応力より、各要素の必要鉄筋比を「原子力施設鉄筋コンクリート構造計算規準・同解説」より求め、設計配筋が必要鉄筋比を上回ること及び面外せん断力が許容せん断力以下であることを確認する。必要鉄筋比が最大となる要素と設計面外せん断力と許容せん断力との比が最大になる要素の断面検討結果を表 2.2.1-8 に示し、必要鉄筋比が最大となる要素を含む EW 方向の配筋図を図 2.2.1-6 に示す。

断面検討の結果、設計配筋は必要鉄筋比を上回り、また面外せん断力は許容せん断力以下であることを確認した。

表 2.2.1-8 基礎スラブの断面算定表

| 要素番号 | 方向 | 荷重ケース(位置) ^{*1} | 設計応力 | | N/(b·D) ^{*2} (×10 ⁻² N/mm ²) | M/(b·D ²) (×10 ⁻² N·mm/m) | P _t (%) | a _t (mm ² /m) | 設計配筋 | | 荷重ケース(位置) ^{*1} | 設計面外せん断力Q (kN/m) | 許容せん断力f _s ·b·j (kN/m) | 判定 |
|------|----|-------------------------|---------------------------|---------------|---|---|-----------------------|--|--|--|-------------------------|---------------------|-------------------------------------|----|
| | | | N ^{*2} (kN/m) | M (kN·m/m) | | | | | 上段：上端筋 [断面積 mm ² /m] (pt:%) | 下段：下端筋 [断面積 mm ² /m] (pt:%) | | | | |
| 2 | NS | C(A) | -70 | 2241 | -1.8 | 14.1 | 0.08 | 3200 | D38@200+D38@400 [8550] (0.21) | D38@200+D38@400 [8550] (0.21) | C(C) | 153 | 2627 | OK |
| | | E3(A) | -278 | 2586 | -7.0 | 16.2 | 0.05 | 2000 | | | E1(C) | 240 | 3940 | OK |
| | EW | C(A) | 21 | 1548 | 0.6 | 9.7 | 0.05 | 2000 | 3-D38@200 [17100] (0.43) | 2-D38@200 [11400] (0.29) | C(A) | 1541 | 2627 | OK |
| | | E3(A) | 113 | 2108 | 2.9 | 13.2 | 0.03 | 1200 | | | E3(A) | 1922 | 3940 | OK |
| 26 | NS | C(A) | 2 | 3562 | 0.1 | 22.3 | 0.13 | 5200 | D38@200+D38@400 [8550] (0.21) | 1-D38@200 [5700] (0.14) | C(A) | 202 | 2627 | OK |
| | | E2(A) | -47 | 4202 | -1.2 | 26.3 | 0.08 | 3200 | | | E3(A) | 351 | 3940 | OK |
| | EW | C(A) | -18 | 18 | -0.5 | 0.2 | 0.00 | 0 | 1-D38@200 [5700] (0.14) | 1-D38@200 [5700] (0.14) | C(A) | 19 | 2627 | OK |
| | | E4(A) | -24 | 299 | -0.6 | 1.9 | 0.01 | 400 | | | E4(A) | 97 | 3940 | OK |
| 42 | NS | C(A) | 12 | 1579 | 0.3 | 9.9 | 0.06 | 2400 | D38@200+D38@400 [8550] (0.21) | D38@200+D38@400 [8550] (0.21) | C(C) | 161 | 2627 | OK |
| | | E2(A) | 246 | 3215 | 6.2 | 20.1 | 0.05 | 2000 | | | E1(C) | 617 | 3940 | OK |
| | EW | C(C) | -266 | 111 | -6.7 | 0.7 | 0.02 | 800 | 3-D38@200 [17100] (0.43) | 2-D38@200 [11400] (0.29) | C(A) | 430 | 2627 | OK |
| | | E3(A) | -975 | 3775 | -24.4 | 23.6 | 0.10 | 4000 | | | E4(A) | 1051 | 3940 | OK |

*1：クレーンの位置を示す

*2：圧縮を正とする

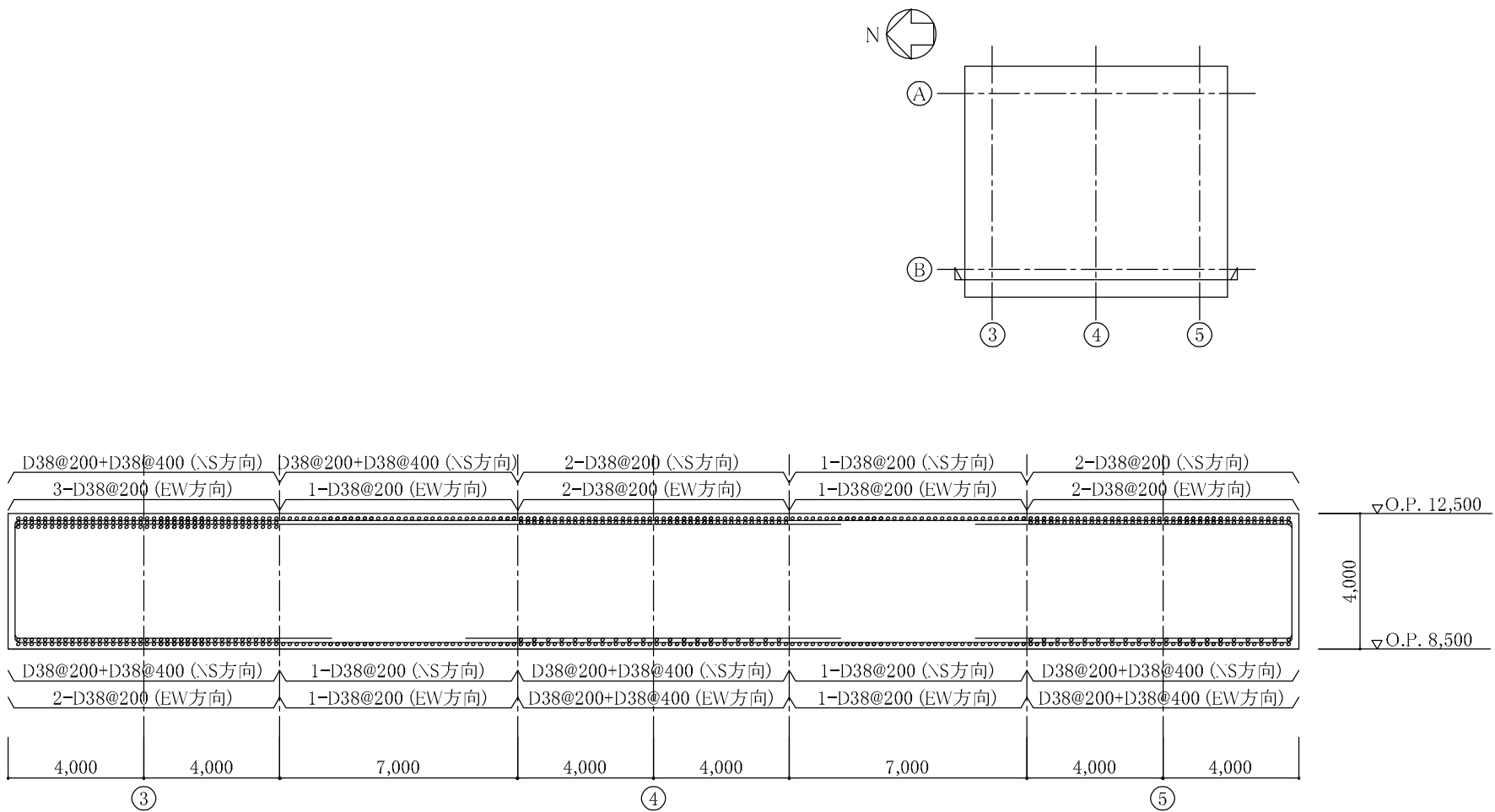


図 2.2.1-6 基礎スラブの配筋図 (B 通り) (単位: mm)

(4) 改良地盤の構造強度に対する検討

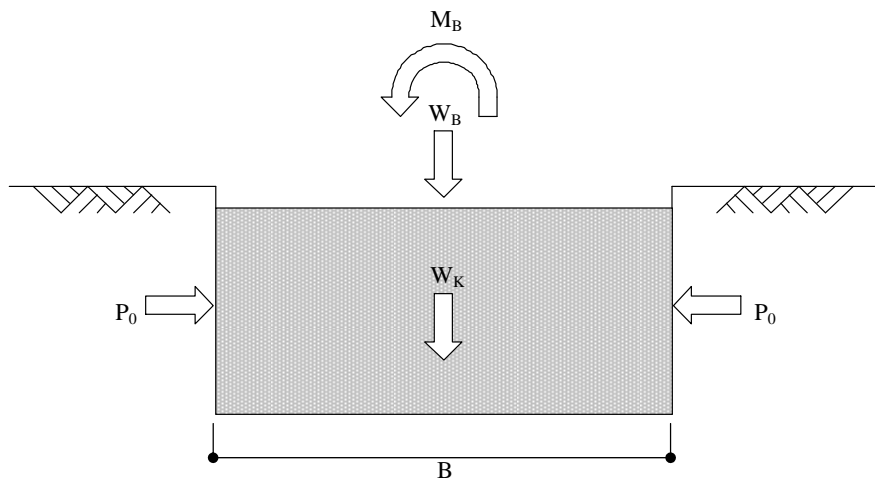
1) 設計方針

クレーン支持用架構を支持する改良地盤は、基礎スラブ直下の地盤を南北方向に 38.0m、東西方向に 33.5m、改良厚さ 10.5m とし、0.P.-2.0m の泥岩に支持する。検討は「JEAC4616-2009」に準拠し、常時及び地震時の改良地盤に生じる最大応力が許容応力度以下であることを確認する。さらに、改良地盤直下の支持地盤の支持力に対して、常時及び地震時の改良地盤に生じる最大接地圧が許容支持力度以下であることを確認する。

2) 常時に対する検討

・改良地盤の検討

常時において、改良地盤底面に生じる最大接地圧が改良地盤の長期許容圧縮応力度以下であることを確認する。図 2.2.1-7 に作用荷重を示す。



W_B : 架構荷重 + 基礎スラブ荷重 + 地盤アンカ一荷重

W_K : 改良地盤の自重

M_B : 架構の偏心による転倒モーメント

P_o : 長期設計用土圧

B : 改良幅

図 2.2.1-7 作用荷重（常時）

改良地盤の荷重負担範囲は、面積 $A=1273\text{m}^2$ 、断面係数 $Z=8062\text{m}^3$ となり、改良地盤底面に生じる最大接地圧は下式にて求める。

| | |
|------------|--|
| 鉛直力の合計 | $\Sigma W=W_B+W_K=606808\text{kN}$ |
| 転倒モーメントの合計 | $\Sigma M=M_B=577815\text{kNm}$ |
| 改良地盤の最大接地圧 | $q_r = \Sigma W/A + \Sigma M/Z = 549\text{kN/m}^2$ |

改良地盤に生じる最大接地圧 (q_r) は、改良地盤の長期許容圧縮応力度 (Lf_{sc}) 以下であることを確認した。

$$q_r = 549\text{kN/m}^2 \leq Lf_{sc} = 980\text{kN/m}^2$$

・支持力の検討

改良地盤底面に生じる最大接地圧 (q_r) が、改良地盤直下の支持地盤の長期許容支持力度 (Lq_a) 以下であることを確認した。

| | |
|---------------|-----------------------------|
| 改良地盤の最大接地圧 | $q_r = 549\text{kN/m}^2$ |
| 支持地盤の長期許容支持力度 | $Lq_a = 1960\text{ kN/m}^2$ |

$$q_r = 549\text{kN/m}^2 \leq Lq_a = 1960\text{ kN/m}^2$$

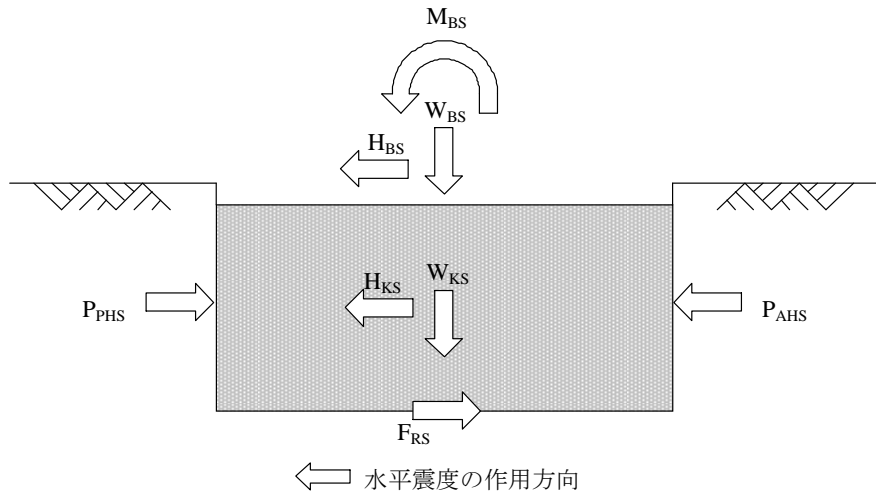
・沈下の検討

支持地盤は泥岩（岩盤）であるため、沈下の検討は不要である。

3) 地震時に対する検討

- 改良地盤の検討

地震時において、改良地盤底面の最大接地圧及びせん断応力が、改良地盤の短期許容応力度以下であることを確認する。図 2.2.1-8 に作用荷重を示す。



W_{BS} : 架構荷重 + 基礎スラブ荷重 + 地盤アンカーホ重

W_{KS} : 改良地盤の自重

H_{BS} : 架構による水平力 + 基礎スラブによる水平力

M_{BS} : 架構と基礎スラブによる改良地盤底面における転倒モーメント

H_{KS} : 改良地盤の慣性力 (地中震度 0.15)

P_{AHS} : 地震時主働土圧による水平力

P_{PHS} : 地震時受働土圧による水平力

F_{RS} : 支持地盤のせん断抵抗力

図 2.2.1-8 作用荷重（地震時）

改良地盤の荷重負担範囲は、面積 $A=1273m^2$ 、断面係数 $Z=8062m^3$ となり、改良地盤底面の最大接地圧 (q_{1s}) 及び最大せん断応力 (τ_{max}) は下式にて求める。

鉛直力の合計

$$\Sigma W = W_{BS} + W_{KS} = 606808kN$$

水平力の合計

$$\Sigma H = H_{BS} + H_{KS} + P_{AHS} + P_{PHS} = 94517kN$$

転倒モーメントの合計

$$\Sigma M = M_{BS} + M_{KS} + M_{AHS} + M_{PHS} = 1914710kNm$$

ここに、

M_{KS} : 改良地盤の転倒モーメント

M_{AHS} : 地震時主働土圧による転倒モーメント

M_{PHS} : 地震時受働土圧による転倒モーメント

改良地盤底面の最大接地圧

$$q_{1s} = \Sigma W/A + \Sigma M/Z = 715kN/m^2$$

改良地盤底面の最大せん断応力

$$\tau_{max} = 1.2 \times \Sigma H/A = 90kN/m^2$$

改良地盤底面の最大接地圧 (q_{1s}) 及び最大せん断応力 (τ_{max}) は短期許容応力度 (s_{fsc} 及び s_{fss}) 以下であることを確認した。

$$q_{1s} = 715kN/m^2 \leq s_{fsc} = 1960 kN/m^2$$

$$\tau_{max} = 90kN/m^2 \leq s_{fss} = 300 kN/m^2$$

・支持力の検討

改良地盤底面に生じる最大接地圧 (q_{1s}) が、改良地盤直下の支持地盤の短期許容支持力度 (s_{qa}) 以下であることを確認した。

$$\text{改良地盤の最大接地圧} \quad q_{1s} = 715kN/m^2$$

$$\text{支持地盤の短期許容支持力度} \quad s_{qa} = 3920 kN/m^2$$

$$q_{1s} = 715kN/m^2 \leq s_{qa} = 3920 kN/m^2$$

(5) 外装材の構造強度に対する検討

1) 設計方針

クレーン支持用架構の屋根面及び側面を覆う外装材は、鋼板パネルを用いる。設計荷重は暴風時の影響が支配的であることから積雪時及び地震時の検討は省略し、暴風時の応力が短期許容応力度以下になることを確認する。なお、許容応力度は製造メーカの推奨値を、屋根面のたわみは「鋼板製屋根構法標準 (SSR2007)」(社団法人日本金属屋根協会、2007)、壁面のたわみは「建築工事標準仕様書・同解説 JASS14 カーテンウォール工事」に準じて設定した。

2) 設計用荷重

設計用風圧力は、平均速度圧にピーク風力係数を乗じて算出する。速度圧の算定結果を表 2.2.1-9 に、ピーク風力係数を表 2.2.1-10 に示し、風力係数の算定箇所のイメージを図 2.2.1-9 に示す。

表 2.2.1-9 速度圧の算定結果

| 建物高さ* | 平均風速の 鉛直分布係数 | 基準風速 | 平均速度圧 |
|----------|-----------------|-------------------------|-------------------------------|
| H (m) | Er | V ₀ (m/s) | - q (N/m ²) |
| 52.73 | 1.28 | 30 | 885 |

* : 建物高さは、軒高さ (52.34m) と最高高さ (53.12m) の平均値とした

表 2.2.1-10 ピーク風力係数

| 建物高さ* | 屋根面 | | | 壁面 | |
|-------|------|------|------|-------|-------|
| | 一般部 | 周縁部 | 隅角部 | 一般部 | 隅角部 |
| 52.73 | -2.5 | -3.2 | -4.3 | -2.11 | -2.62 |

* : 建物高さは、軒高さ (52.34m) と最高高さ (53.12m) の平均値とした

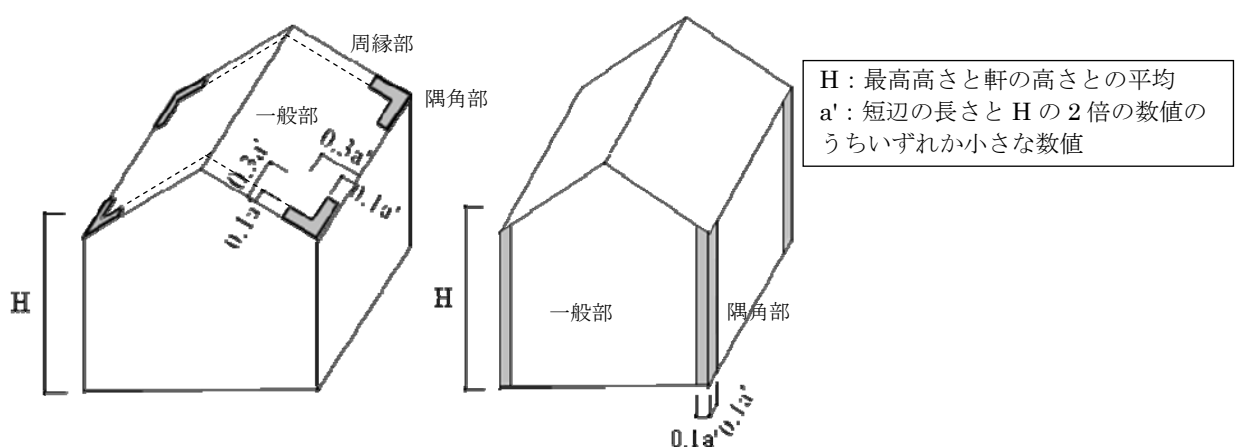


図 2.2.1-9 風力係数の算定箇所のイメージ

3) 外装材の強度検討

検討は応力が厳しくなる図 2.2.1-9 に示す隅角部について行う。ここでは、鋼板パネルの自重は考慮しないものとする。

a. 屋根材

鋼板パネルは下地材の間隔が 1.8m で連続支持されているものとし、暴風時の応力度とたわみに対して検討を行う。屋根材の材料諸元を表 2.2.1-11 に示す。

表 2.2.1-11 屋根材の材料諸元

| 表面材 | | | | | | 芯材 | | |
|--|--|--|-------|---|---------------------------------|--|--------------------------------|------|
| ヤング 係数 E (N/mm ²) | せん断 弾性係数 G (N/mm ²) | せん断 断面積 As (mm ²) | 形状係数 | 許容 応力度 f _b (N/mm ²) | 断面係数 Z (mm ³) | せん断 弾性係数 G (N/mm ²) | 断面積 A (mm ²) | 形状係数 |
| 2.06×10 ⁵ | 7.92×10 ⁴ | 210.7 | 0.022 | 59.8 | 26.3×10 ³ | 3.92 | 4.40×10 ⁴ | 1.2 |

・応力度に対する検討

$$M = w \times L^2 / 8 = (0.885 \times 4.3) \times 1.8^2 / 8 = 1.542 \text{ kNm}$$

$$\sigma_b = M / Z = 1.542 \times 10^6 / 26.3 \times 10^3 = 58.7 \text{ N/mm}^2$$

$$\frac{\sigma_b}{f_b} = \frac{58.7}{59.8} = 0.982 \leq 1.0 \quad \cdots \cdots \text{OK}$$

・たわみの検討

たわみ量は曲げ変形成分 (δ_M) とせん断変形成分 (δ_Q) の和で評価し、屋根材の短期許容変形 (1/300) *以下であることを確認する。

* : 「鋼板製屋根構法標準 (SSR2007)」(社団法人日本金属屋根協会、2007) による

$$\delta = \delta_M + \delta_Q = 0.220 + 0.302 = 0.522 \text{ cm}$$

$$\frac{\delta}{L} = \frac{0.522}{180} = \frac{1}{344} \leq \frac{1}{300} \quad \cdots \cdots \text{OK}$$

検討の結果、作用応力は屋根材の短期許容応力度以下であり、たわみは屋根材の短期許容変形以下であることを確認した。

b. 壁材

鋼板パネルは下地材の間隔が 1.2m で連続支持されているものとし、暴風時の応力とたわみに対して検討を行う。壁材の材料諸元を表 2.2.1-12 に示す。

表 2.2.1-12 壁材の材料諸元

| 表面材 | | | | 芯材 | | |
|--|--|---|---------------------------------|--|--------------------------------|------|
| ヤング 係数 E (N/mm ²) | せん断 弾性係数 G (N/mm ²) | 許容 応力度 f _b (N/mm ²) | 断面係数 Z (mm ³) | せん断 弾性係数 G (N/mm ²) | 断面積 A (mm ²) | 形状係数 |
| 2.06×10 ⁵ | 7.92×10 ⁴ | 58.8 | 17.0×10 ³ | 4.90 | 35000 | 1.2 |

・応力度に対する検討

$$M = w \times L^2 / 8 = (0.885 \times 2.62) \times 1.2^2 / 8 = 0.418 \text{ kNm}$$

$$\sigma_b = M/Z = 0.418 \times 10^6 / 17.0 \times 10^3 = 24.6 \text{ N/mm}^2$$

$$\frac{\sigma_b}{f_b} = \frac{24.6}{58.8} = 0.419 \leq 1.0 \quad \cdots \cdots \text{OK}$$

・たわみの検討

たわみ量は曲げ変形成分 (δ_M) とせん断変形成分 (δ_Q) の和で評価し、壁材の短期許容変形 (1/300) *以下であることを確認する。

* : 「建築工事標準仕様書・同解説 JASS14 カーテンウォール工事」による

$$\delta = \delta_M + \delta_Q = 0.075 + 0.293 = 0.368 \text{ cm}$$

$$\frac{\delta}{L} = \frac{0.368}{120} = \frac{1}{326} \leq \frac{1}{300} \quad \cdots \cdots \text{OK}$$

検討の結果、作用応力は壁材の短期許容応力度以下であり、たわみは壁材の短期許容変形以下であることを確認した。

2.2.2 耐震性

(1) 検討方針

耐震性の検討は、クレーン支持用架構、基礎スラブ、改良地盤及び地盤アンカーについて行い、基準地震動 S_s に対して、クレーン支持用架構、基礎スラブ、改良地盤及び周辺地盤の応答性状を適切に表現できる地震応答解析モデルを設定して実施する。

(2) 架構の耐震性に対する検討

1) 解析に用いる入力地震動

検討用地震動は、「福島第一原子力発電所『発電用原子炉施設に関する耐震設計審査指針』の改訂に伴う耐震安全性評価結果 中間報告書」(平成 20 年 3 月 31 日 東京電力株式会社) にて作成した解放基盤表面で定義される基準地震動 S_s を用いる。

地震応答解析に用いる入力地震動の概念図を図 2.2.2-1 に示す。モデルに入力する地震動は一次元波動論に基づき、解放基盤表面で定義される基準地震動 S_s に対する地盤の応答として評価する。解放基盤表面位置 (O.P. -196.0m) における基準地震動 S_{s-1} 、 S_{s-2} 及び S_{s-3} の加速度時刻歴波形を図 2.2.2-2(1) 及び図 2.2.2-2(2) に示す。

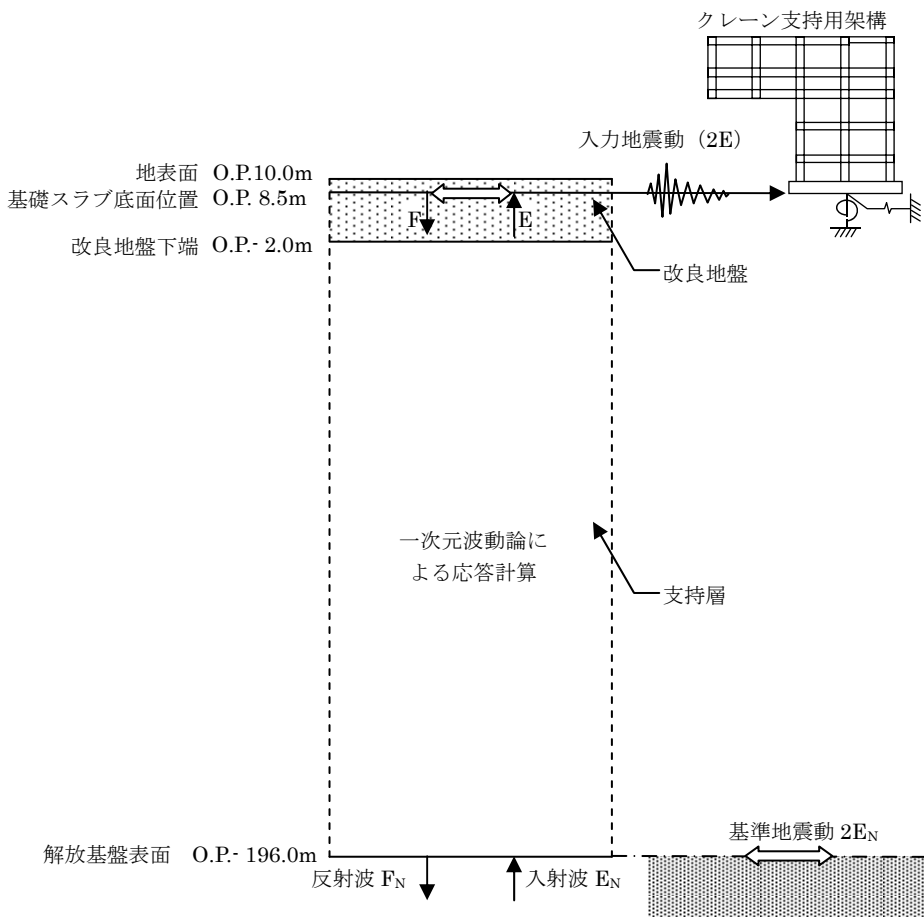
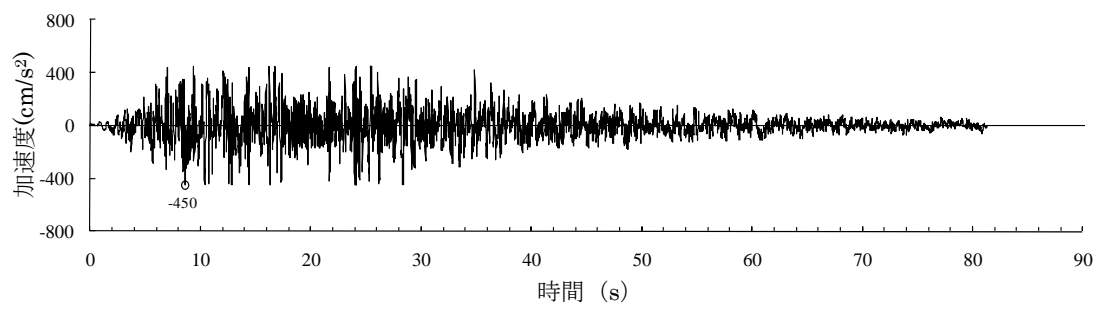
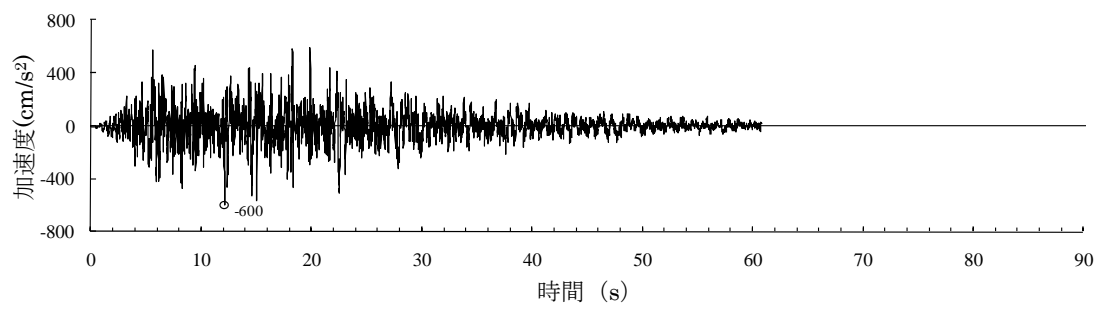


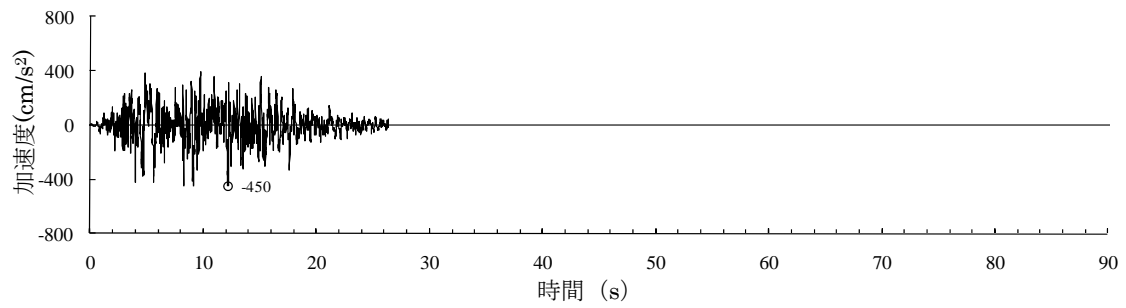
図 2.2.2-1 地震応答解析に用いる入力地震動の概念図



(Ss-1H)



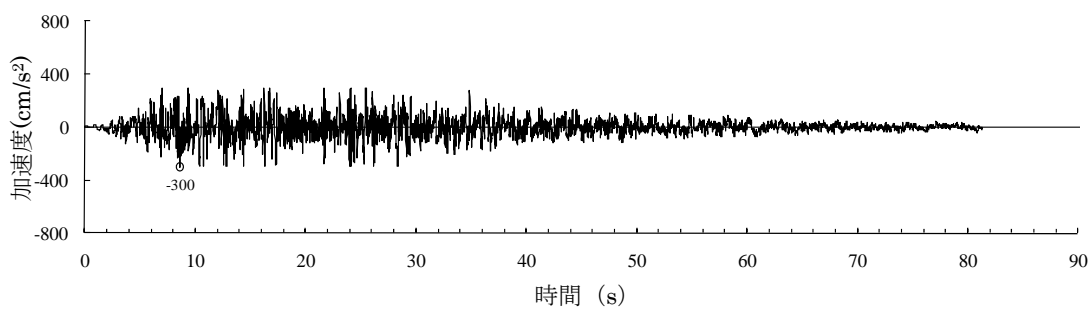
(Ss-2H)



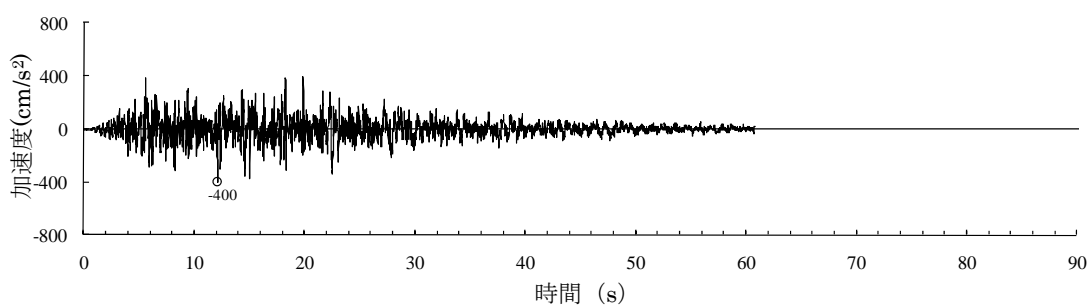
(Ss-3H)

○印は最大値を示す

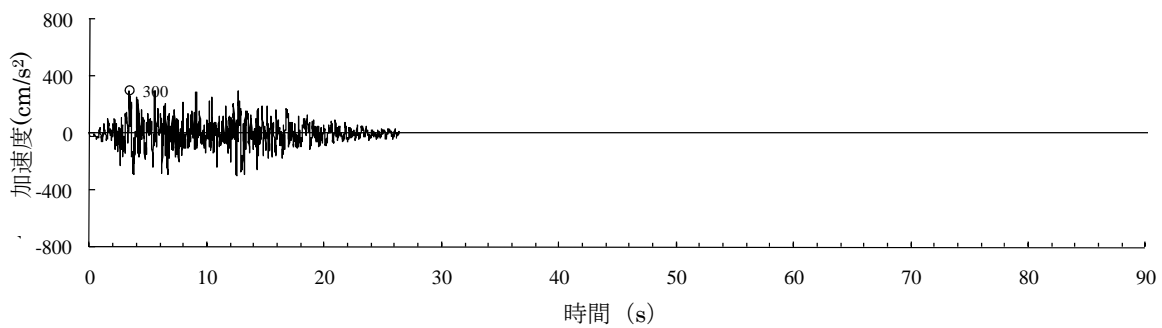
図 2.2.2-2(1) 解放基盤表面における地震動の加速度時刻歴波形
(水平方向)



(Ss-1V)



(Ss-2V)



(Ss-3V)

○印は最大値を示す

図 2.2.2-2(2) 解放基盤表面における地震動の加速度時刻歴波形
(鉛直方向)

2) 地震応答解析モデル

地震応答解析モデルは、図 2.2.2-3 に示す柱及び梁を立体的にモデル化した立体架構モデルとし、地盤を等価なばねで評価した建屋－地盤連成系モデルとする。

地震応答解析に用いる物性値を表 2.2.2-1 に、層間変形角が最大となるクレーンを北端に設置した場合の地震応答解析モデルの質点重量を表 2.2.2-2 に、クレーン支持用架構の復元力特性の設定を図 2.2.2-4 に示す。復元力特性の設定は「鋼構造塑性設計指針」に準じた。

地震応答解析に用いる地盤定数は、「福島第一原子力発電所『発電用原子炉施設に関する耐震設計審査指針』の改訂に伴う耐震安全性評価結果 中間報告書」(平成 20 年 3 月 31 日 東京電力株式会社) を参考に、水平成層地盤と仮定し地震時のせん断ひずみレベルを考慮して定めた。改良地盤の諸元を表 2.2.2-3 に、地盤のひずみ依存性を図 2.2.2-5 に、地盤定数の設定結果を表 2.2.2-4 に示す。基礎底面の地盤ばねについては、「JEAG 4601-1991」に示されている手法を参考にして、地盤を成層補正し振動アドミッタンス理論により評価した。

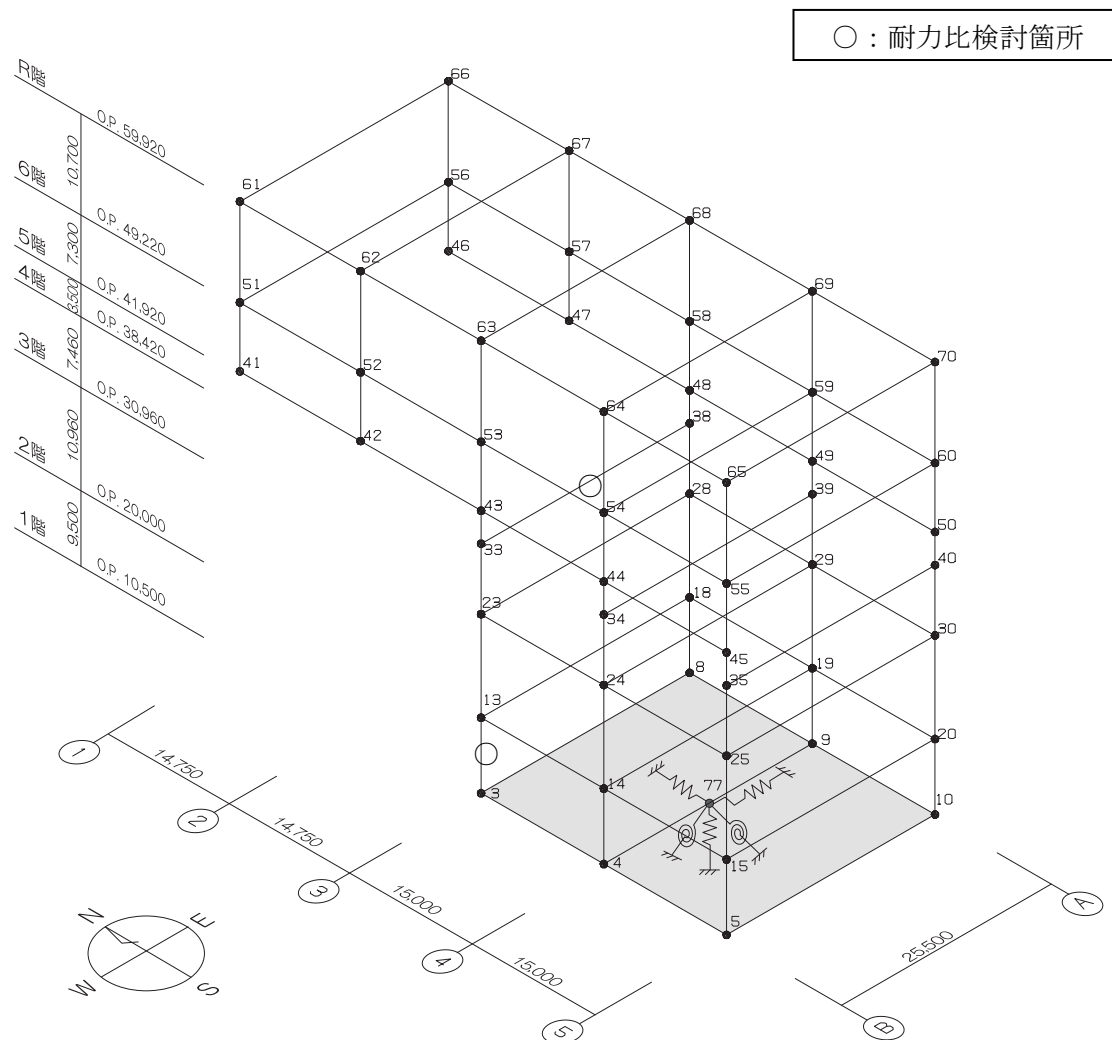


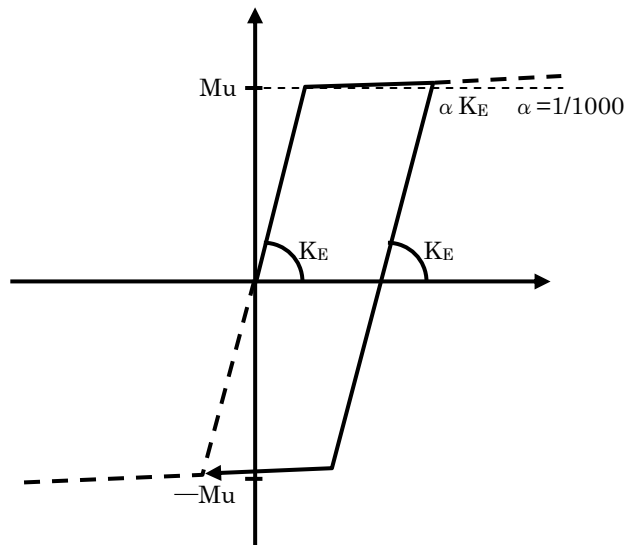
図 2.2.2-3 クレーン支持用架構の地震応答解析モデル (単位 : mm)

表 2.2.2-1 地震応答解析に用いる物性値

| 部位 | 材料 | ヤング係数 E(N/mm ²) | ボアソン比 ν | 単位体積重量 γ (kN/m ³) | 減衰定数 h (%) | 備考 |
|---------------|--------|--------------------------------|----------------|---|---------------|----------------------------------|
| クレーン支持 用架構 | 鉄骨 | 2.05×10^5 | 0.3 | 77.0 | 2 | SM490A |
| 基礎スラブ | コンクリート | 2.44×10^4 | 0.2 | 24.0 | 5 | 設計基準強度 30(N/mm ²) |

表 2.2.2-2 地震応答解析モデルにおける質点重量

| 階 | 節点番号 | 重量(kN) | 階 | 節点番号 | 重量(kN) |
|---|------|--------|---|--------|--------|
| R | 61 | 1129 | 4 | 33 | 2235 |
| | 62 | 1221 | | 34 | 2135 |
| | 63 | 1225 | | 35 | 374 |
| | 64 | 1200 | | 38 | 2176 |
| | 65 | 502 | | 39 | 1726 |
| | 66 | 1132 | | 40 | 374 |
| | 67 | 1225 | | 23 | 897 |
| | 68 | 1229 | | 24 | 1598 |
| | 69 | 1202 | | 25 | 635 |
| | 70 | 503 | | 28 | 819 |
| 6 | 51 | 1897 | 3 | 29 | 1130 |
| | 52 | 1737 | | 30 | 607 |
| | 53 | 1078 | | 13 | 1072 |
| | 54 | 1558 | | 14 | 1777 |
| | 55 | 718 | | 15 | 728 |
| | 56 | 1571 | | 18 | 920 |
| | 57 | 1479 | | 19 | 1315 |
| | 58 | 1078 | | 20 | 689 |
| | 59 | 1367 | | 3 | 26894 |
| | 60 | 718 | | 4 | 41540 |
| 5 | 41 | 393 | 1 | 5 | 21558 |
| | 42 | 600 | | 8 | 26896 |
| | 43 | 657 | | 9 | 41034 |
| | 44 | 598 | | 10 | 21268 |
| | 45 | 321 | | 77 | 0 |
| | 46 | 377 | | 合 計 | |
| | 47 | 605 | | 229360 | |
| | 48 | 700 | | | |
| | 49 | 622 | | | |
| | 50 | 321 | | | |



ここに、

M_u : 全塑性モーメント

$$M_{uy} = \left\{ A_{fy}(b-t_1)\sigma_y + \frac{1}{4}A_{wy}(b-2t_1)\sigma_y \right\} \quad M_{uz} = \left\{ A_{fz}(d-t_2)\sigma_y + \frac{1}{4}A_{wz}(d-2t_2)\sigma_y \right\}$$

$$A_{fy} = d \cdot t_1$$

$$A_{fz} = b \cdot t_2$$

$$A_{wy} = 2 \cdot (b - 2 \cdot t_1) \cdot t_2$$

$$A_{wz} = 2 \cdot (d - 2 \cdot t_2) \cdot t_1$$

$$A = b \cdot d - (b - 2 \cdot t_1) \cdot (d - 2 \cdot t_2) \quad \sigma_y : \text{降伏強度}$$

なお、せん断耐力は下式とする。

Q_u : せん断耐力

$$Q_{uy} = \frac{1}{\sqrt{3}} A_{wz} \cdot \sigma_y \quad Q_{uz} = \frac{1}{\sqrt{3}} A_{wy} \cdot \sigma_y$$

$$A_{fy} = d \cdot t_1$$

$$A_{fz} = b \cdot t_2$$

$$A_{wy} = 2 \cdot (b - 2 \cdot t_1) \cdot t_2$$

$$A_{wz} = 2 \cdot (d - 2 \cdot t_2) \cdot t_1$$

$$A = b \cdot d - (b - 2 \cdot t_1) \cdot (d - 2 \cdot t_2) \quad \sigma_y : \text{降伏強度}$$

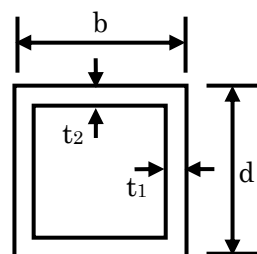


図 2.2.2-4 クレーン支持用架構の復元力特性の設定

表 2.2.2-3 改良地盤の諸元

| せん断波速度* | 単位体積重量 | ボアソン比* | 初期せん断弾性係数 |
|-------------|----------------------------------|--------|--|
| Vs (m/s) | γ (kN/m ³) | ν | G_0 ($\times 10^5$ kN/m ²) |
| 800 | 17.7 | 0.31 | 11.52 |

* :『柏崎刈羽原子力発電所 1号機 建物・構築物の耐震安全性評価について(指摘事項に関する回答)』(平成 22 年 2 月 19 日 東京電力株式会社)、総合資源エネルギー調査会原子力安全・保安部会耐震・構造設計小委員会構造 WG (第 46 回) 会合資料

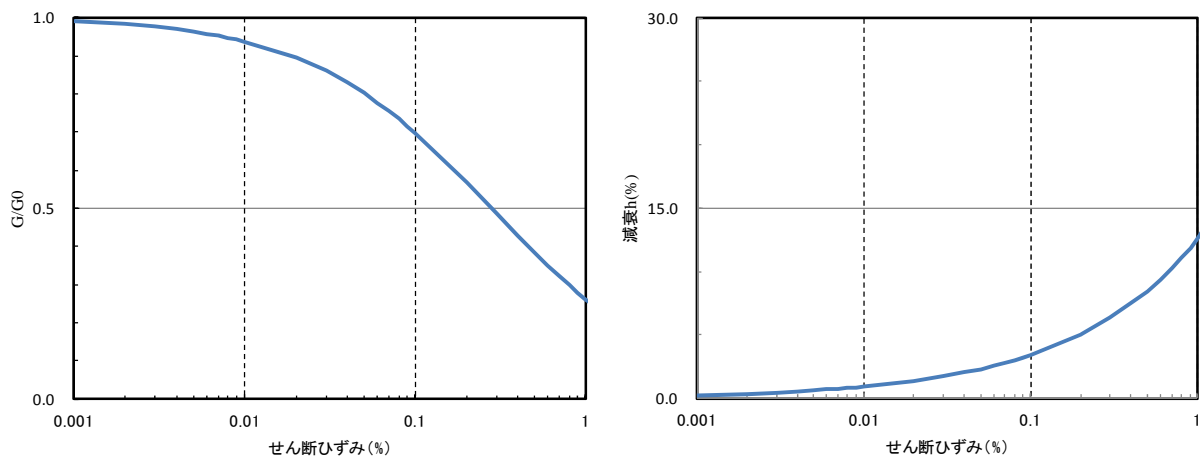


図 2.2.2-5 地盤のひずみ依存性(泥岩)*

* :『福島第一原子力発電所 3号機「新耐震指針に照らした耐震安全性評価(中間報告)」に関する補足説明資料(コメント回答資料)ー建物・構築物ー』(平成 22 年 6 月 29 日 東京電力株式会社)、総合資源エネルギー調査会原子力安全・保安部会耐震・構造設計小委員会構造 WG (第 26 回) A サブグループ会合資料

表 2.2.2-4 地盤定数の設定結果

(a) Ss-1

| 標高 O.P. (m) | 地質 | せん断波 速度 Vs (m/s) | 単位体積 重量 γ (kN/m ³) | ボ'アツン 比 ν | せん断 弾性係数 G ($\times 10^5$ kN/m ²) | 初期せん断 弾性係数 G_0 ($\times 10^5$ kN/m ²) | 剛性 低下率 G/G_0 | ヤング 係数 E ($\times 10^5$ kN/m ²) | 減衰 定数 h (%) | 層厚 H (m) |
|-------------------|------------|---------------------------|--|---------------------|---|---|----------------------|---|----------------------|----------------|
| 10.0 | 改良地盤 泥岩 | 800 | 17.7 | 0.310 | 11.43 | 11.52 | 0.99 | 29.94 | 2 | 12.0 |
| -2.0 | | 450 | 16.5 | 0.464 | 2.97 | 3.41 | 0.87 | 8.70 | 3 | 8.0 |
| -10.0 | | 500 | 17.1 | 0.455 | 3.59 | 4.36 | 0.82 | 10.44 | 3 | 70.0 |
| -80.0 | | 560 | 17.6 | 0.446 | 4.60 | 5.63 | 0.82 | 13.31 | 3 | 28.0 |
| -108.0 | | 600 | 17.8 | 0.442 | 5.29 | 6.53 | 0.81 | 15.25 | 3 | 88.0 |
| -196.0 | | 700 | 18.5 | 0.421 | 9.24 | 9.24 | 1.00 | 26.26 | - | - |
| | | | | | | | | | | |

(b) Ss-2

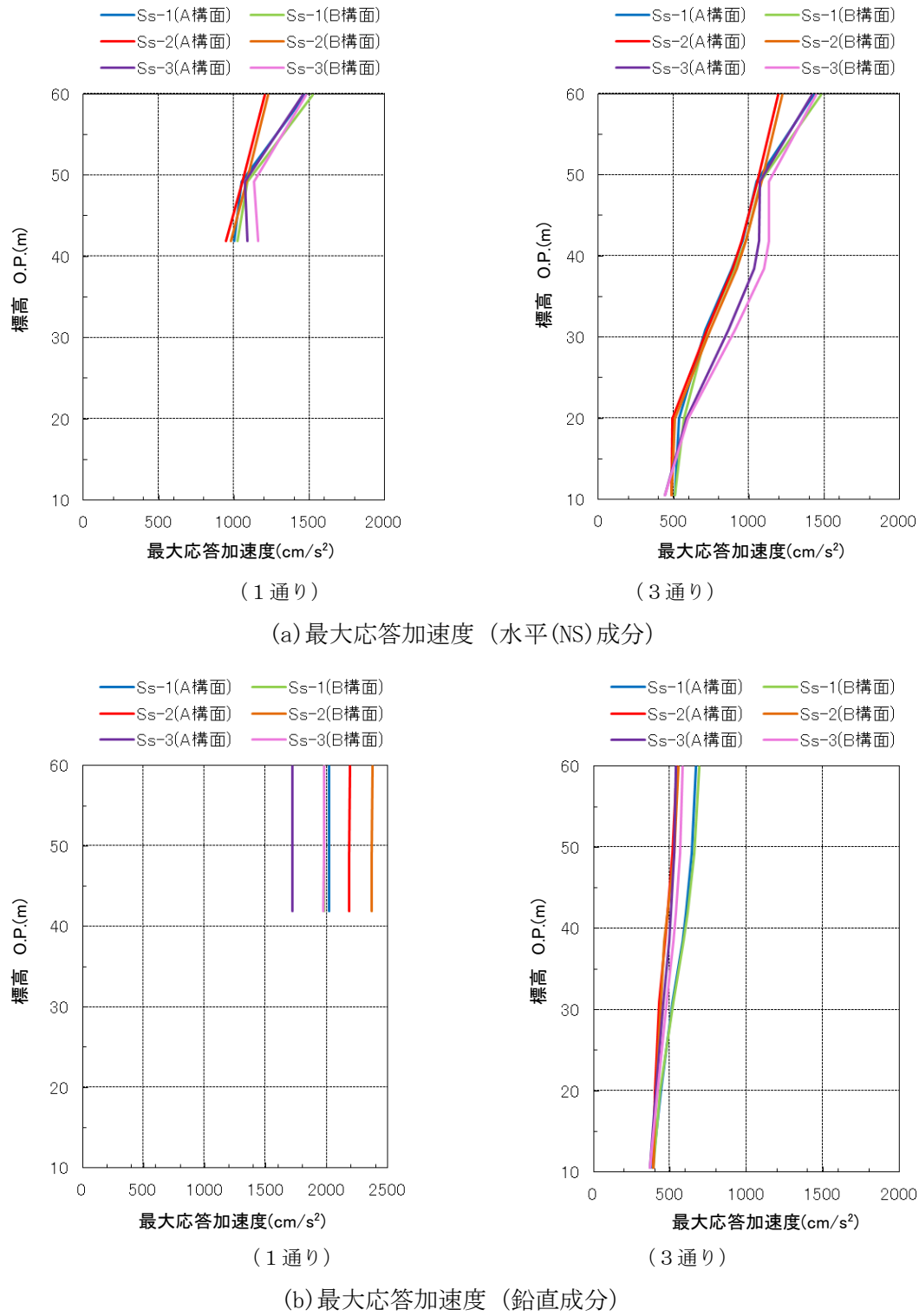
| 標高 O.P. (m) | 地質 | せん断波 速度 Vs (m/s) | 単位体積 重量 γ (kN/m ³) | ボ'アツン 比 ν | せん断 弾性係数 G ($\times 10^5$ kN/m ²) | 初期せん断 弾性係数 G_0 ($\times 10^5$ kN/m ²) | 剛性 低下率 G/G_0 | ヤング 係数 E ($\times 10^5$ kN/m ²) | 減衰 定数 h (%) | 層厚 H (m) |
|-------------------|------------|---------------------------|--|---------------------|---|---|----------------------|---|----------------------|----------------|
| 10.0 | 改良地盤 泥岩 | 800 | 17.7 | 0.310 | 11.43 | 11.52 | 0.99 | 29.94 | 2 | 12.0 |
| -2.0 | | 450 | 16.5 | 0.464 | 2.98 | 3.41 | 0.87 | 8.72 | 3 | 8.0 |
| -10.0 | | 500 | 17.1 | 0.455 | 3.59 | 4.36 | 0.82 | 10.45 | 3 | 70.0 |
| -80.0 | | 560 | 17.6 | 0.446 | 4.62 | 5.63 | 0.82 | 13.36 | 3 | 28.0 |
| -108.0 | | 600 | 17.8 | 0.442 | 5.50 | 6.53 | 0.84 | 15.85 | 3 | 88.0 |
| -196.0 | | 700 | 18.5 | 0.421 | 9.24 | 9.24 | 1.00 | 26.26 | - | - |
| | | | | | | | | | | |

(c) Ss-3

| 標高 O.P. (m) | 地質 | せん断波 速度 Vs (m/s) | 単位体積 重量 γ (kN/m ³) | ボ'アツン 比 ν | せん断 弾性係数 G ($\times 10^5$ kN/m ²) | 初期せん断 弾性係数 G_0 ($\times 10^5$ kN/m ²) | 剛性 低下率 G/G_0 | ヤング 係数 E ($\times 10^5$ kN/m ²) | 減衰 定数 h (%) | 層厚 H (m) |
|-------------------|------------|---------------------------|--|---------------------|---|---|----------------------|---|----------------------|----------------|
| 10.0 | 改良地盤 泥岩 | 800 | 17.7 | 0.310 | 11.44 | 11.52 | 0.99 | 29.98 | 2 | 12.0 |
| -2.0 | | 450 | 16.5 | 0.464 | 3.00 | 3.41 | 0.88 | 8.79 | 3 | 8.0 |
| -10.0 | | 500 | 17.1 | 0.455 | 3.53 | 4.36 | 0.81 | 10.27 | 3 | 70.0 |
| -80.0 | | 560 | 17.6 | 0.446 | 4.52 | 5.63 | 0.80 | 13.07 | 3 | 28.0 |
| -108.0 | | 600 | 17.8 | 0.442 | 4.97 | 6.53 | 0.76 | 14.34 | 3 | 88.0 |
| -196.0 | | 700 | 18.5 | 0.421 | 9.24 | 9.24 | 1.00 | 26.26 | - | - |
| | | | | | | | | | | |

3) 地震応答解析結果

地震応答解析は水平方向と鉛直方向を同時入力した。最大応答加速度を図 2.2.2-6 及び図 2.2.2-7 に示す。



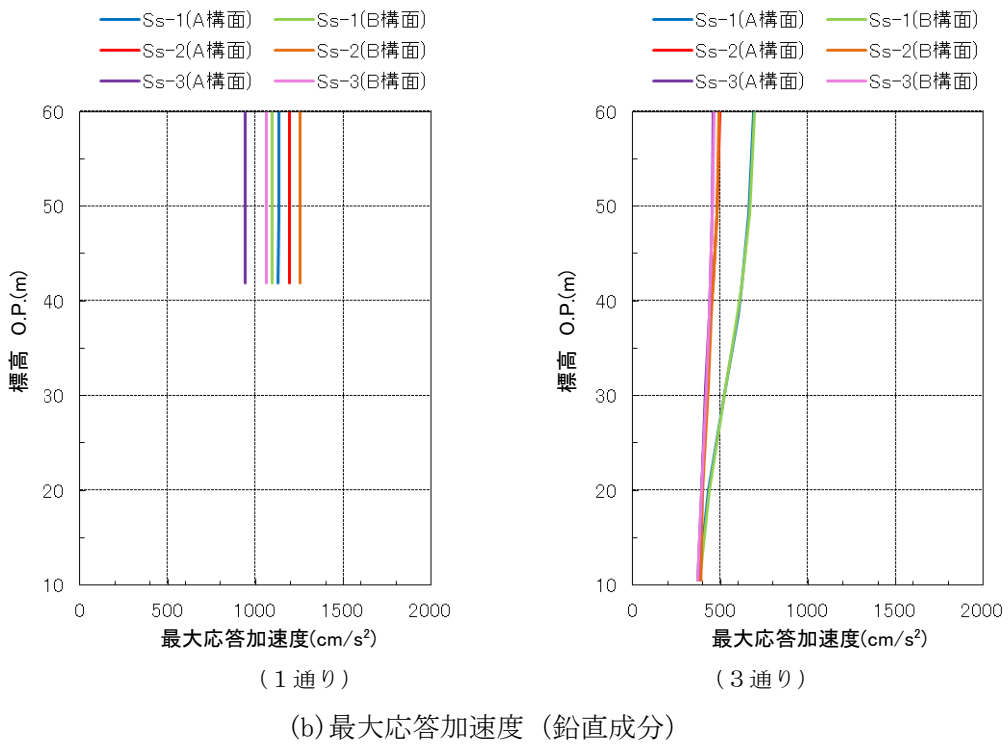
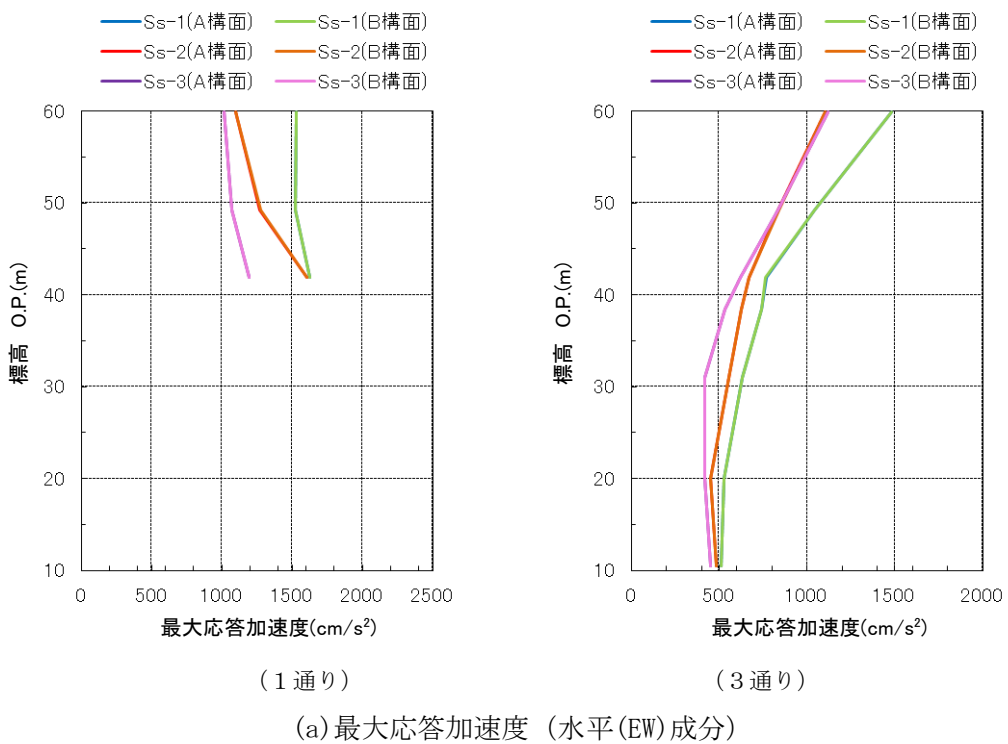


図 2.2.2-7 最大応答加速度 (EW 方向入力時)

4) 波及的影響の評価

地震応答解析結果が、JSCA 性能メニュー（社団法人日本建築構造技術者協会、2002 年）を参考に定めたクライテリア（「層間変形角は 1/75 以下、層の塑性率は 4 以下、部材の塑性率は 5 以下」^{*1} 及びせん断力はせん断耐力以下）を満足することを確認する。

なお、解析結果が「時刻歴応答解析建築物性能評価業務方法書」（財団法人日本建築センター、平成 19 年 7 月 20 日）に示されるクライテリア（層間変形角は 1/100 以下、層の塑性率は 2 以下、部材の塑性率は 4 以下）を超える場合には水平変形に伴う鉛直荷重の付加的影響を考慮した解析を実施し、安全性を確認する。

*1：北村春幸、宮内洋二、浦本弥樹「性能設計における耐震性能判断基準値に関する研究」、日本建築学会構造系論文集、第 604 号、2006 年 6 月

- ・層間変形角の検討

層間変形の評価はクレーン支持用架構の剛心位置で評価し、表 2.2.2-5 に検討結果を示す。

検討の結果、層間変形角は 1/75 以下となりクライテリアを満足することを確認した。

表 2.2.2-5 層間変形角の検討結果

| 検討箇所 | 最大応答値 | | | | | | クライテリア | 判定 | | |
|------|----------|-------|-------|----------|-------|-------|--------|----|--|--|
| | NS 方向入力時 | | | EW 方向入力時 | | | | | | |
| | Ss-1 | Ss-2 | Ss-3 | Ss-1 | Ss-2 | Ss-3 | | | | |
| 6 階 | 1/268 | 1/282 | 1/234 | 1/298 | 1/379 | 1/367 | 1/75 | OK | | |
| 5 階 | 1/251 | 1/269 | 1/223 | 1/236 | 1/314 | 1/295 | 1/75 | OK | | |
| 4 階 | 1/235 | 1/249 | 1/223 | 1/199 | 1/256 | 1/256 | 1/75 | OK | | |
| 3 階 | 1/199 | 1/203 | 1/195 | 1/189 | 1/243 | 1/240 | 1/75 | OK | | |
| 2 階 | 1/210 | 1/208 | 1/206 | 1/181 | 1/232 | 1/231 | 1/75 | OK | | |
| 1 階 | 1/361 | 1/351 | 1/335 | 1/319 | 1/409 | 1/415 | 1/75 | OK | | |

・塑性率の検討

部材の塑性率は、最大応答曲げモーメント時の曲率を全塑性モーメントに至る時の曲率で除した値で表される。最大曲げモーメントが全塑性モーメント以下の場合は弾性であり塑性率は1以下となる。最大応答値を全塑性モーメントまたはせん断耐力で除した値を耐力比と定義し、表 2.2.2-6 に検討結果を示す。

表 2.2.2-6 より曲げモーメント及びせん断力については、全てのケースで耐力比が1を下回ることから塑性率は1以下となり、クライテリアを満足することを確認した。

表 2.2.2-6 耐力比の検討結果

| 部位 | 検討箇所 | 部材形状 (mm) | 地震波 | 入力方向 | 耐力比 | | 判定 |
|----|-------------|------------------------|------|------|--------------|------|----|
| 柱 | 1階 3-B | B□-3000×3000 ×28×28 | Ss-1 | EW | M_z/M_{uz} | 0.89 | OK |
| | | | Ss-3 | NS | M_y/M_{uy} | 0.82 | |
| | | | Ss-3 | NS | Q_z/Q_{uz} | 0.25 | |
| | | | Ss-1 | EW | Q_y/Q_{uy} | 0.39 | |
| 梁 | 4階 3/A-B | B□-3000×3000 ×25×25 | Ss-1 | EW | M_z/M_{uz} | 0.71 | OK |
| | | | | | M_y/M_{uy} | 0.01 | |
| | | | | | Q_z/Q_{uz} | 0.00 | |
| | | | | | Q_y/Q_{uy} | 0.29 | |

M_z ：部材 z 軸回りの曲げモーメントの最大値

M_y ：部材 y 軸回りの曲げモーメントの最大値

Q_z ：部材 z 方向のせん断力の最大値

Q_y ：部材 y 方向のせん断力の最大値

M_{uz} ：部材 z 軸回りの全塑性モーメント

M_{uy} ：部材 y 軸回りの全塑性モーメント

Q_{uz} ：部材 z 軸方向のせん断耐力

Q_{uy} ：部材 y 軸方向のせん断耐力

(3) 基礎スラブの耐震性に対する検討

1) 解析モデル

基礎スラブの応力解析は、弾性地盤上に支持された版として有限要素法を用いて行う。解析モデルは、図 2.2.2-8 に示すように四辺形の均質等方な板要素により構成し、支持地盤は等価な弾性ばねとしてモデル化する。

検討は組合せ係数法にて行い、荷重組合せケースを表 2.2.2-7 に示す。

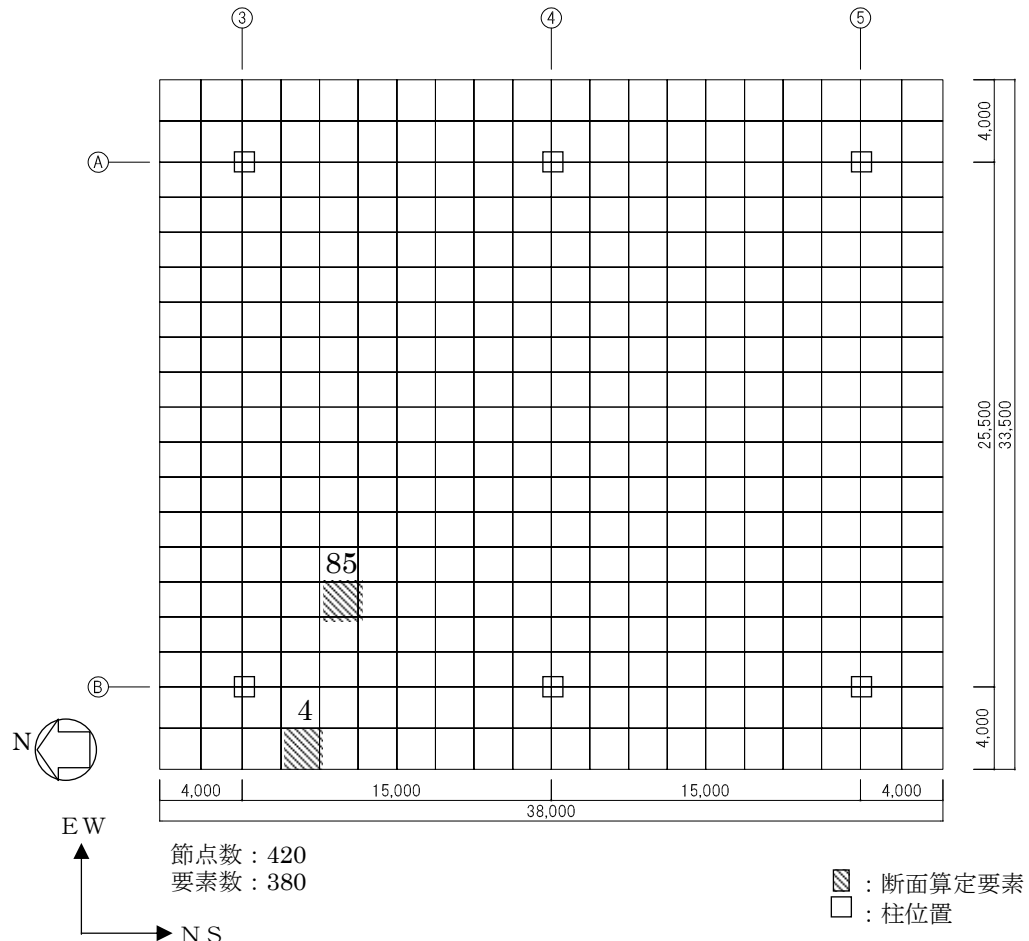


図 2.2.2-8 解析モデル図 (単位 : mm)

表 2.2.2-7 荷重組合せケース一覧表

| 荷重ケース | 地震力の作用方向 | | | | | |
|-------|----------|-----|------|-----|-----|-----|
| | 鉛直方向 | | 水平方向 | | | |
| | 上向き | 下向き | N→S | S→N | E→W | W→E |
| Dn | | ○ | ○ | | | |
| Ds | | ○ | | ○ | | |
| De | | ○ | | | ○ | |
| Dw | | ○ | | | | ○ |
| Un | ○ | | ○ | | | |
| Us | ○ | | | ○ | | |
| Ue | ○ | | | | ○ | |
| Uw | ○ | | | | | ○ |

2) 断面検討

各要素に対して、検討用応力が部材の終局耐力を下回ることを確認する。曲げ終局強度及びせん断終局強度の算定は、「原子力施設鉄筋コンクリート構造計算規準・同解説」による柱の終局強度算定式に準拠する。なお、鉄筋の引張強度は、平成 12 年建設省告示第 2464 号に定められた基準強度の 1.1 倍を用いる。検討用曲げモーメントを曲げ終局強度で除した値が最大となる箇所及び検討用せん断力をせん断終局強度で除した値が最大となる箇所の基礎スラブの断面検討結果を表 2.2.2-8 に示す。

断面検討の結果、検討用曲げモーメントは曲げ終局強度を下回り、検討用せん断力はせん断終局強度を下回ることを確認した。

表 2.2.2-8 基礎スラブの断面検討結果

| 要素番号 | 方向 | 荷重ケース | 検討用応力 | | | 設計配筋 上段：上端筋 [断面積 mm ² /m] (pt:%) 下段：下端筋 [断面積 mm ² /m] (pt:%) | 部材の終局強度 | | M/M _u | Q/Q _u | 判定 |
|------|----|-------|---------------------------|---------------|-------------|--|----------------------------|--------------------------|------------------|------------------|----|
| | | | N ^{*1} (kN/m) | M (kN·m/m) | Q (kN/m) | | M _u (kN·m/m) | Q _u (kN/m) | | | |
| 4 | NS | D e | 127 | 1201 | 4033 | D38@200+D38@400 [8550] (0.21) D38@200+D38@400 [8550] (0.21) | 11991 | 6778 | 0.11 | 0.60 | OK |
| | EW | D e | 61 | 1417 | 1519 | 3-D38@200 [17100] (0.43) 2-D38@200 [11400] (0.29) | 15772 | 7294 | 0.09 | 0.21 | OK |
| 85 | NS | D s | -93 | 4202 | 158 | D38@200+D38@400 [8550] (0.21) 1-D38@200 [5700] (0.14) | 11589 | 2422 | 0.37 | 0.07 | OK |
| | EW | D e | -363 | 4698 | 20 | 1-D38@200 [5700] (0.14) 1-D38@200 [5700] (0.14) | 7244 | 2183 | 0.65 | 0.01 | OK |

*1: 圧縮を正とする

(4) 改良地盤の耐震性に対する検討

1) 検討方針

検討は「JEAC 4616-2009」に準拠し、基準地震動 Ss により発生する荷重に対して許容限界を満足することを確認する。改良地盤の許容限界は、改良地盤の設計圧縮強度、せん断抵抗に対する安全率に基づき設定する。支持地盤の許容限界は、支持地盤の極限支持力に対する安全率に基づき設定する。

2) 地震応答解析モデル

応力算定用の地震応答解析モデルを図 2.2.2-9 に示す。改良地盤及び支持地盤の物性は表 2.2.2-4 を用いた。

周辺地盤の物性は、一次元波動論であらかじめ実施した等価線形解析結果をもとに改良地盤及び周辺地盤のひずみレベルに応じた等価なせん断剛性、減衰を設定した。

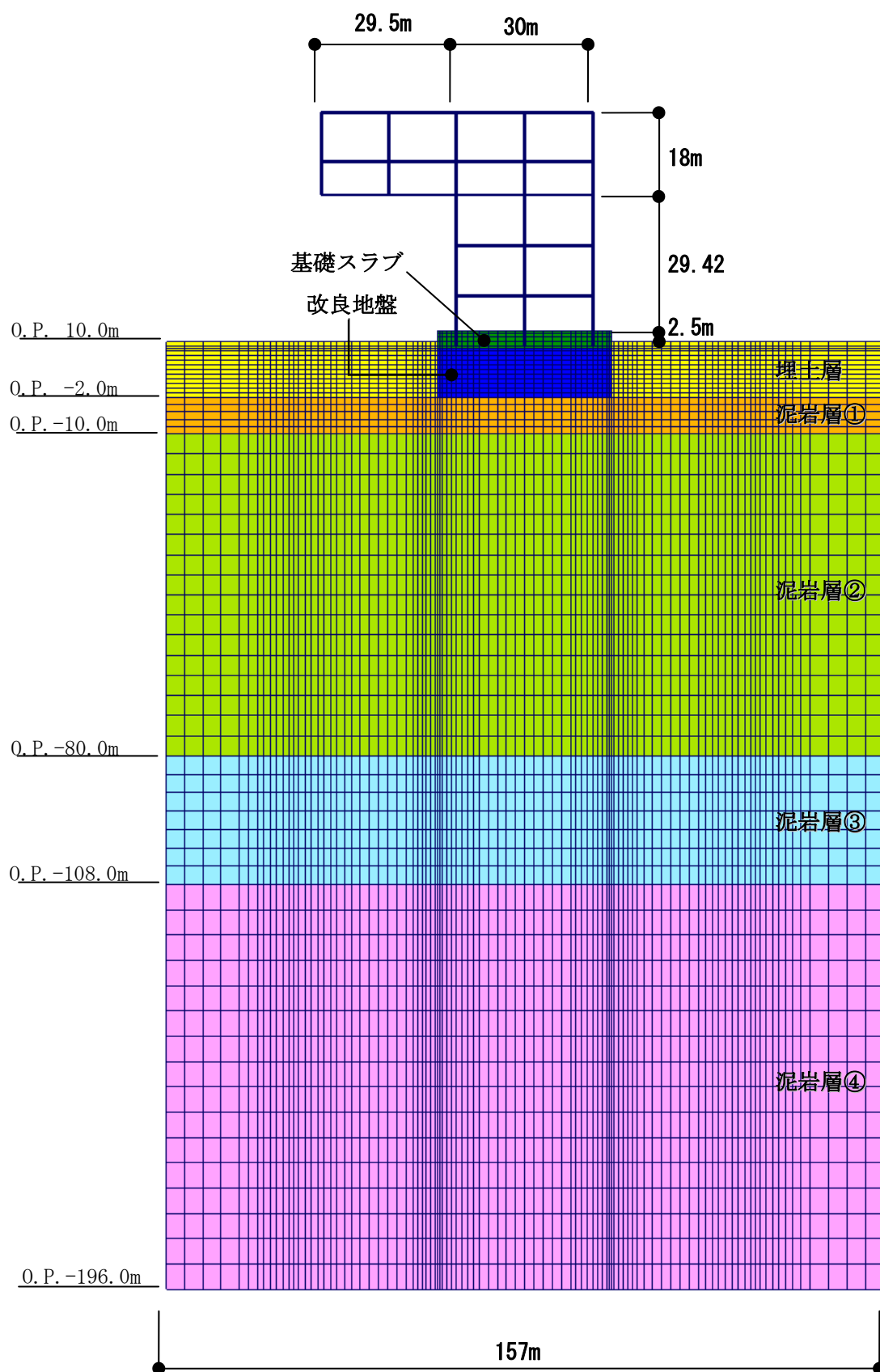


図 2.2.2-9 応力算定用地震応答解析モデル

3) 波及的影響の評価

改良地盤の評価は、「JEAC 4616-2009」に準じ、改良地盤に発生する最大応力が許容値に対して1.5以上の安全率を有していることを確認する。

- ・改良地盤に生じる鉛直応力に対する検討

改良地盤に作用する鉛直応力に対し改良地盤の圧縮強度の安全率が1.5以上であることを下式により確認する。

$$\frac{ssf_{sc}}{\sigma_{y\max}} \geq 1.5$$

ここで、

ssf_{sc} : 改良地盤の圧縮強度

$\sigma_{y\max}$: 有限要素解析による各要素の鉛直応力の最大値

改良地盤の圧縮強度 (ssf_{sc}) は、「JEAC 4616-2009」によると設計基準強度と一軸圧縮強さの変動係数から求めることができるが、ここでは安全側の評価とし断面欠損を考慮した設計基準強度を改良地盤の圧縮強度として検討を行う。

安全率の検討結果を表 2.2.2-9 に示す。検討結果より改良地盤の圧縮強度は改良地盤の基礎スラブ直下における最大鉛直応力の1.5以上の安全率を有していることを確認した。

表 2.2.2-9 改良地盤の鉛直応力に対する検討結果
(改良地盤底部)

| 地震波 | 最大鉛直応力 $\sigma_{y\max}(kN/m^2)$ | 圧縮強度 $ssf_{sc}(kN/m^2)$ | 安全率 | クライテリア | 判定 |
|------|------------------------------------|----------------------------|------|--------|----|
| Ss-1 | 1775 | 2940 | 1.65 | 1.50 | OK |
| Ss-2 | 1404 | 2940 | 2.09 | 1.50 | OK |
| Ss-3 | 1818 | 2940 | 1.61 | 1.50 | OK |

・改良地盤に作用するせん断力に対する検討

検討は、改良地盤の基礎スラブ直下及び改良地盤下端のせん断力について行う。改良地盤上端及び下端にせん断面を想定し、各時刻 (t) における改良地盤に作用する水平方向せん断力 $F_H(t)$ と改良地盤の水平抵抗力 $F_R(t)$ を評価し、そのせん断に対する安全率 $F_S(t)$ が 1.5 以上であることを下式により確認する。

$$F_S(t) = \frac{F_R(t)}{F_H(t)} \geq 1.5$$

$$F_R(t) = \sum_i F_{Ri}(t) = \sum_i \tau_{Ri}(t) \cdot l_i$$

$$F_H(t) = \sum_i F_{Hi}(t) = \sum_i \tau_{Si}(t) \cdot l_i$$

| | | |
|------|----------------|--|
| ここで、 | $F_S(t)$ | :せん断に対する安全率 |
| | $F_R(t)$ | :せん断面上の地盤の水平抵抗力 (kN) |
| | $F_H(t)$ | :せん断面上の地盤のせん断力 (kN) |
| | $\tau_{Ri}(t)$ | :せん断面の解析モデル要素 i のせん断抵抗力 (kN/m ²) |
| | | $\tau_{Ri}(t)$ は上載圧による強度増加は無視して設定し、せん断強度 ssf_{ss} を用いる。なお、せん断破壊及び鉛直方向応力が引張状態になった地盤要素は評価しない |
| | $\tau_{Si}(t)$ | :せん断面の解析モデル要素 i に作用するせん断応力 (kN/m ²) |
| | l_i | :解析モデル要素 i を横切るせん断面の長さ(要素 i の長さ) (m) |
| | ssf_{ss} | :改良地盤のせん断強度 (kN/m ²) |

改良地盤のせん断強度 (ssf_{ss}) は下式より設定する。

$$ssf_{ss} = \frac{1}{5} ssf_{sc}$$

ここで、 ssf_{ss} : 450kN/m² (断面欠損 25%を考慮する)

安全率の検討結果を表 2.2.2-10 及び表 2.2.2-11 に示す。

検討結果より改良地盤の水平抵抗力は、改良地盤の基礎スラブ直下及び改良地盤下端の最大せん断力の 1.5 以上の安全率を有していることを確認した。なお、解析は二次元でモデル化しているため、単位長さ当たりのせん断力及び水平抵抗力で検討する。

表 2.2.2-10 改良地盤のせん断力に対する検討
(基礎スラブ下端)

| 地震波 | 最大せん断力 F_H (kN/m) | 水平抵抗力 F_R (kN/m) | 安全率 F_S | クライテリア | 判定 |
|------|---------------------------|--------------------------|--------------|--------|----|
| Ss-1 | 3629 | 13387 | 3.68 | 1.50 | OK |
| Ss-2 | 2931 | 14512 | 4.95 | 1.50 | OK |
| Ss-3 | 3654 | 13500 | 3.69 | 1.50 | OK |

表 2.2.2-11 改良地盤のせん断力に対する検討
(改良地盤底部)

| 地震波 | 最大せん断力 F_H (kN/m) | 水平抵抗力 F_R (kN/m) | 安全率 F_S | クライテリア | 判定 |
|------|---------------------------|--------------------------|--------------|--------|----|
| Ss-1 | 7809 | 15750 | 2.01 | 1.50 | OK |
| Ss-2 | 7504 | 15975 | 2.12 | 1.50 | OK |
| Ss-3 | 6643 | 15300 | 2.30 | 1.50 | OK |

4) 支持力の検討

支持力の評価は、改良地盤底部における最大鉛直応力が支持地盤の極限支持力度に対して 1.5 以上の安全率を有していることを確認する。

$$\frac{R_u}{V} \geq 1.5$$

ここで、

R_u : 極限鉛直支持力度

V : 地震応答解析から得られる最大鉛直応力

検討の結果、支持地盤の極限支持力度 ($6860\text{kN}/\text{m}^2$) *は改良地盤底部における最大鉛直応力の 1.5 以上の安全率を有していることを確認した。

* : 「福島第一原子力発電所 原子炉設置変更許可申請書（4号炉増設）」による

$$6860\text{kN}/\text{m}^2 / 1818\text{kN}/\text{m}^2 = 3.77 \geq 1.50 \cdots \text{OK}$$

(5) 地盤アンカーの耐震性に対する検討

1) 検討方針

地盤アンカーは、図 2.2.2-10 に示すように基礎スラブ上端を緊張端とし、泥岩層 O.P. -7.0m 以深を定着長部としている。地盤アンカーの検討は基準地震動 Ss 時に自由長部に発生する応力が規格降伏耐力以下及び定着長部の設計定着長が必要定着長以上であることを確認する。検討は、旧建築基準法第 38 条の規定に基づく認定工法「STK 永久アンカー工法」(建設省阪住指発第 353 号、平成 8 年 10 月 16 日) における設計マニュアルに基づき実施する。

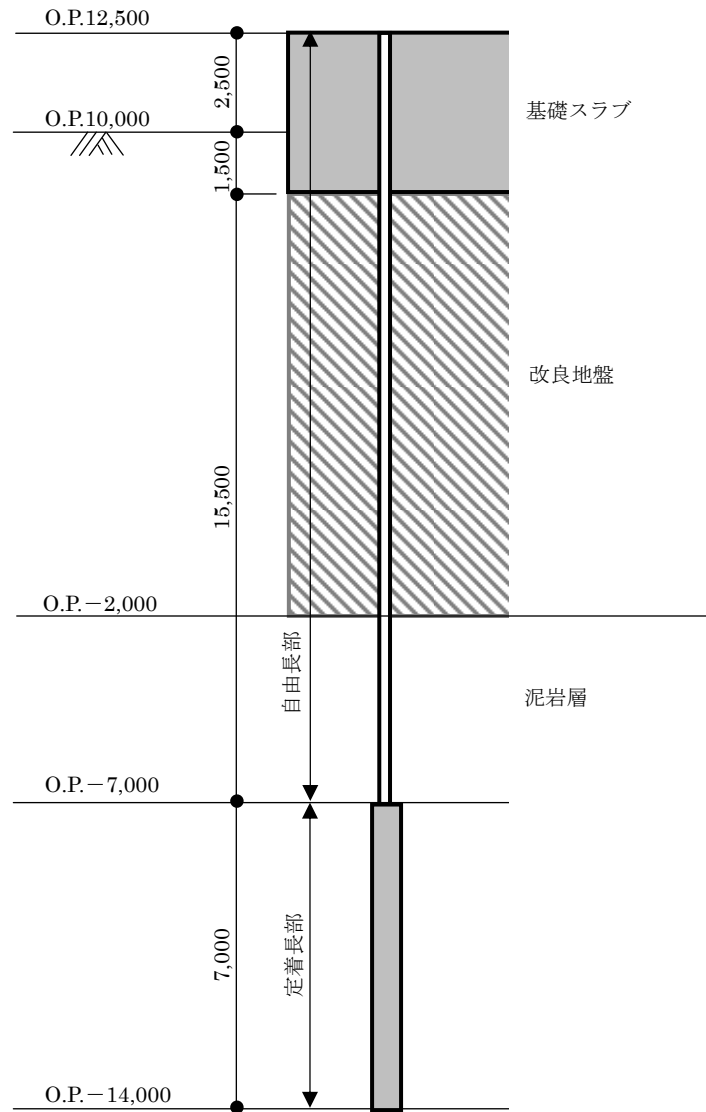


図 2.2.2-10 地盤アンカー設置計画 (単位 : mm)

2) 地盤アンカーの検討

・自由長部の検討

地盤アンカーに発生する応力と規格降伏耐力を比較した結果を表 2.2.2-12 に示す。地盤アンカーは STK-200 (SWPR19 4-φ 21.8) を用いる。

検討の結果、耐力比が 1 以下になることを確認した。

表 2.2.2-12 自由長部の検討結果

| 発生応力 T_{max} (kN/本) | 規格降伏耐力 T_{ys} (kN/本) | 耐力比 T_{max}/T_{ys} | 判定 |
|-----------------------------|------------------------------|-------------------------|----|
| 1590 | 1981 | 0.81 | OK |

・定着長部の検討

定着長部の検討は、地盤アンカーの規格降伏耐力と地盤の極限摩擦抵抗力から求める必要定着長が、設計定着長を下回ることを確認する。結果を表 2.2.2-13 に示す。

検討の結果、検定比が 1 以下になることを確認した。

$$L_a = \frac{T_{ys} \times F}{\tau_u \times \pi \times D_d}$$

ここで、

L_a : 必要定着長 (cm)

T_{ys} : 地盤アンカーの規格降伏耐力 (1981kN)

F : 安全率 (=1.0)

τ_u : 地盤の極限摩擦抵抗力 (N/cm²) (137N/cm²) *

* : 旧建築基準法第 38 条の規定に基づく認定工法「STK 永久アンカー工法」(建設省阪住指発第 353 号、平成 8 年 10 月 16 日)、設計マニュアルより N 値 50 以上の泥岩の値

D_d : 地盤アンカ一体の設計径 (17cm)

表 2.2.2-13 定着長の検討結果

| 必要定着長 L_a (cm) | 設計定着長 L_d (cm) | 検定比 L_a/L_d | 判定 |
|------------------------|------------------------|------------------|----|
| 271 | 700 | 0.39 | OK |

2.3 燃料取扱機支持用架構の構造強度及び耐震性について

燃料取扱機支持用架構の構造強度及び耐震性の検討フローを図 2.3-1 に示す。

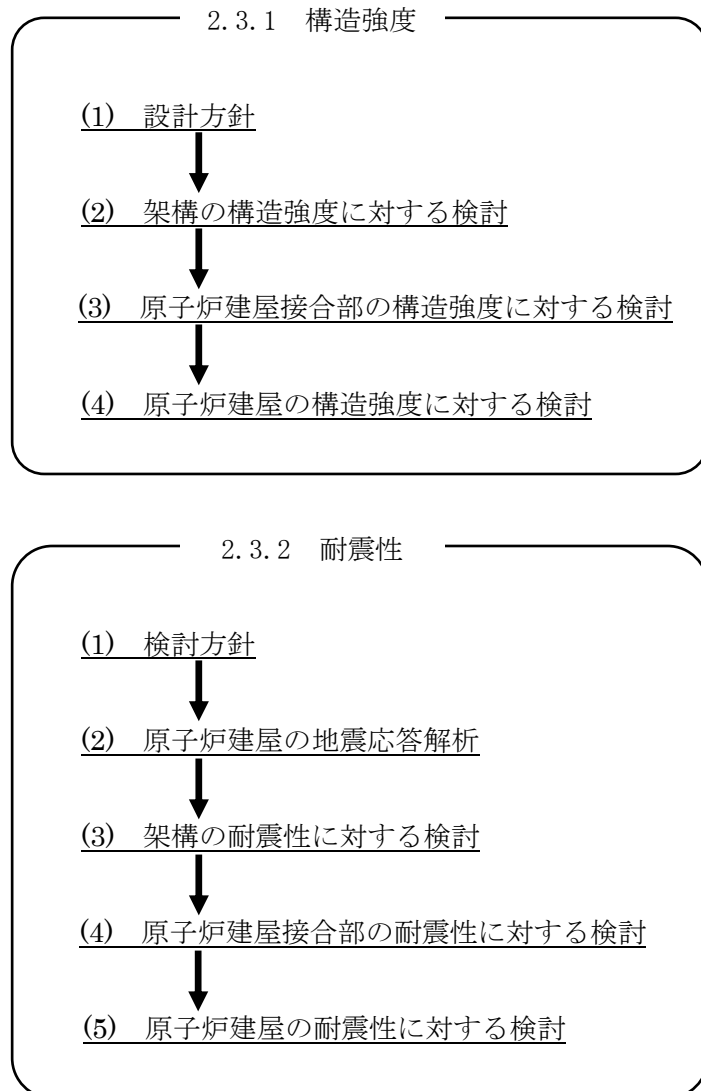


図 2.3-1 燃料取扱機支持用架構の検討フロー

2.3.1 構造強度

(1) 設計方針

構造強度の検討は、燃料取扱機支持用架構、原子炉建屋接合部及び架構反力が作用する原子炉建屋について許容応力度設計を実施する。

1) 使用材料及び許容応力度

燃料取扱機支持用架構の物性値及び許容応力度を表 2.3.1-1 に示す。

表 2.3.1-1 燃料取扱機支持用架構の物性値及び許容応力度

| 材料定数 | | | | |
|------|--------|---------------------------------|----------------|---|
| 部位 | 材料 | ヤング係数 E (N/mm ²) | ポアソン比 ν | 単位体積重量 γ (kN/m ³) |
| 架 構 | 鉄骨 | 2.05×10^5 | 0.3 | 77.0 |
| 基礎構造 | コンクリート | 2.44×10^4 | 0.2 | 24.0 |

| コンクリートの許容応力度 | | | | | |
|--------------|------|----|-------|------|-------|
| 設計基準強度 = 30 | 長期 | | | 短期 | |
| | 圧縮 | 引張 | せん断 | 圧縮 | 引張 |
| | 10.0 | — | 0.790 | 20.0 | — |
| | | | | | 1.185 |

| 鉄筋の許容応力度 | | | | | |
|----------|--------|--------|-------|--------|-------|
| 記号 | 鉄筋径 | 長期 | | 短期 | |
| | | 引張及び圧縮 | せん断補強 | 引張及び圧縮 | せん断補強 |
| SD345 | D29 未満 | 215 | 195 | 345 | 345 |
| | D29 以上 | 195 | | | |

| 構造用鋼材の許容応力度 | | | (単位 : N/mm ²) |
|-------------|-----------|--------|-------------------------------|
| 板厚 | 材料 | 基準強度 F | |
| T ≤ 40 mm | SS400 | 235 | 「鋼構造設計規準」に従い、左記 F の値より求め る |
| T ≤ 40 mm | SM490A | 325 | |
| T > 40 mm | SM490A | 295 | |
| — | BCP325 | 325 | |
| — | BCR295 | 295 | |
| T > 40 mm | TMCP325C* | 325 | |
| — | SNR490B | 325 | |

* : 国土交通大臣指定書（国住指第 326-2、平成 14 年 5 月 7 日）による

2) 荷重及び荷重組合せ

設計で考慮する荷重を以下に示す。

・鉛直荷重 (VL)

燃料取扱機支持用架構に作用する鉛直方向の荷重で、固定荷重、機器荷重、配管荷重及び積載荷重とする。

・クレーン荷重 (CL)

吊荷荷重を含む燃料取扱機による荷重を表 2.3.1-2 に示す。

表 2.3.1-2 クレーン荷重一覧表

| | |
|-------|--------|
| 燃料取扱機 | 735 kN |
| 作業台車 | 196 kN |

・地震荷重 (K)

燃料取扱機支持用架構に作用させる地震荷重は、O.P.-2.06m（原子炉建屋基礎スラブ上端レベル）を基準面とした原子炉建屋の地震層せん断力係数の算定結果より設定する。原子炉建屋の地震層せん断力係数は下式より算定し、算定結果を表 2.3.1-4 に示す。

$$Q_i = n \cdot C_i \cdot W_i$$

$$C_i = Z \cdot R_t \cdot A_i \cdot C_o$$

ここで、

Q_i : 水平地震力 (kN)

n : 施設の重要度に応じた係数 (n=1.5)

建築基準法で定める地震力の 1.5 倍を考慮する。

C_i : 地震層せん断力係数

W_i : 当該部分が支える重量 (kN)

ここに、燃料取扱機支持用架構の設計で考慮する原子炉建屋の全体重量は、瓦礫撤去の効果と燃料取扱機支持用架構を新規に設置する影響を考慮した。原子炉建屋の全体重量を表 2.3.1-3 に示す。

表 2.3.1-3 原子炉建屋の全体重量(kN)

| | |
|-------------------------|---------|
| 原子炉建屋全体重量 ^{*1} | 1078100 |
| 瓦礫撤去による軽減重量 | -39810 |
| 燃料取扱機支持用架構の付加重量 | +6490 |
| 燃料取扱機支持用架構設計用原子炉建屋全体重量 | 1044780 |

*1 「福島第一原子力発電所の原子炉建屋の現状の耐震安全性および補強等に関する検討に係る報告書（その1）」（平成 23 年 5 月 28 日 東京電力株式会社）にて用いた原子炉建屋重量(1069320kN) に使用済燃料プール底部の支持構造物の設置工事による重量(8780kN)を加算したもの

Z : 地震地域係数 (Z=1.0)

Rt : 振動特性係数 (Rt=0.8)

Ai : 地震層せん断力係数の高さ方向の分布係数で、燃料取扱機支持用架構の固有値を用いたモーダル法（二乗和平方根法）により求める。

C₀ : 標準せん断力係数 (C₀=0.2)

表 2.3.1-4 原子炉建屋の地震層せん断力係数の算定結果

| 階 | 標高 O.P. (m) | 各階重量 (kN) | W _i (kN) | A _i | | n·C _i | |
|----|----------------|--------------|------------------------|----------------|-------|------------------|-------|
| | | | | NS 方向 | EW 方向 | NS 方向 | EW 方向 |
| 5 | 39.92 | 77700 | — | — | — | — | — |
| 4 | 39.92~32.30 | 88770 | 77700 | 2.070 | 2.218 | 0.497 | 0.533 |
| 3 | 32.30~26.90 | 122210 | 166470 | 1.787 | 1.831 | 0.429 | 0.440 |
| 2 | 26.90~18.70 | 127700 | 288680 | 1.520 | 1.549 | 0.365 | 0.372 |
| 1 | 18.70~10.20 | 208960 | 416380 | 1.309 | 1.315 | 0.314 | 0.316 |
| B1 | 10.20~-2.06 | — | 625340 | 1.000 | 1.000 | 0.240 | 0.240 |

燃料取扱機支持用架構に作用させる水平震度は、原子炉建屋 4 階の NS 方向地震層せん断力係数 (n · C_i=0.497) 及び EW 方向地震層せん断力係数 (n · C_i=0.533) より、水平震度を K_i=n · C_i として水平地震力を設定する。表 2.3.1-5 に燃料取扱機支持用架構に作用させる水平地震力の算定結果を示す。

表 2.3.1-5 水平地震力の算定結果

| 標高 O.P. (m) | 各階重量 (kN) | NS 方向 | | EW 方向 | |
|----------------|--------------|------------------------|------------------------------|------------------------|------------------------------|
| | | 水平震度 K _i | 水平地震力 P _i (kN) | 水平震度 K _i | 水平地震力 P _i (kN) |
| 40.77 | 2487 | 0.497 | 1236 | 0.533 | 1326 |
| 30.485 | 298 | 0.497 | 148 | 0.533 | 159 |
| 20.20 | 188 | 0.497 | 93 | 0.533 | 100 |

ここに、燃料取扱機支持用架構は鉄骨造で剛性が小さく、原子炉建屋は壁式鉄筋コンクリート造で剛性が非常に高いことから、燃料取扱機支持用架構の変形量に対して原子炉建屋の変形量は非常に小さく、地震時の原子炉建屋の変形が燃料取扱機支持用架構に及ぼす影響は考慮しないものとした。

・荷重組合せ

設計で考慮する燃料取扱機の位置を図 2.3.1-1 に、荷重組合せを表 2.3.1-6 に示す。なお、燃料取扱機支持用架構はクレーン支持用架構に覆われているため、積雪時及び暴風時は考慮しないものとした。

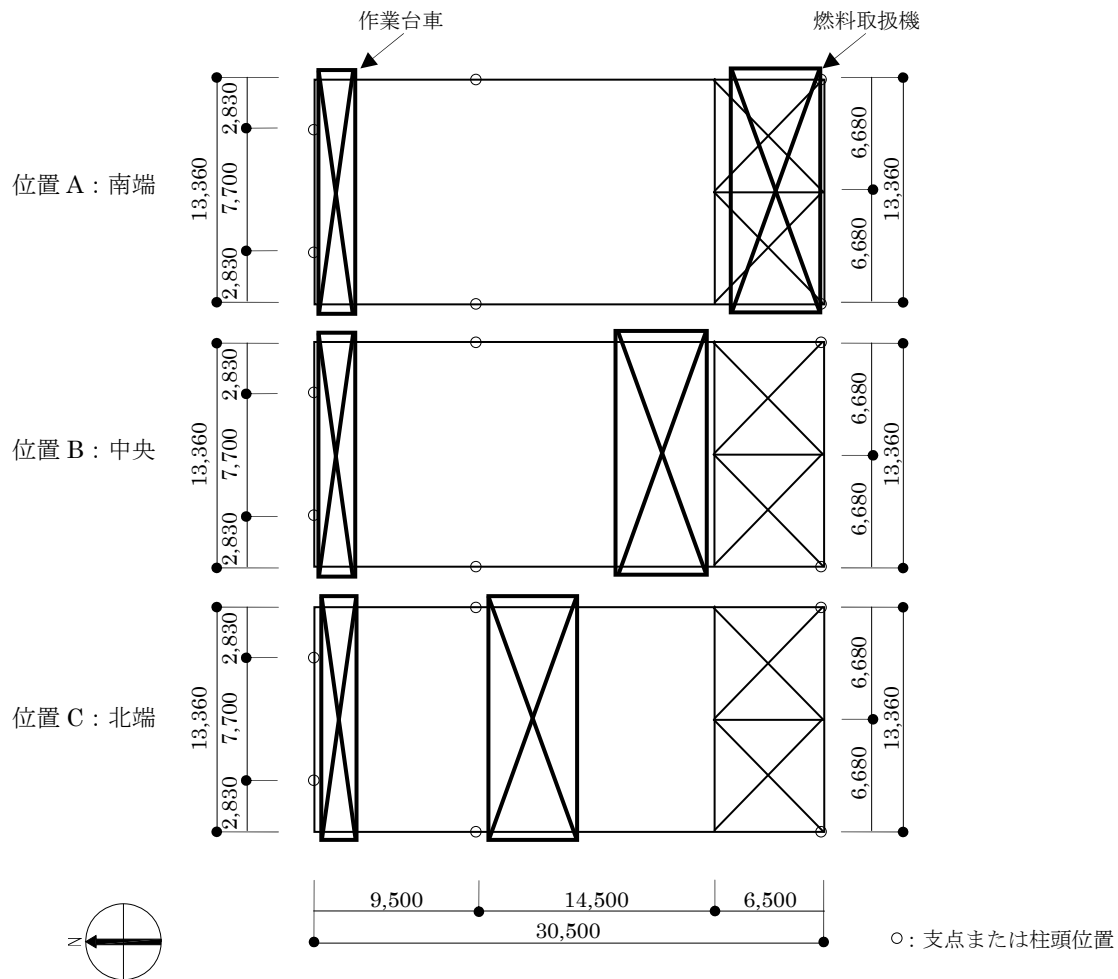


表 2.3.1-6 燃料取扱機支持用架構の荷重組合せ

| 想定する状態 | 荷重ケース | 荷重組合せ内容 | 許容応力度 |
|--------|-------|--------------------|-------|
| 常時 | C | VL + CL | 長期 |
| 地震時 | E1 | VL + CL + K(+NS)*1 | 短期 |
| | E2 | VL + CL + K(-NS)*1 | |
| | E3 | VL + CL + K(+EW)*1 | |
| | E4 | VL + CL + K(-EW)*1 | |

*1 : 地震荷重は NS 方向及び EW 方向を考慮する

(2) 架構の構造強度に対する検討

1) 解析モデル

燃料取扱機支持用架構の解析モデルは、O.P. 18.70m より上部を立体架構モデルとし、柱及び梁端部の境界条件は剛接、原子炉建屋シェル壁上端はピン及び原子炉建屋南側外壁の柱脚部は固定とする。解析モデル、部材寸法及び応力検討箇所を図 2.3.1-2 に示す。

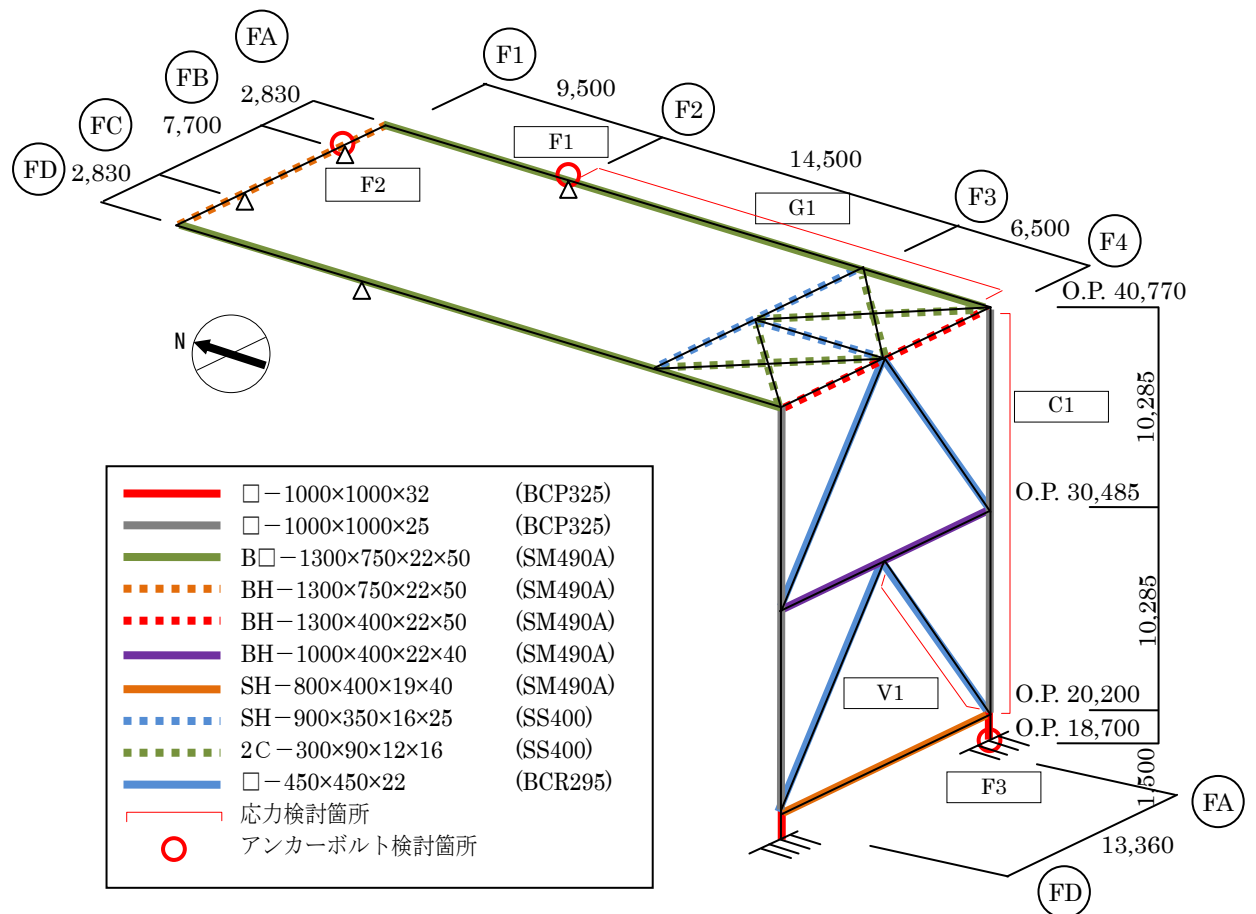


図 2.3.1-2 解析モデル図 (単位 : mm)

2) 断面検討

応力解析結果を用い、断面検討は二方向の曲げを図 2.3.1-3 に示すように考慮する。

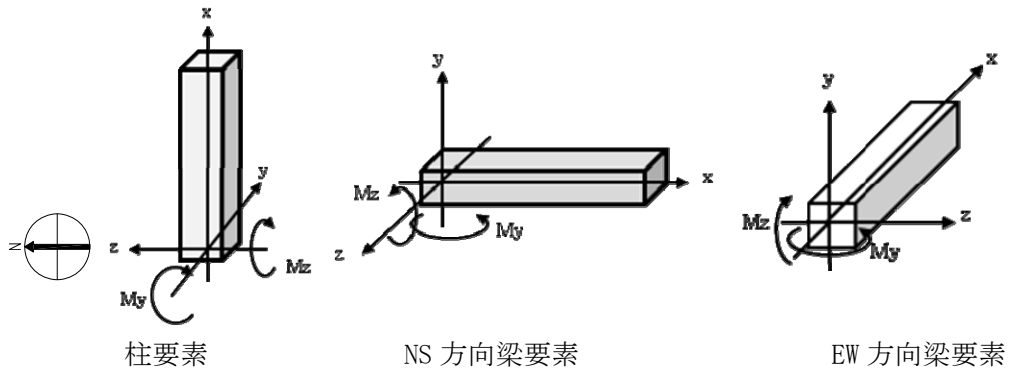


図 2.3.1-3 曲げモーメントの方向

応力度比の検討は「鋼構造設計規準」に従い、軸力及び曲げモーメントに対する検討は下式にて行う。

$$\cdot \text{軸圧縮の場合} \quad \frac{\sigma_c + \sigma_{bz} + \sigma_{by}}{f_c} \leq 1$$

$$\cdot \text{軸引張の場合} \quad \frac{\sigma_c + \sigma_{bz} + \sigma_{by}}{f_t} \leq 1$$

ここで、

σ_c : 軸応力度 ($=N/A$)

N : 軸力、 A : 断面積

σ_{bz} : 部材 z 軸方向曲げ応力度 ($=M_z/Z_z$)

M_z, Z_z : 部材 z 軸回りモーメント及び断面係数

σ_{by} : 部材 y 軸方向曲げ応力度 ($=M_y/Z_y$)

M_y, Z_y : 部材 y 軸回りモーメント及び断面係数

f_c : 許容圧縮応力度

f_b : 許容曲げ応力度

f_t : 許容引張応力度

また、せん断力に対する検討は、下式にて行う。

$$\frac{\sqrt{(\sigma_c + \sigma_{bz} + \sigma_{by})^2 + 3\tau_z^2}}{f_t} \leq 1 \quad \text{かつ} \quad \frac{\sqrt{(\sigma_c + \sigma_{bz} + \sigma_{by})^2 + 3\tau_y^2}}{f_t} \leq 1$$

ここで、

τ_z : 部材 z 軸方向せん断応力度 ($=Q_z/A_{wz}$)

Q_z, A_{wz} : 部材 z 軸方向せん断力及びせん断断面積

τ_y : 部材 y 軸方向せん断応力度 ($=Q_y/A_{wy}$)

Q_y, A_{wy} : 部材 y 軸方向せん断力及びせん断断面積

表 2.3.1-7 及び表 2.3.1-8 に応力度比が最大となる部位の断面検討結果を示す。

断面検討の結果、全ての部材に対する応力度比が 1 以下になることを確認した。

表 2.3.1-7 断面検討結果（常時）

| 部位 | 検討箇所 | 部材形状 (mm) | 荷重ケース (位置) ^{*1} | 作用 応力度 (N/mm ²) | | 許容 応力度 (N/mm ²) | 応力度比 | 判定 |
|------|------|-----------------------|-----------------------------|-----------------------------------|------|-----------------------------------|------|----|
| 柱 | C1 | □-1000×1000 ×25×25 | C (B) | 曲げ Mz | 0.3 | 216.7 | 0.13 | OK |
| | | | | 曲げ My | 20.0 | 216.7 | | |
| | | | | 圧縮 N | 4.2 | 150.1 | | |
| | | | | せん断 Qz | 0.9 | 125.1 | | |
| | | | | せん断 Qy | 0.0 | 125.1 | | |
| 梁 | G1 | B□-1300×750 ×22×50 | C (B) | 曲げ Mz | 36.6 | 196.7 | 0.20 | OK |
| | | | | 曲げ My | 1.2 | 196.7 | | |
| | | | | 圧縮 N | 0.4 | 121.6 | | |
| | | | | せん断 Qz | 0.2 | 113.5 | | |
| | | | | せん断 Qy | 0.5 | 113.5 | | |
| プレース | V1 | □-450×450 ×22 | C (B) | 曲げ Mz | 0.0 | 196.7 | 0.02 | OK |
| | | | | 曲げ My | 1.5 | 196.7 | | |
| | | | | 圧縮 N | 1.5 | 135.1 | | |
| | | | | せん断 Qz | 0.1 | 113.5 | | |
| | | | | せん断 Qy | 0.0 | 113.5 | | |

*1：燃料取扱機の位置を示す

表 2.3.1-8 断面検討結果（地震時）

| 部位 | 検討箇所 | 部材形状 (mm) | 荷重ケース (位置) ^{*1} | 作用 応力度 (N/mm ²) | | 許容 応力度 (N/mm ²) | 応力度比 | 判定 |
|------|------|-----------------------|-----------------------------|-----------------------------------|------|-----------------------------------|------|----|
| 柱 | C1 | □-1000×1000 ×25×25 | E2 (B) | 曲げ Mz | 0.2 | 325.0 | 0.10 | OK |
| | | | | 曲げ My | 25.1 | 325.0 | | |
| | | | | 圧縮 N | 4.3 | 225.2 | | |
| | | | | せん断 Qz | 1.7 | 187.6 | | |
| | | | | せん断 Qy | 0.0 | 187.6 | | |
| 梁 | G1 | B□-1300×750 ×22×50 | E3 (C) | 曲げ Mz | 34.2 | 295.0 | 0.23 | OK |
| | | | | 曲げ My | 28.5 | 295.0 | | |
| | | | | 圧縮 N | 1.2 | 182.4 | | |
| | | | | せん断 Qz | 3.4 | 170.3 | | |
| | | | | せん断 Qy | 10.2 | 170.3 | | |
| プレース | V1 | □-450×450 ×22 | E3 (A) | 曲げ Mz | 2.8 | 295.0 | 0.13 | OK |
| | | | | 曲げ My | 0.0 | 295.0 | | |
| | | | | 圧縮 N | 23.9 | 202.7 | | |
| | | | | せん断 Qz | 0.0 | 170.3 | | |
| | | | | せん断 Qy | 0.2 | 170.3 | | |

*1：燃料取扱機の位置を示す

(3) 原子炉建屋接合部の構造強度に対する検討

1) 許容耐力の算定

燃料取扱機支持用架構の原子炉建屋上の支点は接着系アンカーボルトを用いて一体化が図られる。接着系アンカーボルトの許容耐力は「各種合成構造設計指針・同解説」に従い、原子炉建屋の設計基準強度(22.1N/mm²)を用いて下式によって求め、計算結果を表2.3.1-9に示す。

$$p_a = \min(p_{a1}, p_{a3})$$

$$q_a = \min(q_{a1}, q_{a2}, q_{a3})$$

ここで、

- | | |
|----------|-----------------------------|
| p_a | : 接着系アンカーボルトの許容引張力 |
| p_{a1} | : アンカーボルトの降伏により決まる許容引張力 |
| p_{a3} | : 付着力により決まる許容引張力 |
| q_a | : 接着系アンカーボルトの許容せん断力 |
| q_{a1} | : アンカーボルトのせん断強度により決まる許容せん断力 |
| q_{a2} | : 車体の支圧強度により決まる許容せん断力 |
| q_{a3} | : 車体のコーン破壊により決まる許容せん断力 |

表2.3.1-9 接着系アンカーボルトの許容耐力

| 箇所 | | シェル壁上端(F1、F2) | 南側外壁(F3) |
|------------|-------------------------|---------------|---------------------|
| 標高 | m | O.P.39.92 | O.P. 9.60～O.P.18.70 |
| 鋼材種類 | | M27 | D25 |
| | | SNR490B | SD345 |
| 埋め込み長さ | mm | 700 | 450 |
| アンカーボルトの間隔 | mm | 300 | 400 |
| 長期 | 許容引張力(p_{aL}) kN/本 | 58 | 51 |
| | 許容せん断力(q_{aL}) kN/本 | 53 | 58 |
| 短期 | 許容引張力(p_{aS}) kN/本 | 116 | 102 |
| | 許容せん断力(q_{aS}) kN/本 | 104 | 116 |

2) シェル壁上端位置の検討

燃料取扱機支持用架構とシェル壁との接合部の概要を図 2.3.1-4 に、作用応力と許容耐力を比較した結果を表 2.3.1-10 に示す。

検討の結果、全ての応力度比が 1 以下になることを確認した。

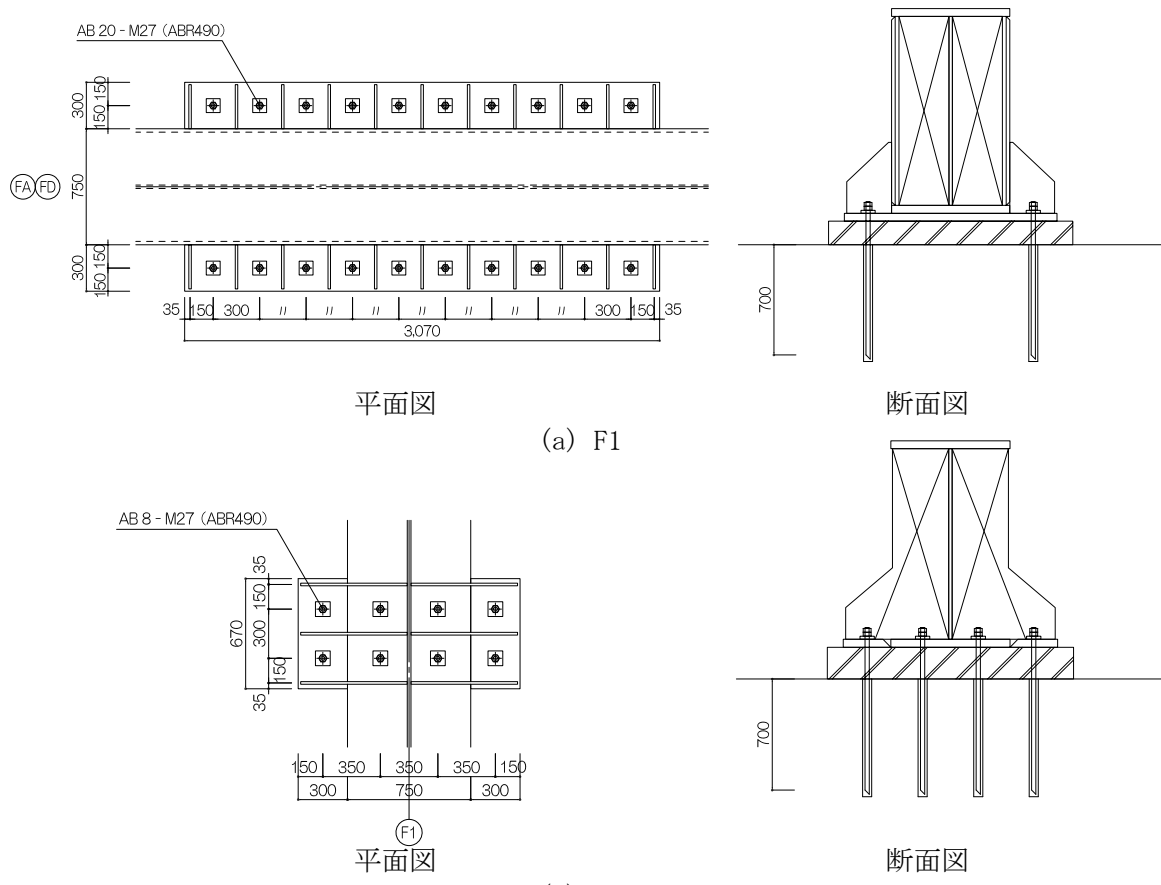


図 2.3.1-4 シェル壁上端位置の接合部概要 (単位 : mm)

表 2.3.1-10 シェル壁上端位置の検討結果

| 検討箇所 (アンカーボルト本数) ^{*1} | 荷重ケース (位置) ^{*2} | 作用応力 | | 許容耐力 | | 応力度比 | 判定 |
|-----------------------------------|-----------------------------|------------------|-------------------|---------------------------------|----------------------------------|------|----|
| | | 引抜力 P (kN) | せん断力 Q (kN) | 許容引張力 p _a (kN) | 許容せん断力 q _a (kN) | | |
| F1 (20) | C (B) | 0 | 41 | 1160 | 1060 | 0.04 | OK |
| | E2 (B) | 0 | 669 | 2320 | 2080 | 0.33 | OK |
| F2 (8) | C (A) | 0 | 10 | 464 | 424 | 0.03 | OK |
| | E3 (A) | 0 | 94 | 928 | 832 | 0.12 | OK |

*1 : 設計で考慮するアンカーボルトの本数

*2 : 燃料取扱機の位置を示す

3) 南側外壁位置の検討

燃料取扱機支持用架構と南側外壁との接合部の概要を図 2.3.1-5 に、作用応力と許容耐力を比較した結果を表 2.3.1-11 に示す。

検討の結果、全ての応力度比が 1 以下になることを確認した。

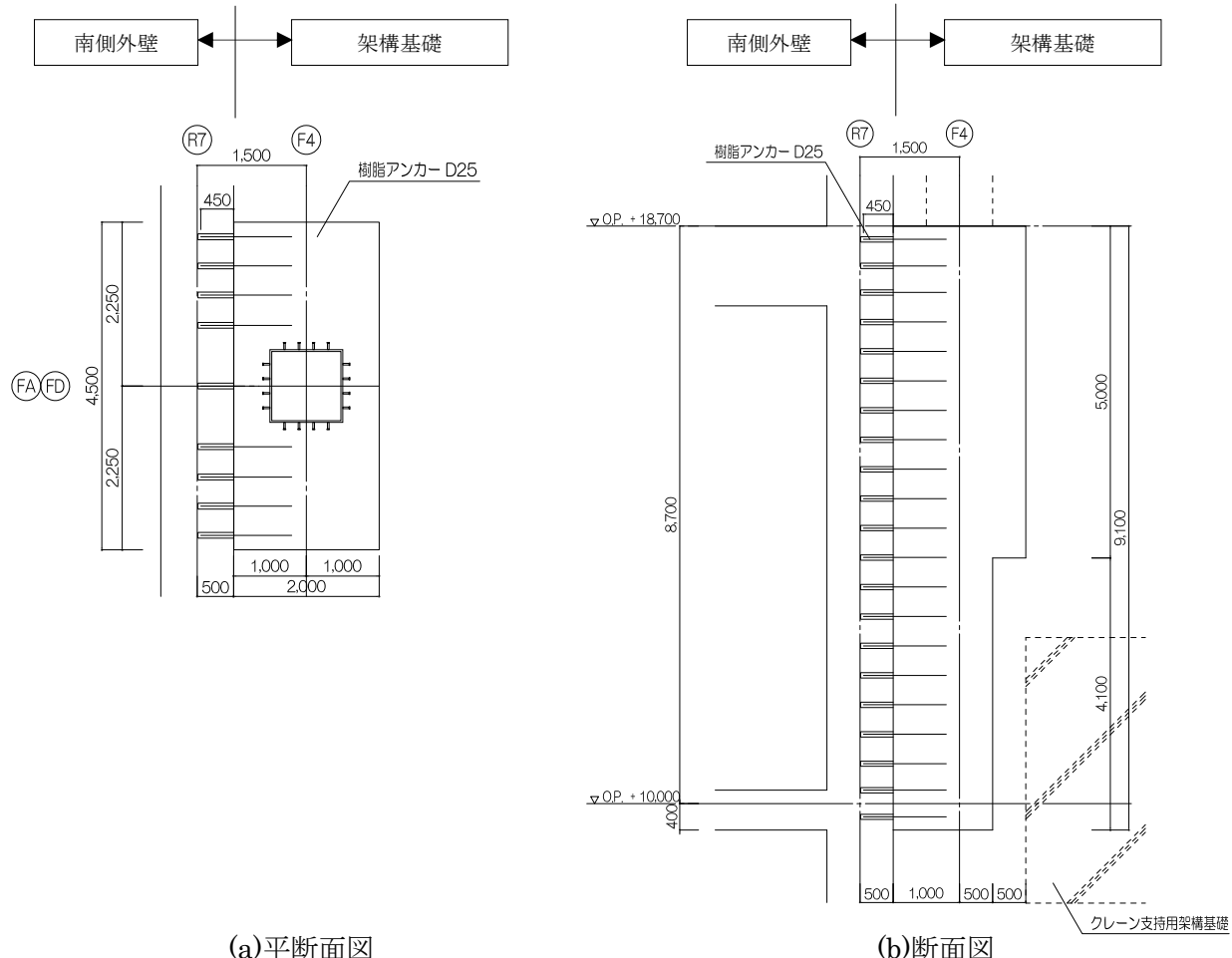


図 2.3.1-5 南側外壁位置の接合部概要 (単位 : mm)

表 2.3.1-11 南側外壁位置の検討結果

| 検討箇所 方向 (アンカーボルト本数) ^{*1} | 荷重ケース (位置) ^{*2} | 作用応力 | | 許容耐力 | | 応力度比 | 判定 |
|---|-----------------------------|------------------|-------------------|------------------------|-------------------------|------|----|
| | | 引抜力 P (kN) | せん断力 Q (kN) | 許容引張力 p_a (kN) | 許容せん断力 q_a (kN) | | |
| F3 NS 方向 (引張 24) (せん断 99) | C (A) | 552 | 2622 | 1224 | 5742 | 0.46 | OK |
| | E1 (A) | 951 | 2613 | 2448 | 11484 | 0.39 | OK |
| F3 EW 方向 (引張 15) (せん断 99) | C (A) | 24 | 2622 | 765 | 5742 | 0.46 | OK |
| | E3 (A) | 412 | 4049 | 1530 | 11484 | 0.36 | OK |

*1 : 設計で考慮するアンカーボルトの本数。アンカーボルトは引張に抵抗するものとせん断に抵抗するものをそれぞれ設定した

*2 : 燃料取扱機の位置を示す

(4) 原子炉建屋の構造強度に対する検討

1) 検討方針

原子炉建屋の構造強度の検討では、当該躯体建設時の設計用応力^{*1}に架構反力により生じる応力を重ね合わせた応力が、許容応力度以下になることを確認する。ここで、燃料取扱機支持用架構の重量が原子炉建屋に比較して十分に小さいことから、検討は地震時についてのみ実施する。検討対象部位は、架構反力を受けるシェル壁と南側外壁とする。なお、シェル壁については O.P. 18.70m より上部を検討対象とする。検討対象部位を図 2.3.1-6 に示す。

*1：原子炉建屋全体重量は、瓦礫撤去の効果（-39810kN）及び燃料取扱機支持用架構の新設（+6490kN）を考慮すると軽減傾向にあり、地震時応力は低減されるが、安全側の評価として建設時の設計用応力を用いる

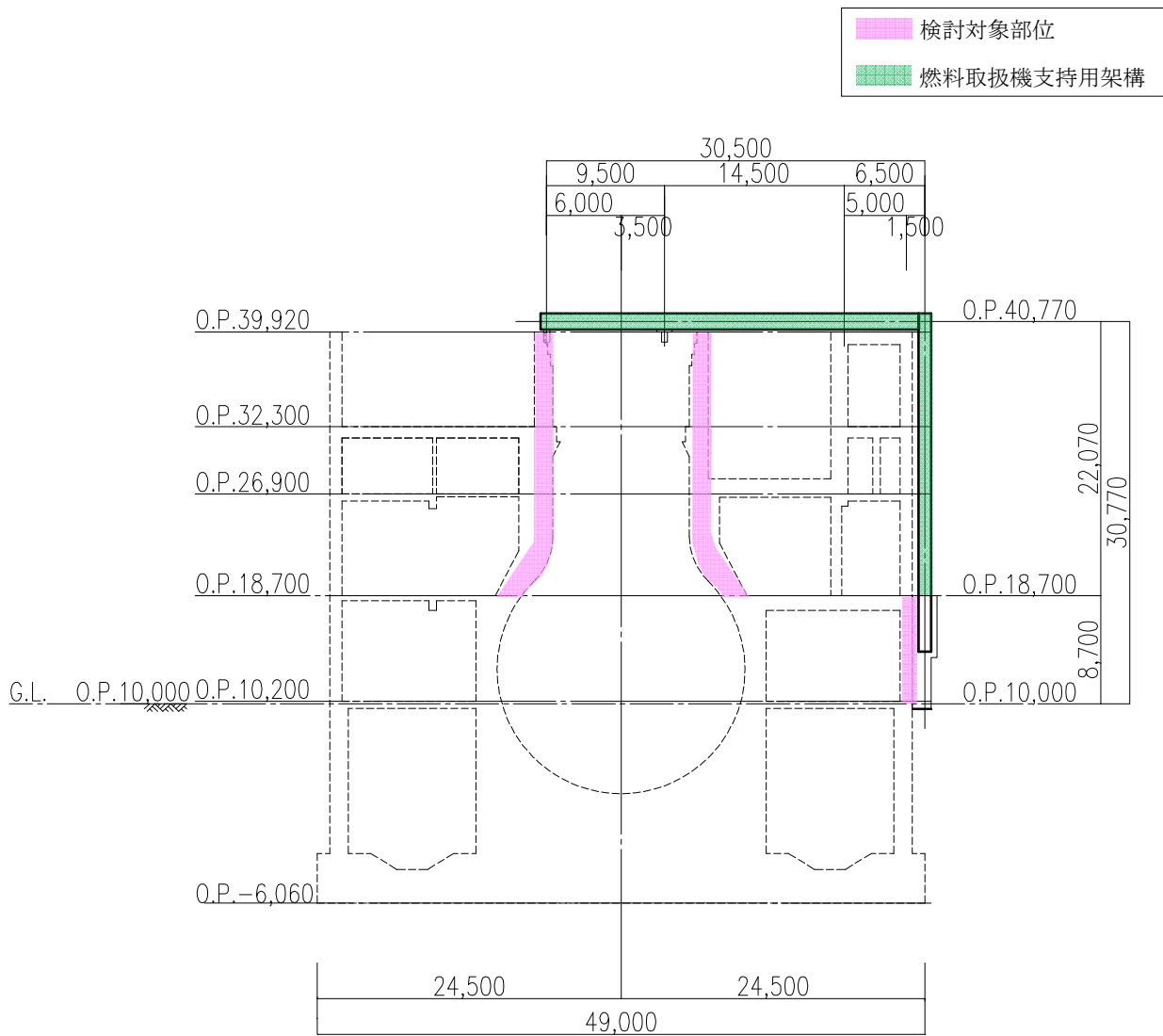


図 2.3.1-6 既存躯体の検討対象部位（単位 : mm）

2) 断面検討

軸力及び曲げモーメントに対する断面検討とせん断に対する断面検討は、「原子力施設鉄筋コンクリート構造計算規準・同解説」に従い、設計基準強度(22.1N/mm^2)を用いて行う。

シェル壁の軸力及び曲げモーメントに対する検討結果を表 2.3.1-12 に、せん断力に対する断面検討結果を表 2.3.1-13 に示す。南側外壁の面内方向に対する断面検討結果を表 2.3.1-14 に、面外方向に対する断面検討結果を表 2.3.1-15 に示す。

検討の結果、全ての応力度比が 1 以下になることを確認した。また、燃料取扱機支持用架構の反力により生じる応力は、建設時の設計用応力の 10%以下であることを確認した。

表 2.3.1-12 シェル壁の断面検討結果(1)
(軸力及び曲げモーメントに対する検討)

| 標高 O.P. (m) | コア壁厚 t (m) | 配筋 タテ筋 $a_t(\text{cm}^2/\text{m})$ $P_g(\%)$ | 鉄筋の 最大引張応力度 σ_t (N/mm^2) | コンクリートの 最大圧縮応力度 σ_c (N/mm^2) | 応力度比 σ_t/f_t | 判定 |
|-------------------|------------------|---|---|---|------------------------|----|
| 39.92～32.30 | 1.50 | $a_t=87.7$ $P_g=1.16$ | 58.1 | 2.0 | 0.17 | OK |
| 32.30～26.90 | 1.85 | $a_t=87.7$ $P_g=0.94$ | 80.1 | 3.4 | 0.24 | OK |
| 26.90～18.70 | 2.08 | $a_t=171.0$ $P_g=1.64$ | 64.3 | 3.7 | 0.19 | OK |

表 2.3.1-13 シェル壁の断面検討結果(2)
(せん断に対する検討)

| 標高 O.P. (m) | コア壁厚 t (m) | 配筋 上段:タテ筋 下段:ヨコ筋 $a_t(\text{cm}^2/\text{m})$ $P_g(\%)$ | 鉄筋の 最大引張応力度 σ_t (N/mm^2) | 応力度比 σ_t/f_t | 判定 |
|-------------------|------------------|--|---|------------------------|----|
| 39.92～32.30 | 1.50 | $a_t = 87.7$ $P_g = 1.16$ | 86.3 | 0.26 | OK |
| | | $a_t = 76.0$ $P_g = 1.01$ | 99.1 | 0.29 | OK |
| 32.30～26.90 | 1.85 | $a_t = 87.7$ $P_g = 0.94$ | 117.1 | 0.34 | OK |
| | | $a_t = 76.0$ $P_g = 0.82$ | 134.2 | 0.39 | OK |
| 26.90～18.70 | 2.08 | $a_t = 171.0$ $P_g = 1.64$ | 125.0 | 0.37 | OK |
| | | $a_t = 171.0$ $P_g = 1.64$ | 125.0 | 0.37 | OK |

表 2.3.1-14 南側外壁の断面検討結果(1)
(面内方向)

| 標高 O.P. (m) | 壁厚 t (m) | 配筋 上段:タテ筋 下段:ヨコ筋 P _g (%) | せん断 | 曲げモーメント | | 応力度比 σ_t/f_t | 判定 |
|---------------------|----------------|---|--|--|--|------------------------|----|
| | | | 鉄筋の 最大引張応力度 σ_t (N/mm ²) | 鉄筋の 最大引張応力度 σ_t (N/mm ²) | コンクリートの 最大圧縮応力度 σ_c (N/mm ²) | | |
| 18.70 ~ 10.20 | 1.00 | 2-D32@200 $P_g=0.79$ | 278.5 | 0.0 | 2.0 | 0.81 | OK |
| | | 2-D32@200 $P_g=0.79$ | | | | | |

表 2.3.1-15 南側外壁の断面検討結果(2)
(面外方向)

| 標高 O.P. (m) | 壁厚 t (m) | 配筋 タテ筋 P _g (%) | せん断 | | | 曲げモーメント | | | 判定 |
|---------------------|----------------|--|---|--------------------------|----|--|--|----------------------------|----|
| | | | コンクリートの最大 せん断応力度 τ_s (N/mm ²) | 応力 度比 τ_s/f_s | 判定 | 鉄筋の最大 引張応力度 σ_t (N/mm ²) | コンクリートの最大 圧縮応力度 σ_c (N/mm ²) | 応力 度比 σ_t/f_t | |
| 18.70 ~ 10.20 | 1.00 | 2-D32@200 $P_g=0.79$ | 0.1 | 0.10 | OK | 110.8 | 2.1 | 0.33 | OK |

2.3.2 耐震性

(1) 検討方針

耐震性の検討は、燃料取扱機支持用架構、原子炉建屋接合部及び原子炉建屋の健全性について行い、基準地震動 S_s に対して燃料取扱機支持用架構及び原子炉建屋の応答性状を適切に表現できる地震応答解析を用いて評価する。

(2) 原子炉建屋の地震応答解析

1) 解析に用いる入力地震動

検討用地震動は、「福島第一原子力発電所『発電用原子炉施設に関する耐震設計審査指針』の改訂に伴う耐震安全性評価結果 中間報告書」（平成 20 年 3 月 31 日 東京電力株式会社）にて作成した解放基盤表面に定義される基準地震動 S_s （図 2.2.2-2(1) 及び図 2.2.2-2(2) 参照）を用いる。

地震応答解析に用いる入力地震動の概念図を図 2.3.2-1 に示す。モデルに入力する地震動は一次元波動論に基づき、解放基盤表面に定義される基準地震動 S_s に対する地盤の応答として評価する。

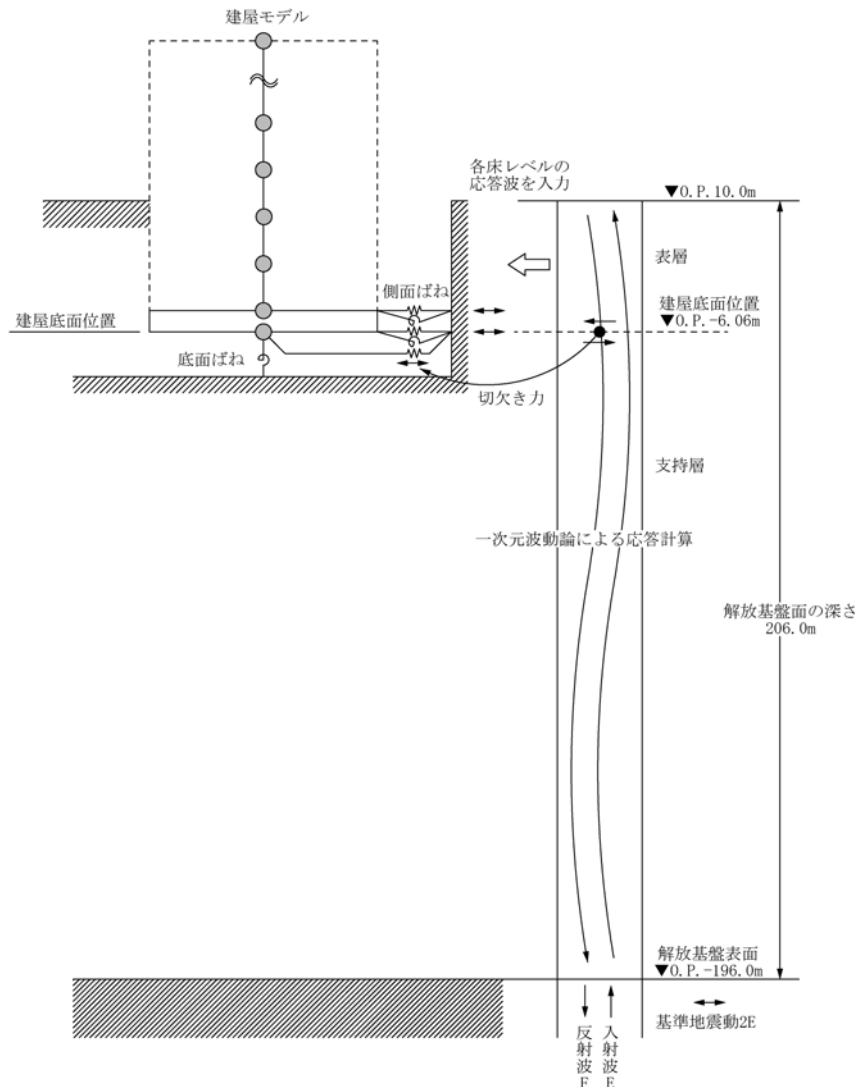


図 2.3.2-1 地震応答解析に用いる入力地震動の概念図

2) 地震応答解析モデル

原子炉建屋の地震応答解析モデルは、図 2.3.2-2 に示すように質点系でモデル化し、地盤を等価なばねで評価した建屋－地盤連成系モデルとする。

地震応答解析モデルの諸元は、「福島第一原子力発電所の原子炉建屋の現状の耐震安全性および補強等に関する検討に係る報告書（その 1）」（平成 23 年 5 月 28 日 東京電力株式会社）に示される内容に、使用済燃料プール底部の支持構造物の設置工事、瓦礫撤去及び新規に設置する燃料取扱機支持用架構の重量を考慮した。解析諸元を表 2.3.2-1(1) 及び表 2.3.2-1(2) に示す。

地盤定数は、水平成層地盤と仮定し地震時のせん断ひずみレベルを考慮して定めた。地盤定数の設定結果を表 2.3.2-2 に示す。基礎底面の地盤ばねについては、「JEAG 4601-1991」に示されている手法を参考にして、地盤を成層補正し振動アドミッタンス理論によりスウェイ及びロッキングばねを評価した。

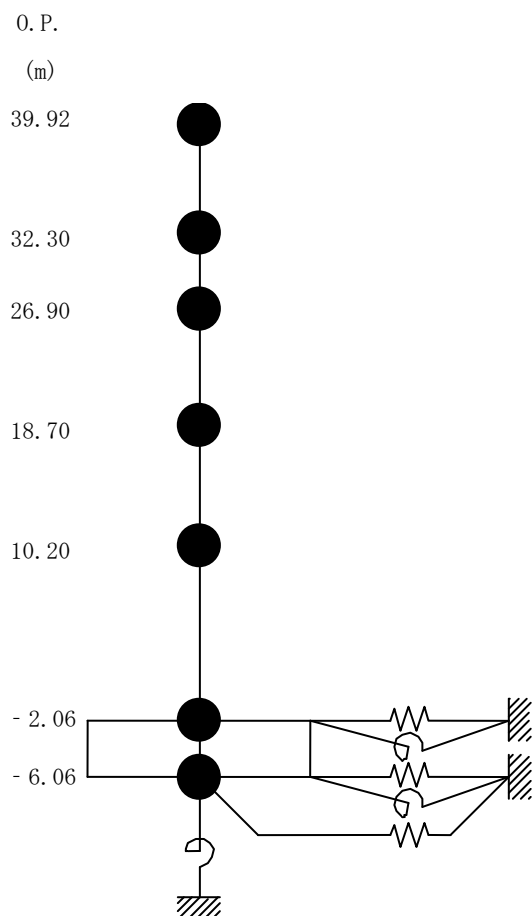


図 2.3.2-2 原子炉建屋の地震応答解析モデル

表 2.3.2-1(1) 原子炉建屋の地震応答解析モデルの諸元

(a) 水平 (NS) 方向

| 標高 O.P. (m) | 質点重量 W (kN) | 回転慣性重量 $I_G (\times 10^5 \text{ kN}\cdot\text{m}^2)$ | せん断断面積 As (m^2) | 断面二次モーメント I (m^4) |
|----------------|----------------|---|--|--|
| 39.92 | 77700 | 141.73 | | |
| 32.30 | 88770 | 163.44 | 150.8 | 13068 |
| 26.90 | 122210 | 224.92 | 103.4 | 15942 |
| 18.70 | 127700 | 244.14 | 223.4 | 45026 |
| 10.20 | 208960 | 391.33 | 175.4 | 46774 |
| -2.06 | 287050 | 574.38 | 460.4 | 114194 |
| -6.06 | 132390 | 264.88 | 2812.6 | 562754 |
| 合計 | 1044780 | | ヤング係数 Ec せん断弾性係数 G ポアソン比 ν 減衰 h | $2.57 \times 10^7 (\text{kN}/\text{m}^2)$ $1.07 \times 10^7 (\text{kN}/\text{m}^2)$ 0.20 5% |

(b) 水平 (EW) 方向

| 標高 O.P. (m) | 質点重量 W (kN) | 回転慣性重量 $I_G (\times 10^5 \text{ kN}\cdot\text{m}^2)$ | せん断断面積 As (m^2) | 断面二次モーメント I (m^4) |
|----------------|----------------|---|--|--|
| 39.92 | 77700 | 78.78 | | |
| 32.30 | 88770 | 91.66 | 90.4 | 6491 |
| 26.90 | 122210 | 224.92 | 105.8 | 6388 |
| 18.70 | 127700 | 232.88 | 167.5 | 32815 |
| 10.20 | 208960 | 570.57 | 166.4 | 46303 |
| -2.06 | 287050 | 828.96 | 424.5 | 136323 |
| -6.06 | 132390 | 346.27 | 2812.6 | 772237 |
| 合計 | 1044780 | | ヤング係数 Ec せん断弾性係数 G ポアソン比 ν 減衰 h | $2.57 \times 10^7 (\text{kN}/\text{m}^2)$ $1.07 \times 10^7 (\text{kN}/\text{m}^2)$ 0.20 5% |

表 2.3.2-1(2) 原子炉建屋の地震応答解析モデルの諸元
(鉛直方向)

| 標高 O.P. (m) | 質点重量 W (kN) | 軸断面積 A _N (m ²) | 軸ばね剛性 K _A ($\times 10^8$ kN /m ²) |
|----------------|----------------|--|--|
| 39.92 | 77700 | 222.6 | 7.41 |
| 32.30 | | 218.1 | 10.58 |
| 26.90 | 122210 | 380.4 | 11.92 |
| 18.70 | | 340.6 | 10.30 |
| 10.20 | 208960 | 654.7 | 13.72 |
| -2.06 | | 2812.6 | 180.71 |
| -6.06 | 132390 | | |
| 合計 | 1044780 | ヤング係数 E _C せん断弾性係数 G ボアソン比 ν 減衰 h | 2.57×10^7 (kN/m ²) 1.07×10^7 (kN/m ²) 0.20 5% |

表 2.3.2-2 地盤定数の設定結果

(a) Ss-1

| 標高 O.P. (m) | 地質 | せん断波 速度 Vs (m/s) | 単位体積 重量 γ (kN/m ³) | ボアソン 比 ν | せん断 弾性係数 G ($\times 10^5$ kN/m ²) | 初期せん断 弾性係数 G_0 ($\times 10^5$ kN/m ²) | 剛性 低下率 G/G_0 | ヤング 係数 E ($\times 10^5$ kN/m ²) | 減衰 定数 h (%) | 層厚 H (m) |
|-------------------|----------|---------------------------|--|--------------------|---|---|----------------------|---|----------------------|----------------|
| 10.0 | 砂岩 泥岩 | 380 | 17.8 | 0.473 | 2.23 | 2.62 | 0.85 | 6.57 | 3 | 8.1 |
| 1.9 | | 450 | 16.5 | 0.464 | 2.66 | 3.41 | 0.78 | 7.79 | 3 | 11.9 |
| -10.0 | | 500 | 17.1 | 0.455 | 3.40 | 4.36 | 0.78 | 9.89 | 3 | 70.0 |
| -80.0 | | 560 | 17.6 | 0.446 | 4.39 | 5.63 | 0.78 | 12.70 | 3 | 28.0 |
| -108.0 | | 600 | 17.8 | 0.442 | 5.09 | 6.53 | 0.78 | 14.68 | 3 | 88.0 |
| -196.0 | | (解放基盤) | 700 | 18.5 | 0.421 | 9.24 | 9.24 | 1.00 | 26.26 | - |
| | | | | | | | | | | |

(b) Ss-2

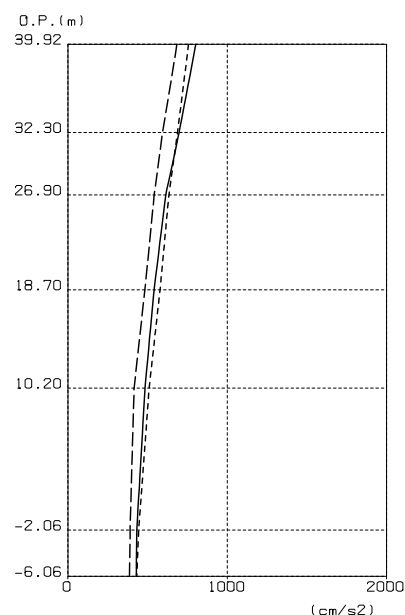
| 標高 O.P. (m) | 地質 | せん断波 速度 Vs (m/s) | 単位体積 重量 γ (kN/m ³) | ボアソン 比 ν | せん断 弾性係数 G ($\times 10^5$ kN/m ²) | 初期せん断 弾性係数 G_0 ($\times 10^5$ kN/m ²) | 剛性 低下率 G/G_0 | ヤング 係数 E ($\times 10^5$ kN/m ²) | 減衰 定数 h (%) | 層厚 H (m) |
|-------------------|----------|---------------------------|--|--------------------|---|---|----------------------|---|----------------------|----------------|
| 10.0 | 砂岩 泥岩 | 380 | 17.8 | 0.473 | 2.23 | 2.62 | 0.85 | 6.57 | 3 | 8.1 |
| 1.9 | | 450 | 16.5 | 0.464 | 2.76 | 3.41 | 0.81 | 8.08 | 3 | 11.9 |
| -10.0 | | 500 | 17.1 | 0.455 | 3.53 | 4.36 | 0.81 | 10.27 | 3 | 70.0 |
| -80.0 | | 560 | 17.6 | 0.446 | 4.56 | 5.63 | 0.81 | 13.19 | 3 | 28.0 |
| -108.0 | | 600 | 17.8 | 0.442 | 5.29 | 6.53 | 0.81 | 15.26 | 3 | 88.0 |
| -196.0 | | (解放基盤) | 700 | 18.5 | 0.421 | 9.24 | 9.24 | 1.00 | 26.26 | - |
| | | | | | | | | | | |

(c) Ss-3

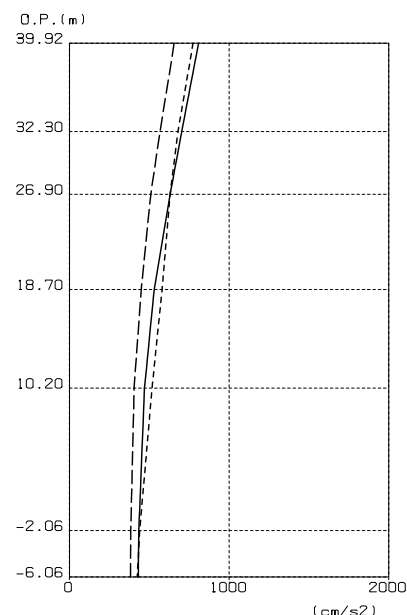
| 標高 O.P. (m) | 地質 | せん断波 速度 Vs (m/s) | 単位体積 重量 γ (kN/m ³) | ボアソン 比 ν | せん断 弾性係数 G ($\times 10^5$ kN/m ²) | 初期せん断 弾性係数 G_0 ($\times 10^5$ kN/m ²) | 剛性 低下率 G/G_0 | ヤング 係数 E ($\times 10^5$ kN/m ²) | 減衰 定数 h (%) | 層厚 H (m) |
|-------------------|----------|---------------------------|--|--------------------|---|---|----------------------|---|----------------------|----------------|
| 10.0 | 砂岩 泥岩 | 380 | 17.8 | 0.473 | 2.25 | 2.62 | 0.86 | 6.63 | 3 | 8.1 |
| 1.9 | | 450 | 16.5 | 0.464 | 2.66 | 3.41 | 0.78 | 7.79 | 3 | 11.9 |
| -10.0 | | 500 | 17.1 | 0.455 | 3.40 | 4.36 | 0.78 | 9.89 | 3 | 70.0 |
| -80.0 | | 560 | 17.6 | 0.446 | 4.39 | 5.63 | 0.78 | 12.70 | 3 | 28.0 |
| -108.0 | | 600 | 17.8 | 0.442 | 5.09 | 6.53 | 0.78 | 14.68 | 3 | 88.0 |
| -196.0 | | (解放基盤) | 700 | 18.5 | 0.421 | 9.24 | 9.24 | 1.00 | 26.26 | - |
| | | | | | | | | | | |

3) 地震応答解析結果

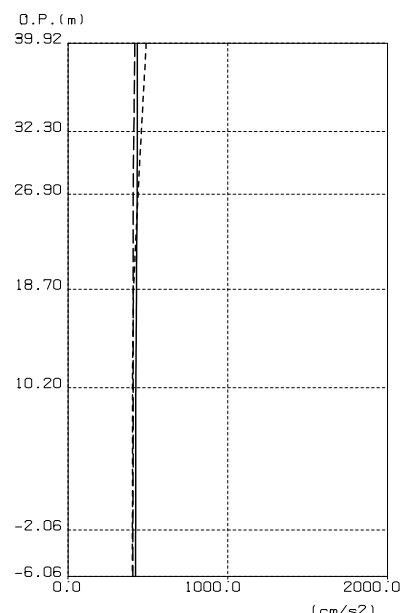
地震応答解析は水平方向と鉛直方向を別々に入力した。最大応答加速度分布を図 2.3.2-3 に示す。



(a) 水平 (NS) 方向



(b) 水平 (EW) 方向



(c) 鉛直方向

図 2.3.2-3 原子炉建屋の最大応答加速度分布

(3) 架構の耐震性に対する検討

1) 解析に用いる入力地震動

燃料取扱機支持用架構への入力地震動は、基準地震動 S_s を入力したときの原子炉建屋 O.P. 39.92m と O.P. 18.70m の時刻歴応答変位を用い、水平方向と鉛直方向の同時入力とする。

2) 地震応答解析モデル

地震応答解析に用いる入力地震動の概念と燃料取扱機支持用架構の解析モデルを図 2.3.2-4 に、層間変形角が最大となる燃料取扱機を南端に設置した場合の地震応答解析モデルにおける質点重量を表 2.3.2-3 に示す。

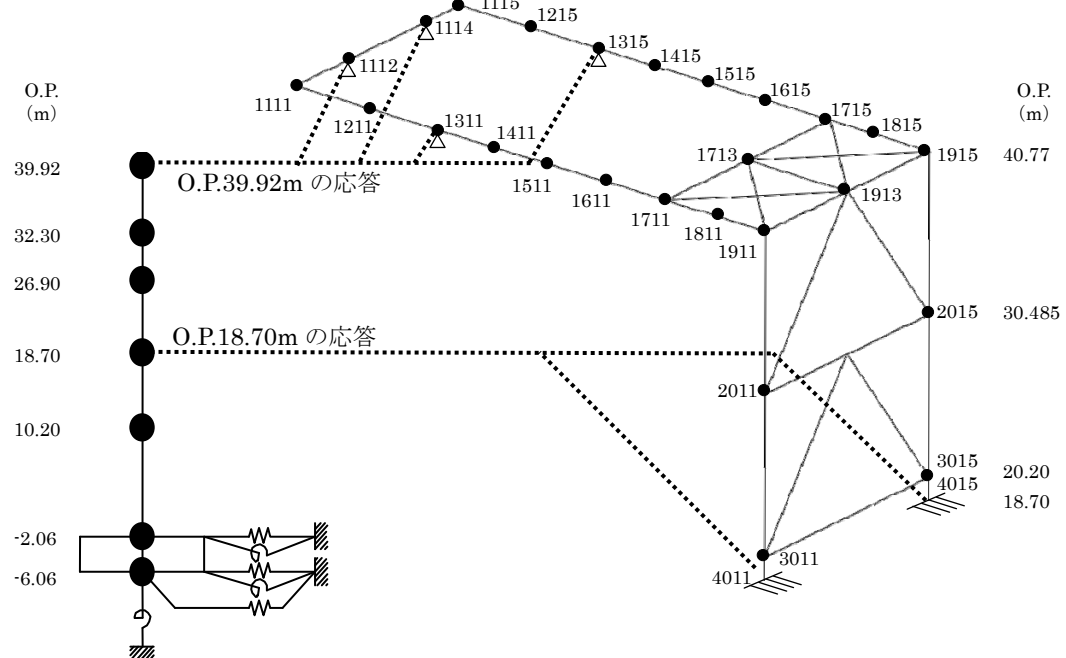


図 2.3.2-4 燃料取扱機支持用架構の地震応答解析モデル

表 2.3.2-3 燃料取扱機支持用架構の地震応答解析モデルにおける質点重量

| 標高 O.P.(m) | 節点番号 | 質点重量 (kN) |
|---------------|------|--------------|
| 40.77 | 1111 | 57 |
| | 1211 | 89 |
| | 1311 | 79 |
| | 1411 | 68 |
| | 1511 | 68 |
| | 1611 | 68 |
| | 1711 | 78 |
| | 1811 | 62 |
| | 1911 | 97 |
| | 1115 | 57 |
| | 1215 | 89 |
| | 1315 | 79 |
| | 1415 | 68 |
| | 1515 | 68 |
| | 1615 | 68 |
| | 1715 | 78 |
| | 1815 | 62 |
| | 1915 | 97 |
| | 1112 | 46 |
| | 1114 | 46 |
| | 1713 | 37 |
| | 1913 | 94 |
| 30.485 | 9001 | 49 |
| | 9002 | 49 |
| | 9003 | 49 |
| | 9004 | 49 |
| | 9501 | 184 |
| | 9502 | 184 |
| 20.20 | 9601 | 184 |
| | 9602 | 184 |
| | 2011 | 149 |
| | 2015 | 149 |
| | 3011 | 94 |
| | 3015 | 94 |
| 合 計 | | 2973 |

3) 波及的影響の評価

地震応答解析結果が、JSCA 性能メニュー（社団法人日本建築構造技術者協会、2002 年）を参考に定めたクライテリア（「層間変形角は 1/75 以下、層の塑性率は 4 以下、部材の塑性率は 5 以下」*1 及びせん断力はせん断耐力以下）を満足することを確認する。

なお、解析結果が「時刻歴応答解析建築物性能評価業務方法書」（財団法人日本建築センター、平成 19 年 7 月 20 日）に示されるクライテリア（層間変形角は 1/100 以下、層の塑性率は 2 以下、部材の塑性率は 4 以下）を超える場合には水平変形に伴う鉛直荷重の付加的影響を考慮した解析を実施し、安全性を確認する。

*1：北村春幸、宮内洋二、浦本弥樹「性能設計における耐震性能判断基準値に関する研究」、日本建築学会構造系論文集、第 604 号、2006 年 6 月

・層間変形角の検討

燃料取扱機支持用架構の層間変形角を表 2.3.2-4 に示す。

検討の結果、層間変形角は 1/75 以下となりクライテリアを満足することを確認した。

表 2.3.2-4 層間変形角の検討結果

| 標高 O.P. (m) | 最大応答値 | | | | | | クライテリア | 判定 | | |
|-------------------|----------|---------|---------|----------|--------|--------|--------|----|--|--|
| | NS 方向入力時 | | | EW 方向入力時 | | | | | | |
| | Ss-1 | Ss-2 | Ss-3 | Ss-1 | Ss-2 | Ss-3 | | | | |
| 30.485～40.77 | 1/10285 | 1/10285 | 1/34283 | 1/1686 | 1/2057 | 1/2706 | 1/75 | OK | | |
| 18.70～30.485 | 1/1061 | 1/1309 | 1/1419 | 1/1733 | 1/2104 | 1/2805 | | | | |

・塑性率の検討

部材の塑性率は、最大応答曲げモーメント時の曲率を全塑性モーメントに至る時の曲率で除した値で表される。最大曲げモーメントが全塑性モーメント以下の場合は弾性であり塑性率は 1 以下となる。最大応答値を全塑性モーメントまたはせん断耐力で除した値を耐力比と定義し、表 2.3.2-5 に検討結果を示す。

表 2.3.2-5 より曲げモーメント及びせん断力については、全てのケースで耐力比が 1 を下回ることから塑性率は 1 以下となり、クライテリアを満足することを確認した。

表 2.3.2-5 耐力比の検討結果

| 部位 | 検討箇所 | 部材形状 (mm) | 地震波 | 入力方向 | 耐力比 | | 判定 |
|------|------|---|------|------|--------|------|----|
| 柱 | C1 | $\square\text{-}1000 \times 1000 \times 25 \times 25$ | Ss-1 | NS | Mz/Muz | 0.01 | OK |
| | | | | | My/Muy | 0.10 | |
| | | | | | Qz/Quz | 0.03 | |
| | | | | | Qy/Quy | 0.01 | |
| 梁 | G1 | $B\square\text{-}1300 \times 750 \times 22 \times 50$ | Ss-1 | EW | Mz/Muz | 0.13 | OK |
| | | | | | My/Muy | 0.06 | |
| | | | | | Qz/Quz | 0.02 | |
| | | | | | Qy/Quy | 0.10 | |
| プレース | V1 | $\square\text{-}450 \times 450 \times 22$ | Ss-1 | EW | Mz/Muz | 0.02 | OK |
| | | | | | My/Muy | 0.02 | |
| | | | | | Qz/Quz | 0.01 | |
| | | | | | Qy/Quy | 0.01 | |

M_z : 部材 z 軸回りの曲げモーメントの最大値

M_y : 部材 y 軸回りの曲げモーメントの最大値

Q_z : 部材 z 方向のせん断力の最大値

Q_y : 部材 y 方向のせん断力の最大値

M_{uz} : 部材 z 軸回りの全塑性モーメント

M_{uy} : 部材 y 軸回りの全塑性モーメント

Q_{uz} : 部材 z 軸方向のせん断耐力

Q_{uy} : 部材 y 軸方向のせん断耐力

(4) 原子炉建屋接合部の耐震性に対する検討

接着系アンカーボルトの耐震性の検討は、短期許容引張力及び短期許容せん断力を許容耐力とし、応力度比が1以下になることを確認する。

1) シェル壁上端位置の検討

作用応力と許容耐力を比較した結果を表2.3.2-6に示す。

検討の結果、全ての応力度比が1以下になることを確認した。

表2.3.2-6 シェル壁上端位置の検討結果

| 検討箇所 (アンカーボルト本数) ^{*1} | 地震波 | 入力 方向 | 作用応力 | | 許容耐力 | | 応力度比 | 判定 |
|-----------------------------------|------|----------|------------------|-------------------|---------------------------------------|--|------|----|
| | | | 引抜力 P (kN) | せん断力 Q (kN) | 短期 許容引張力 p _a (kN) | 短期 許容せん断力 q _a (kN) | | |
| F1 (20) | Ss-1 | NS | 0 | 1105 | 2320 | 2080 | 0.54 | OK |
| F2 (8) | Ss-1 | EW | 104 | 168 | 928 | 832 | 0.21 | OK |

*1：設計で考慮するアンカーボルトの本数

2) 南側外壁位置の検討

作用応力と許容耐力を比較した結果を表2.3.2-7に示す。

検討の結果、全ての応力度比が1以下になることを確認した。

表2.3.2-7 南側外壁位置の検討結果

| 検討箇所 方向 (アンカーボルト本数) ^{*1} | 地震波 | 入力 方向 | 作用応力 | | 許容耐力 | | 応力度比 | 判定 |
|---|------|----------|------------------|-------------------|---------------------------------------|--|------|----|
| | | | 引抜力 P (kN) | せん断力 Q (kN) | 短期 許容引張力 p _a (kN) | 短期 許容せん断力 q _a (kN) | | |
| F3 NS 方向 (引張 24) (せん断 99) | Ss-1 | NS | 1568 | 3214 | 2448 | 11484 | 0.65 | OK |
| F3 EW 方向 (引張 15) (せん断 99) | Ss-1 | EW | 863 | 5793 | 1530 | 11484 | 0.57 | OK |

*1：設計で考慮するアンカーボルトの本数。アンカーボルトは引張に抵抗するものとせん断に抵抗するものをそれぞれ設定した

(5) 原子炉建屋の耐震性に対する検討

1) 検討方針

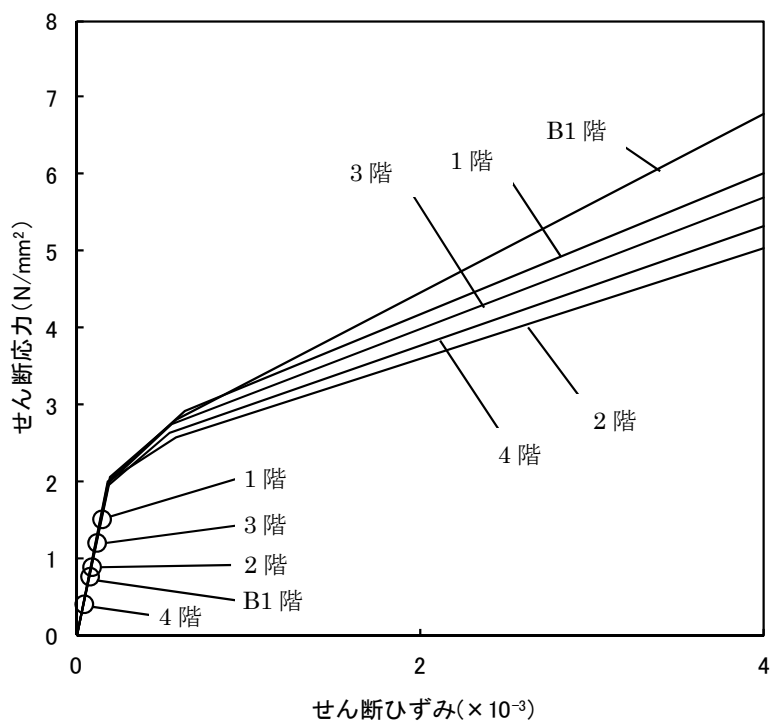
燃料取扱機支持用架構の設置に伴う原子炉建屋の耐震性の評価は、耐震安全上重要な設備への波及的影響防止の観点から、地震応答解析により得られる耐震壁のせん断ひずみが鉄筋コンクリート造耐震壁の終局限界に対応した評価基準値 (4.0×10^{-3}) 以下になることを確認する。

ここで、耐震壁のせん断ひずみは、「(2)原子炉建屋の地震応答解析」で実施した地震応答解析結果の値とする。

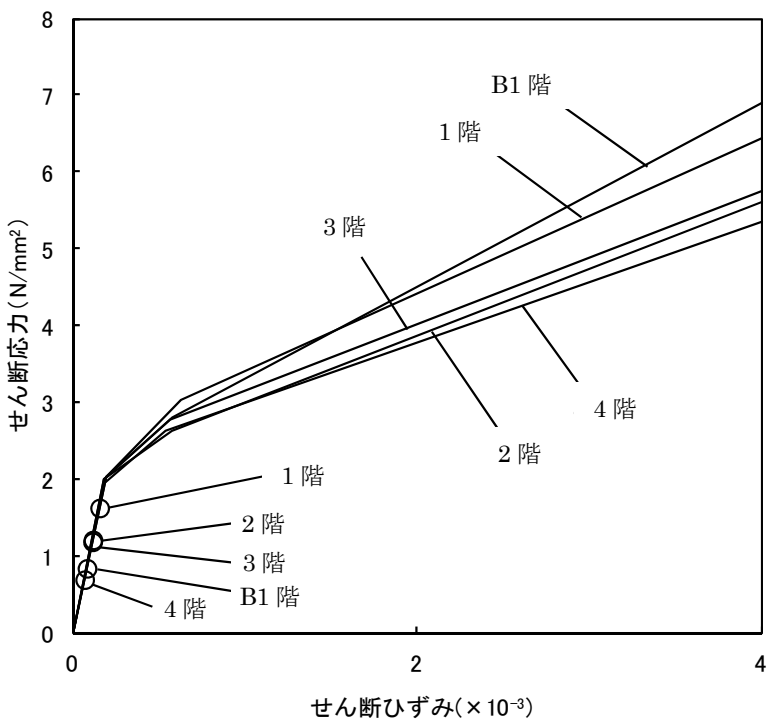
2) 検討結果

基準地震動 Ss に対する最大応答値を、「JEAG 4601-1991」に基づき設定した耐震壁のせん断スケルトン曲線上にプロットした結果を、図 2.3.2-5 から図 2.3.2-7 に示す。

検討の結果、地震応答解析により得られる最大応答値は、評価基準値 (4.0×10^{-3}) に対して十分に余裕があることを確認した。



(a) NS 方向



(b) EW 方向

図 2.3.2-5 せん断スケルトン曲線上の最大応答値 (Ss-1)

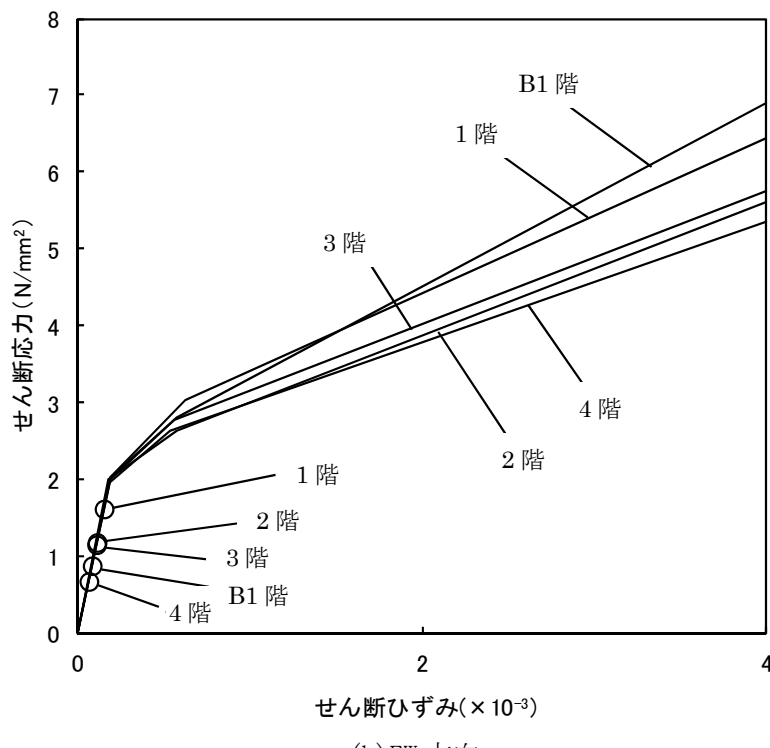
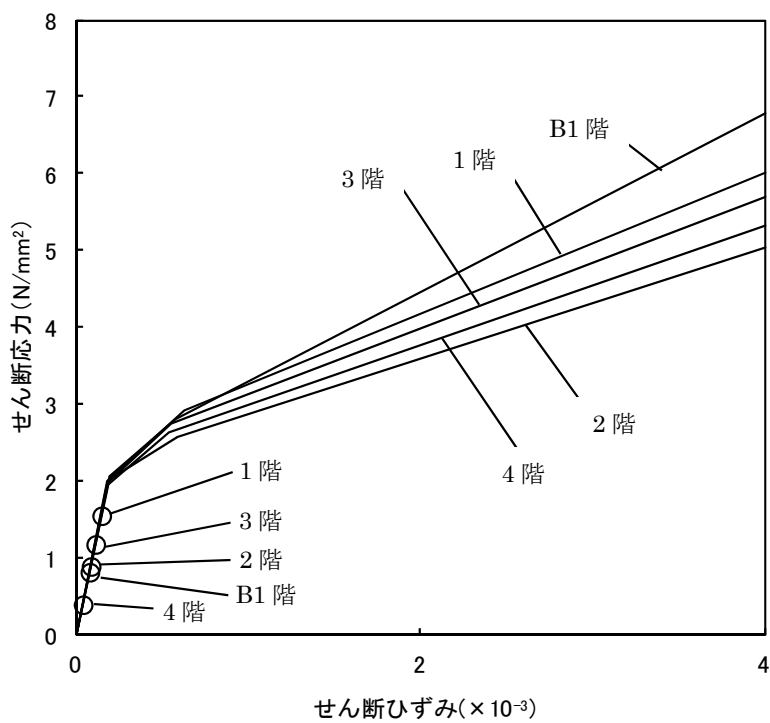
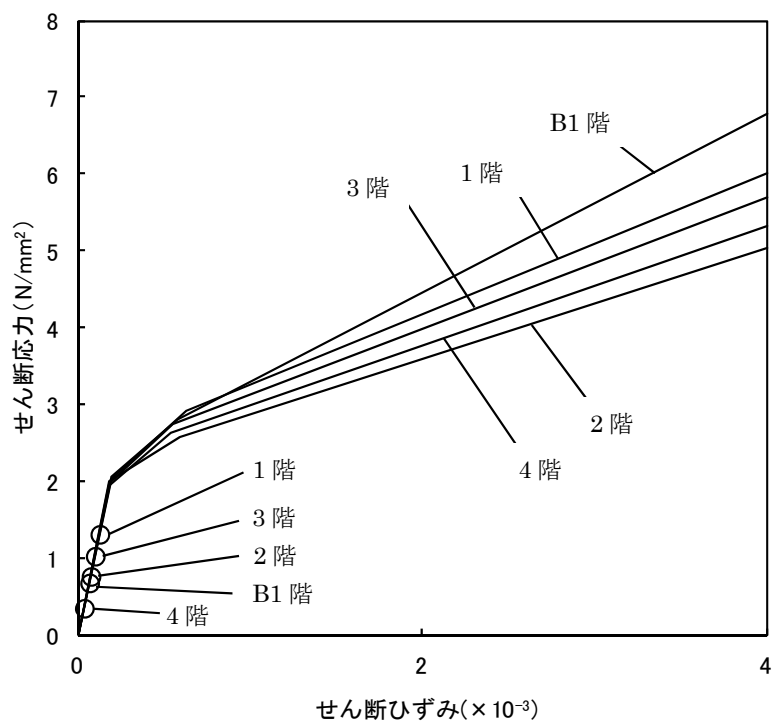
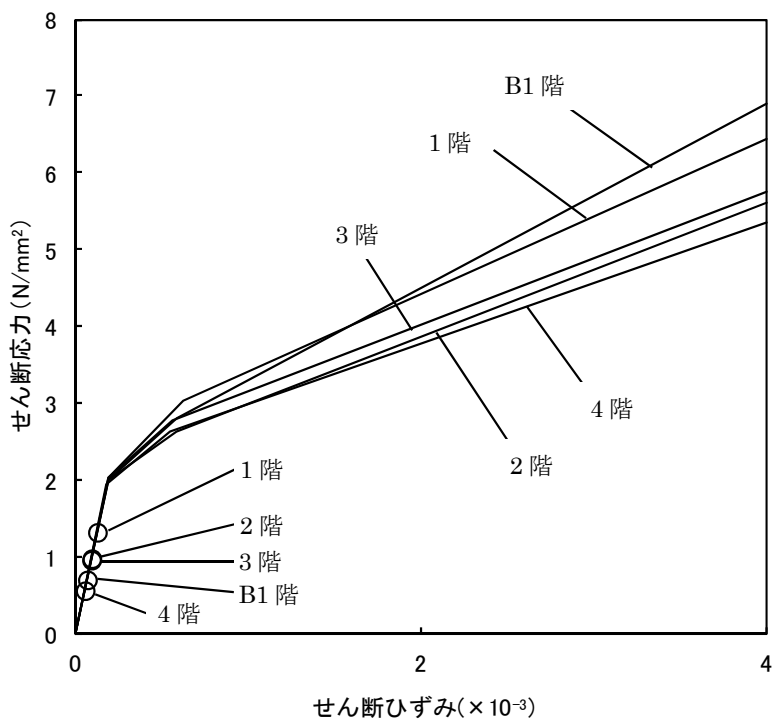


図 2.3.2-6 せん断スケルトン曲線上の最大応答値 (Ss-2)



(a) NS 方向



(b) EW 方向

図 2.3.2-7 せん断スケルトン曲線上の最大応答値 (Ss-3)

放射性物質の飛散・拡散を防止するための機能に関する説明書（第4号機）

1. 本説明書の記載範囲

本説明書は、第4号機燃料取り出し用カバーの放射性物質の飛散・拡散を防止する機能について記載するものである。

なお、第3号機については、現地工事開始前までに報告を行い、確認を受けることとする。

2. 燃料取り出し用カバーについて

(1) 概要

燃料取り出し用カバーは、作業に支障が生じることのないよう作業に必要な範囲をカバーし、風雨を遮る構造とする。また、使用済燃料プール内がれき撤去時の放射性物質の舞い上がり、燃料取り出し作業に伴い建屋等に付着した放射性物質の舞い上がりによる大気放出を抑制するため、燃料取り出し用カバーは隙間を低減した構造とともに、換気設備を設け、排気はフィルタユニットを通じて外部へ放送出する。また、現在、発電所敷地内でよう素（I-131）は検出されていないことから、フィルタユニットは、発電所敷地内等で検出されているセシウム（Cs-134, 137）の大気への放出が低減できる設計とする。

なお、添付資料-4-1「移送操作中の燃料集合体の落下」の評価に示す通り、大気への放出低減効果が無い条件においても、周辺公衆に対し、著しい放射線被ばくのリスクを与えることのない結果となっている。

(2) 燃料取り出し用カバー

燃料取り出し用カバーの大きさは、約69m（南北）×約31m（東西）×約53m（地上高）である。主体構造は鉄骨造であり、壁面および屋根面は風雨を遮る外装材で覆う計画である。屋根面および壁面上部には勾配を設けて、雨水の浸入を防止する構造とする。

（図-1 燃料取り出し用カバー概略図参照）

(3) 換気設備

a. 系統構成

換気設備は、燃料取り出し用カバー内気体を吸引し、排気ダクトを経由して燃料取り出し用カバーの外部に設置した排気フィルタユニットへ導く。排気フィルタユニットは、プレフィルタ、高性能粒子フィルタ、排風機等で構成され、各フィルタで放射性物質を捕集した後の気体を吹上用排気ダクトから大気へ放送出する。

排気フィルタユニットは、換気風量約25,000m³/hのユニットを3系列（うち1系列は予備）設置し、約50,000m³/hの換気風量で運転する。

また、燃料取り出し用カバー内の放射性物質や吹上用排気ダクトから大気に放出される放射性物質の濃度を測定するため、放射性物質濃度測定器を排気フィルタユニット

トの出入口に設置する。(図-2 燃料取り出し用カバー換気設備概略構成図、図-3 燃料取り出し用カバー換気設備配置図、図-4 燃料取り出し用カバー換気設備系統図参照)

燃料取り出し用カバー換気設備の電源は、各々異なるMCCより受電する。MCCは異なるM/Cから受電することとし、独立性を有する電源構成とする。また、M/Cへの給電は複数の外部電源から行い、外部電源喪失時にはD/G (A) (平成24年3月復旧済み) 及びD/G (B) (平成24年12月復旧予定) から受電可能とするものとし、多重性、多様化を有する設計としている。(図-5 燃料取り出し用カバー電源系統図参照)

なお、第4号機での燃料取り出し作業は、有人での作業を計画していることから、燃料取り出し用カバー内の放射性物質濃度の低減のため、給気フィルタユニットを有する構造とする。給気フィルタユニットは、プレフィルタ、送風機、高性能粒子フィルタ等で構成され、各フィルタで放射性物質を捕集した後の気体を燃料取り出し用カバー内へ放出する。

給気フィルタユニットは、換気風量約25,000m³/hのユニットを3系列(うち1系列は予備)設置し、約50,000m³/hの換気風量で運転する。

燃料取り出し用カバー内の過度の放射性レベルを検出した場合に、それを放射線業務従事者に伝えるために設置するエリアモニタについては、添付資料-1-3「放射線モニタリングに関する説明書」として報告することとしており、現地工事開始前までに報告を行い、確認を受けることとする。

表1 換気設備構成

| 設備名 | 構成・配置等 |
|------------|--|
| 給気フィルタユニット | 配置：原子炉建屋南側の屋外に3系列(うち予備1系列)設置 構成：プレフィルタ 送風機 高性能粒子フィルタ(効率97%(粒径0.3μm)以上) フィルタ線量計(高性能粒子フィルタに設置) フィルタ差圧計(プレフィルタ、高性能粒子フィルタに設置) |
| 給気吹出口 | 配置：カバー内の側部に設置 |
| 排気吸込口 | 配置：カバー内の天井部に設置 |

| 設備名 | 構成・配置等 |
|------------|--|
| 排気フィルタユニット | 配置：原子炉建屋南側の屋外に3系列（うち予備1系列）設置 構成：プレフィルタ 高性能粒子フィルタ（効率97%（粒径0.3μm）以上） 排風機 フィルタ線量計（高性能粒子フィルタに設置） フィルタ差圧計（プレフィルタ、高性能粒子フィルタに設置） |
| 吹上用排気ダクト | 配置：排気フィルタユニットの下流側に設置 |
| 放射性物質濃度測定器 | 測定対象：カバー内及び大気放出前の放射性物質濃度 仕様　　：検出器種類 シンチレーション検出器 計測範囲 $10^{-1} \sim 10^4 \text{ s}^{-1}$ 台数　　：排気フィルタユニット入口 1台 排気フィルタユニット出口 2台 |

b. 換気風量について

燃料取り出し用カバー内の環境は、燃料取扱機、クレーン及び電源盤の設備保護のため40°C以下（設計値）となる換気設備を設けるものとする。また、カバー内での燃料取り出し作業は、有人による作業を計画していることから、作業エリアには、局的にローカル空調機を設け夏期及び冬期の作業環境の向上を図るものとする。

燃料取り出し用カバー内の熱負荷を除熱するのに必要な換気風量は、下式により求められ約50,000m³/hとなる。

$$Q=q/(C_p \cdot \rho \cdot (t_1-t_2) \cdot 1/3600)$$

Q：換気（排気）風量（m³/h）

q：設計用熱負荷、約143（kW）（機器発熱）※1

C_p：定圧比熱、1.004652（kJ/kg・°C）

ρ：密度、1.2（kg/m³）

t₁：カバー内温度、40（°C）

t₂：設計用外気温度、31.5（°C）※2

※1 10%の余裕を含む

※2 28.5°C（小名浜気象台で観測された1971年～1975年の5年間の観測データにおける累積出現率が99%となる最高温度）+約3°C（送風機のヒートアップによる温度上昇）

d. 構造強度

燃料取り出し用カバー換気設備は、その用途から換気空調設備に類似すると考える。当該設備は、「JSME S NC-1 発電用原子力設備規格 設計・建設規格」に定められた内包する流体の放射性物質の濃度が37mBq/cm³未満であることから適用除外の設備と

位置付けられるが、系統機能試験等を行い、有意な変形や漏えい、運転状態に異常がないことを確認することで、必要な構造強度を有するものと評価する。

e. 耐震性

①基本方針

燃料取り出し用カバーの換気設備は、換気空調系である C クラス相当と位置付けられることから、一般構造物と同等の耐震性を有する設計とする。

②主要設備の耐震構造

「JEAG4601-1987 原子力発電所耐震設計技術指針」等を準用し、静的震度（1.2Ci）に基づく主要機器の転倒等の評価を行い、C クラス相当の耐震性を有するものと評価する。（参考資料－1）

f. 運転管理および保守管理

①運転管理

送風機・排風機の起動/停止操作は、屋外地上部に設置した現場制御盤で行うものとし、故障等により送風機・排風機が停止した場合には、予備機が自動起動する。

現場制御盤では、送風機・排風機の運転状態（起動停止状態）、放射性物質濃度が表示され、それらの異常を検知した場合には、警報を発する。また、免震重要棟でも同様に、送風機・排風機の運転状態（起動停止状態）、放射性物質濃度が表示され、それらの情報に異常を検知した場合は、警報を発するシステムとなっている。

放射性物質濃度測定器を排気フィルタユニットの出入口に設置し、燃料取り出し用カバー内から大気に放出される放射性物質濃度を測定する。

②保守管理

換気設備については安全上重要な設備ではなく、運転継続性の要求が高くない。保守作業に伴う被ばくを極力低減する観点から、異常の兆候が確認された場合に対応する。なお、排気フィルタユニット出口の放射性物質濃度測定器については、外部への放射性物質放出抑制の監視の観点から多重化し、機器の単一故障により機能が喪失した場合でも測定可能な設備構成とする。

また、フィルタについては、差圧計（プレフィルタ、高性能粒子フィルタに設置）又は線量計（高性能粒子フィルタに設置）の値を確認しながら、必要な時期に交換する。

g. 異常時の措置

燃料取り出し用カバー換気設備が停止しても、セシウムの使用済燃料プールから大気への移行割合は、 $1 \times 10^{-3} \sim 1 \times 10^{-5}$ %程度であり、第4号機から放出される放射性物質は小さいと評価されている（福島第一原子力発電所1～4号機に対する「中長期的安全確保の考え方」に基づく施設運営計画に係わる報告書（その1）（平成23年12月7日））ことから、放射性物質の異常な放出とならないと考えられる。また、第

4号機の使用済燃料プール水における放射性物質濃度は、Cs-134が 4.5×10^0 Bq/cm³、Cs-137が 6.6×10^0 Bq/cm³(平成24年1月30日に使用済燃料プールより採取した水の分析結果)である。

なお、燃料取り出し用カバー換気設備は、機器の单一故障が発生した場合を想定して、送風機、排風機及び電源の多重化を実施しており、切替等により機能喪失後の速やかな運転の再開を可能としている。また、排気フィルタユニット出口の放射性物質濃度測定器については、2台の連続運転とし、1台故障時においても放射性物質濃度を計測可能とする。

3. 放射性物質の飛散・拡散を防止するための機能について

燃料取り出し用カバー内から排気フィルタユニットを通じて外部へ放出される放射性物質は、高性能粒子フィルタ(効率97% (粒径0.3μm)以上)により低減される。

セシウムの使用済燃料プールから大気への移行割合は、 $1 \times 10^{-3} \sim 1 \times 10^{-5}$ %程度であり、第4号機から放出される放射性物質は小さいと評価されている。(福島第一原子力発電所1～4号機に対する「中長期的安全確保の考え方」に基づく施設運営計画に係わる報告書(その1)(平成23年12月7日))

表2に発電所敷地内で測定された放射性物質濃度を示す。仮に、燃料取り出し用カバー内が表2に示す放射性物質濃度のうち、濃度の高い第4号機オペレーティングフロア上の放射性物質濃度であった場合、排気フィルタを通過して大気へ放出される放射性物質濃度は表3の通りとなる。

表2 発電所敷地内の放射性物質濃度 (Bq/cm³)

| 核種 | 第4号機原子炉建屋オペレーティングフロア上の濃度 (平成23年6月18日測定) | 福島第一原子力発電所西門の濃度 (平成23年6月18日測定)※ |
|--------|--|------------------------------------|
| Cs-134 | 約 1.2×10^{-4} | 約 5.4×10^{-6} |
| Cs-137 | 約 1.1×10^{-4} | 約 6.2×10^{-6} |

※現在は、検出限界以下であるが、第4号機オペレーティングフロア上の測定値との比較のため、平成23年6月18日の測定値とした。

$$Q = C \cdot (1-f)$$

Q : フィルタ通過後の放射性物質濃度 (Bq/cm³)

C : カバー内に吸い込まれる外気の放射性物質濃度 (Bq/cm³) (表2参照)

f : フィルタ効率 (高性能粒子フィルタ 97%)

表3 フィルタ通過後の放射性物質濃度

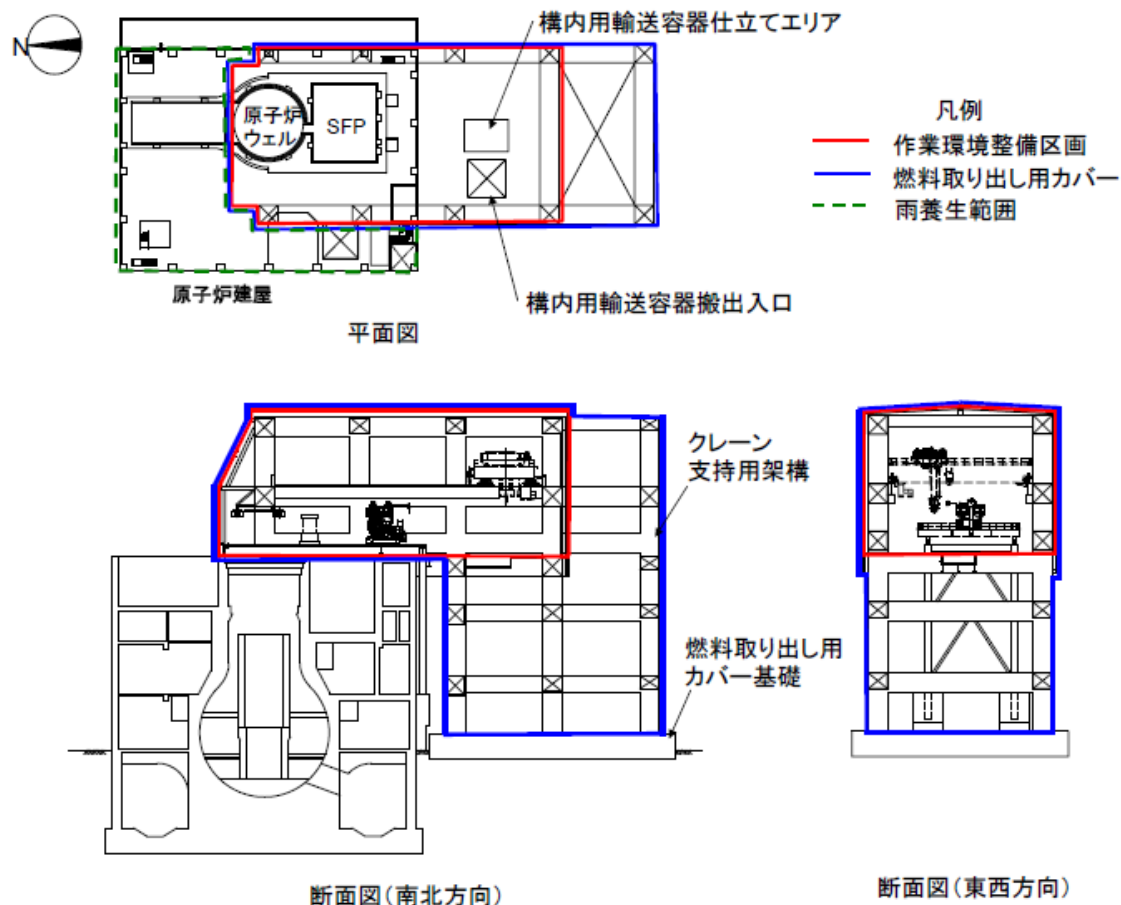
| 核種 | 濃度 (Bq/cm ³) |
|--------|--------------------------|
| Cs-134 | 約 3.6×10^{-6} |
| Cs-137 | 約 3.3×10^{-6} |

以上の結果、表2及び表3より、フィルタ通過後の放射性物質濃度は西門での放射性物質濃度よりも低いレベルとなる。

また、表3に示す濃度の放射性物質の放出が燃料取り出し用カバーの供用期間である5年間（想定）続くと仮定して算出した結果、年間被ばく線量は敷地境界で約0.008mSv／年であり、法令の濃度限度1mSv／年に比べても十分低いと評価される。（参考資料ー2）

なお、年間の第1～3号機原子炉建屋（原子炉格納容器を含む）からのセシウムの放出による年間被ばく線量評価値（福島第一原子力発電所1～4号機に対する「中長期的安全確保の考え方」に基づく施設運営計画に係わる報告書（その3）（平成23年12月15日）約0.2mSv／年）に比べても十分に低いと評価される。

以 上



【燃料取り出し用カバー】

- ・ 作業環境整備区画を構成・支持する架構及び附属設備を指す。
- ・ 燃料取り出し用カバーのうち、作業環境整備区画は外装材等により区画し、換気対象範囲とする。

【雨養生範囲】

- ・ 燃料取り出し用カバー以外のオペレーティングフロアエリアは雨水対策を施す。
- ・ 換気対象範囲外とする。

図-1 燃料取り出し用カバー概略図

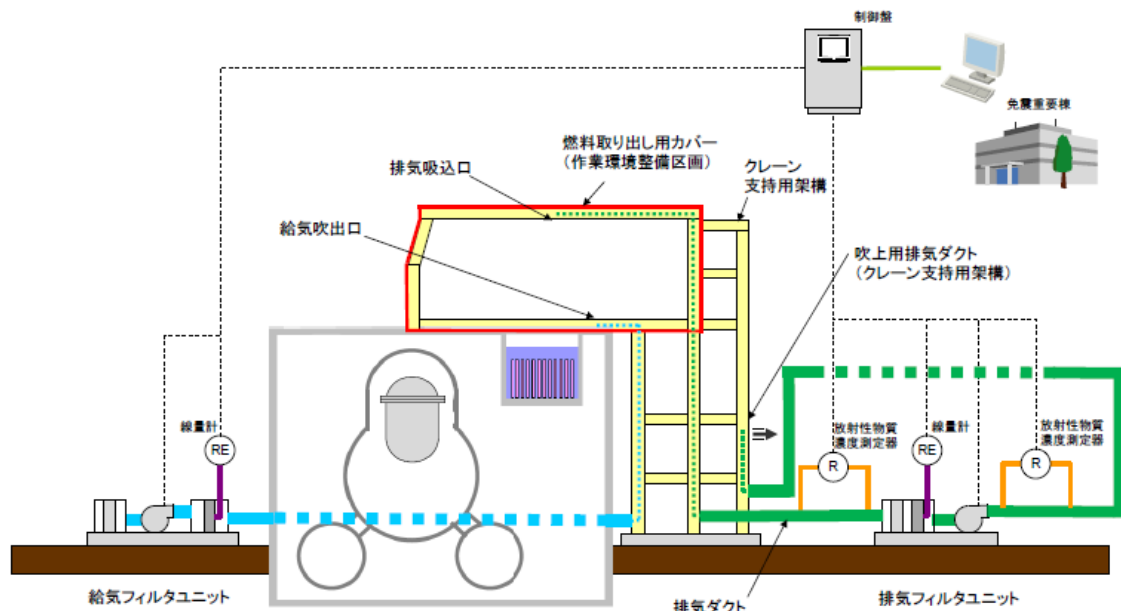


図-2 燃料取り出し用カバー換気設備概略構成図

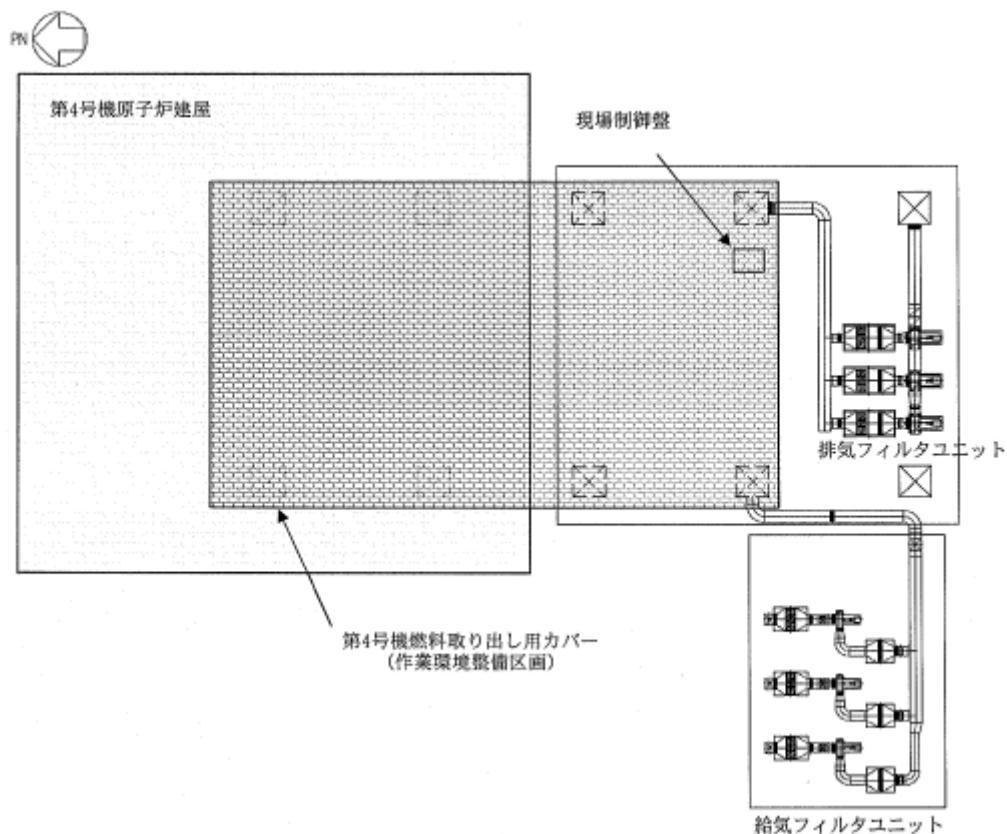


図-3 燃料取り出し用カバー換気設備配置図

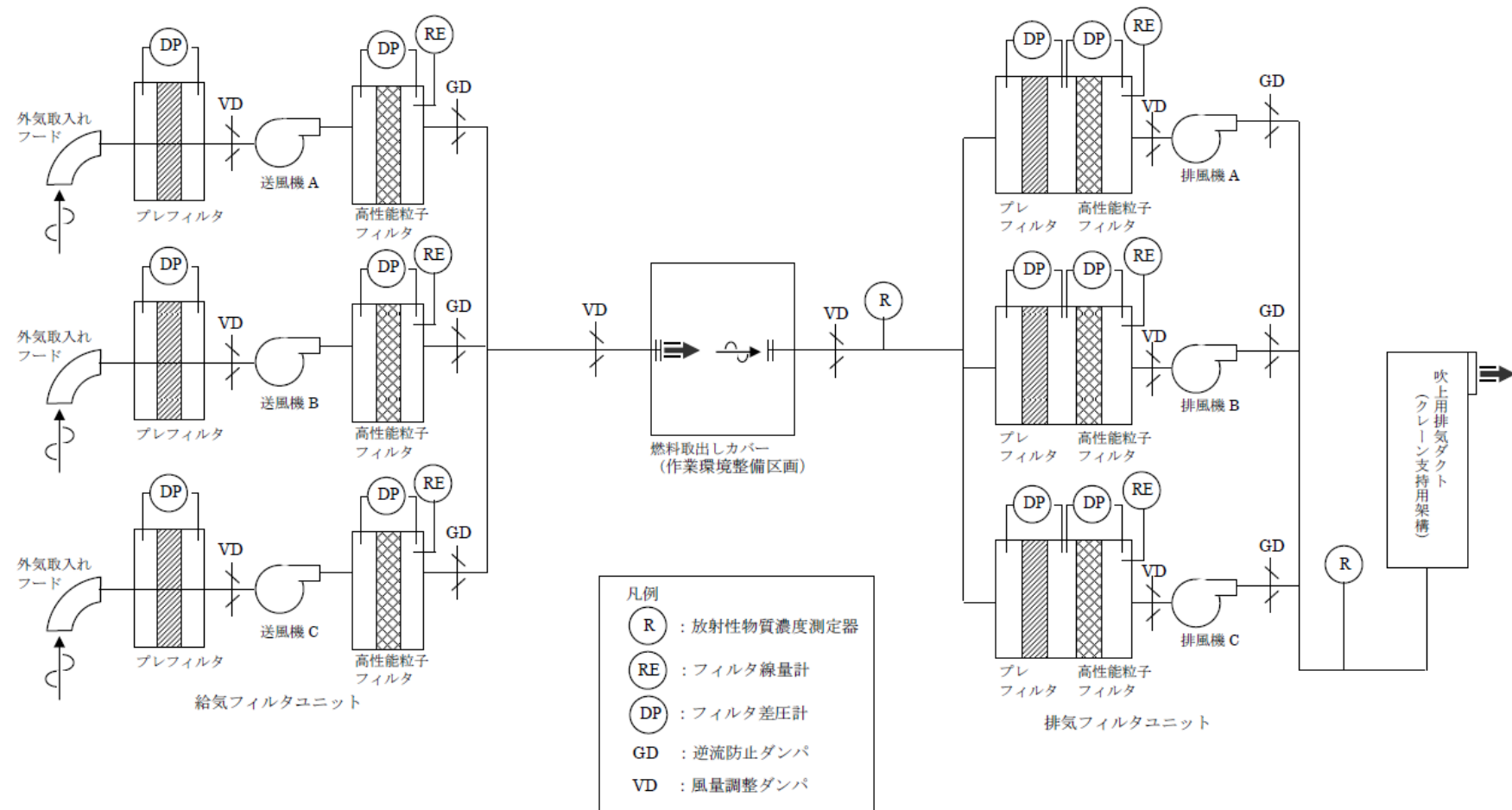
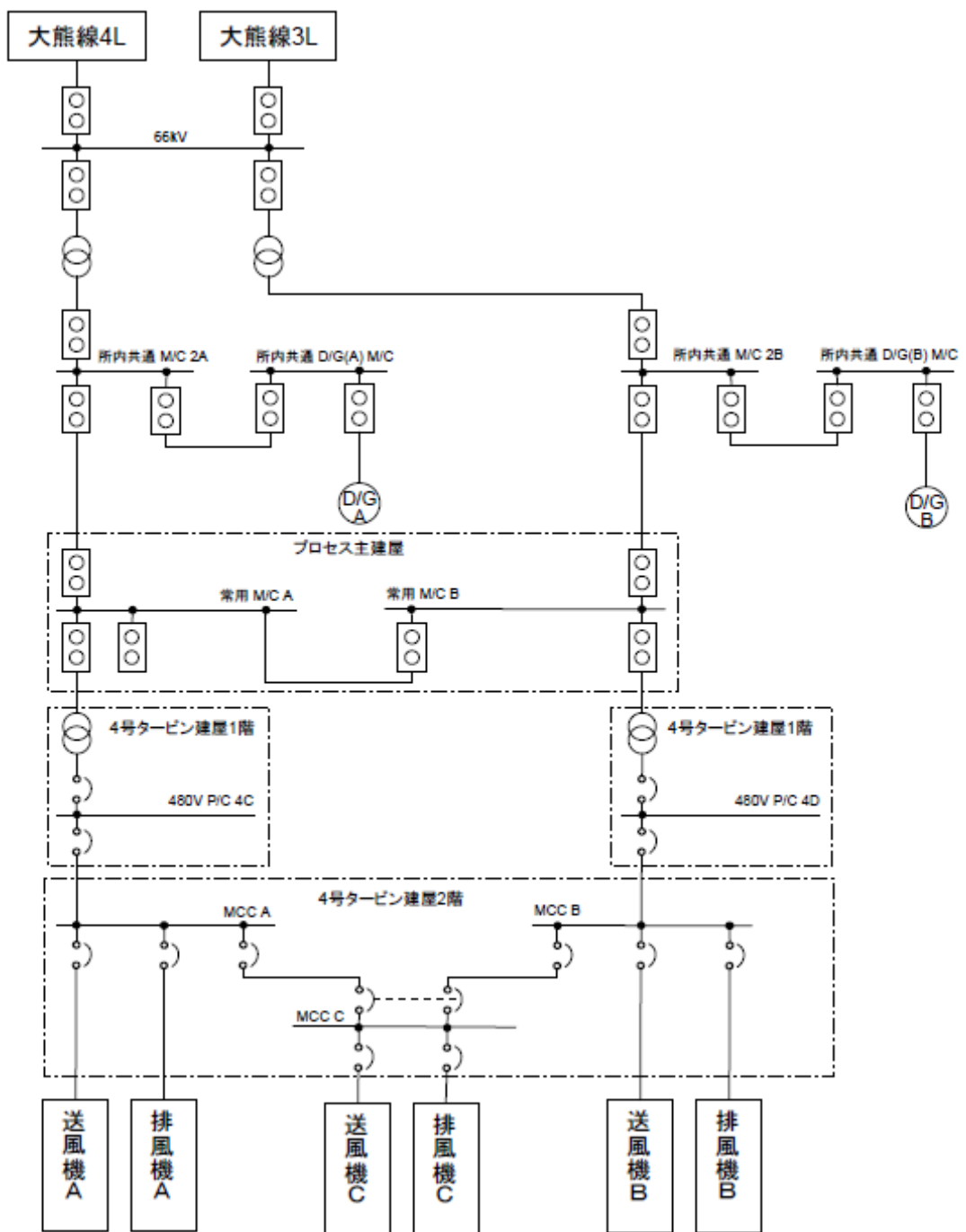


図-4 燃料取り出し用カバー換気設備系統図



※今後の設計の進捗により変更の可能性有り。

図-5 燃料取り出し用カバー換気設備電源系統図

第4号機燃料取り出し用カバー換気設備の耐震性について

1. 送風機・排風機の耐震性

送風機・排風機の耐震性評価として、「JEAG4601-1987 原子力発電所耐震設計技術指針」を準用し、送風機・排風機基礎の溶接部の評価を行った。なお、震度については、耐震設計審査指針上の耐震 C クラス設備に適用される静的地震力に余裕を持たせた 0.36G を採用した。基礎の溶接部の許容応力については、供用状態 D における許容応力を適用し、溶接部の評価温度は 50°C とした。基礎の溶接部のせん断応力を評価した結果、基礎の溶接部に生じるせん断応力は許容応力以下であり、基礎の溶接部の強度が確保されることを確認した（表4 参照）。

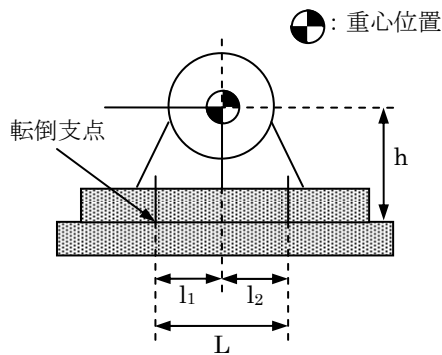


図-6 送風機・排風機の耐震評価モデル

- ・評価部位：基礎の溶接部
- ・考慮する荷重：地震荷重 / 送風機・排風機振動による荷重
- ・計算に用いる式

$$\text{鉛直方向のせん断力 } Q_v = \frac{W \cdot g \cdot (C_H + C_P) \cdot h + M_p - W \cdot g \cdot (1 - C_P) \cdot l_1}{\frac{1}{2} n_f \cdot (l_1 + l_2)}$$

$$\text{鉛直方向のせん断応力 } \tau_v = \frac{Q_v}{A_w}$$

$$\text{水平方向のせん断力 } Q_H = W \cdot g \cdot (C_H + C_P)$$

$$\text{水平方向のせん断応力 } \tau_H = \frac{Q_H}{n \cdot A_w}$$

W : 据付面に作用する重量

g : 重力加速度 (=9.80665)

h : 据付面から重心までの距離

M_p : 送風機・排風機回転により働くモーメント

※基礎溶接部に M_p は作用しない

l_1 : 送風機・排風機重心と基礎の溶接部間の距離

l_2 : 送風機・排風機重心と基礎の溶接部間の距離 ($l_1 \leq l_2$)

n_f : 鉛直方向のせん断力の作用する基礎の溶接部の評価箇所数
 n : 基礎の溶接部の箇所数
 A_w : 基礎の溶接部の断面積
 C_H : 水平方向設計震度
 C_P : 送風機・排風機振動による震度

表4 送風機・排風機基礎の溶接部の強度評価

| 評価対象機器 | 部位 | 材料 | 応力種類 | 算出応力 (MPa) | 許容応力 (MPa) |
|--------|--------|----------|------|---------------|---------------|
| 送風機 | 基礎の溶接部 | SS400 相当 | せん断 | 13 | 65 |
| 排風機 | 基礎の溶接部 | SS400 相当 | せん断 | 23 | 65 |

2. フィルタユニットの耐震性

フィルタユニットの耐震性評価として、「JEAG4601-1987 原子力発電所耐震設計技術指針」を準用し、1. と同様の方法で基礎の溶接部の評価を行った。なお、震度については、耐震設計審査指針上の耐震 C クラス設備に適用される静的地震力に余裕を持たせた 0.36G を採用した。基礎の溶接部の許容応力については、供用状態 D における許容応力を適用し、溶接部の評価温度は 50°C とした。基礎の溶接部のせん断応力を評価した結果、基礎の溶接部に生じるせん断応力は許容応力以下であり、基礎の溶接部の強度が確保されることを確認した（表5 参照）。

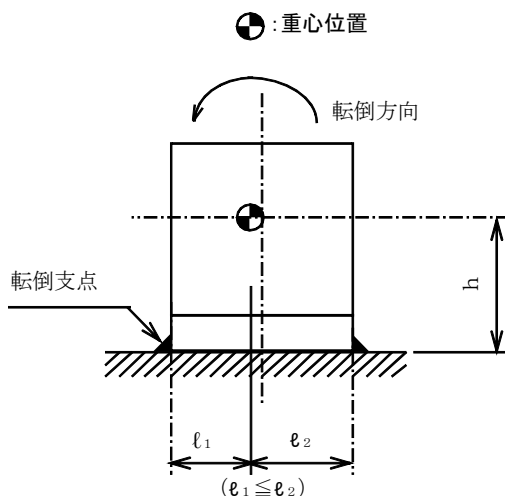


図-7 フィルタユニットの耐震評価モデル

- ・評価部位：基礎の溶接部
- ・考慮する荷重：地震荷重
- ・計算に用いる式

$$\text{鉛直方向せん断力 } Q_v = \frac{W \cdot g \cdot C_H \cdot h - W \cdot g \cdot (1 - C_v) \cdot l_1}{n_f \cdot (l_1 + l_2)}$$

$$\text{鉛直方向せん断応力 } \tau_v = \frac{Q_v}{A_w}$$

$$\text{水平方向せん断力 } Q_H = W \cdot g \cdot C_H$$

$$\text{水平方向せん断応力 } \tau_H = \frac{Q_H}{n \cdot A_w}$$

W : 据付面に作用する重量

g : 重力加速度 ($=9.80665$)

h : 据付面から重心までの距離

l_1 : フィルタユニット重心と基礎の溶接部間の距離

l_2 : フィルタユニット重心と基礎の溶接部間の距離 ($l_1 \leq l_2$)

n_f : 鉛直方向のせん断力の作用する基礎の溶接部の評価箇所数

n : 基礎の溶接部の箇所数

A_w : 基礎の溶接部の断面積

C_H : 水平方向設計震度

C_v : 鉛直方向設計震度

表5 フィルタユニット基礎の溶接部の強度評価

| 評価対象機器 | 部位 | 材料 | 応力種類 | 算出応力 (MPa) | 許容応力 (MPa) |
|---------------------------|------------|----------|------|---------------|---------------|
| 給気フィルタユニット (プレフィルタ) | 基礎の 溶接部 | SS400 相当 | せん断 | 11 | 65 |
| 給気フィルタユニット (高性能粒子フィルタ) | 基礎の 溶接部 | SS400 相当 | せん断 | 9 | 65 |
| 排気フィルタユニット | 基礎の 溶接部 | SS400 相当 | せん断 | 11 | 65 |

3. ダクトの耐震性

燃料取り出し用カバー内のダクトは、燃料取り出し用カバーのクレーン支持用架構を利用して（図-2 参照）。クレーン支持用架構は、添付資料-3-1「燃料取り出し用カバーの構造強度及び耐震性に関する説明書」で、基準地震動 Ss に対する地震応答解析を実施し崩壊しないことを確認していることから、使用済燃料プールへ波及的影響は与えない。

以上

第4号機燃料取り出し用カバー排気フィルタユニットから放出された
セシウムによる被ばく線量評価について

1. 評価条件

- (1) 燃料取り出し用カバー内が、表2に示す第4号機オペレーティングフロア上の放射性物質濃度であった場合に排気フィルタユニットを介して大気に放出されるものと仮定する。
- (2) 減衰は考慮しない。
- (3) 地上放出と仮定する。
- (4) 燃料取り出し用カバーの供用期間である5年間（想定）に放出される放射性物質が地表に沈着し蓄積した時点の γ 線に起因する実効線量と仮定し評価する。
- (5) 大気拡散の評価に用いる気象条件は、福島第一原子力発電所原子炉設置変更許可申請書で採用したものと同じ気象データを使用する。

2. 評価方法

燃料取り出し用カバー排気フィルタユニットから放出される放射性物質による一般公衆の実効線量は、以下の被ばく経路について年間実効線量(mSv/年)を評価する。

- ・放射性雲からの γ 線に起因する実効線量
- ・吸入摂取による実効線量
- ・地面に沈着した放射性物質からの γ 線に起因する実効線量

(1) 放射性雲からの γ 線に起因する実効線量

放射性物質の γ 線に起因する実効線量については、「発電用軽水型原子炉施設周辺の線量目標値に対する評価指針」の放射性雲からの γ 線による実効線量の評価の評価式を用いて評価する。

a. 計算地点における空気カーマ率の計算

計算地点 ($x, y, 0$) における空気カーマ率は、次式により計算する。

$$D = K_1 \cdot E \cdot \mu_{en} \int_0^{\infty} \int_{-\infty}^{\infty} \int_0^{\infty} \frac{e^{-\mu \cdot r}}{4 \pi r^2} \cdot B(\mu r) \cdot \chi(x', y', z') dx' dy' dz' \quad \dots \quad (1)$$

ここで、 D : 計算地点 ($x, y, 0$) における空気カーマ率 ($\mu \text{ Gy}/y$)

K_1 : 空気カーマ率への換算係数 ($4.46 \times 10^{-4} \frac{\text{dis} \cdot \text{m}^3 \cdot \mu \text{ Gy}}{\text{MeV} \cdot \text{Bq} \cdot \text{h}}$)

E : γ 線の実効エネルギー (0.5 MeV/dis)

μ_{en} : 空気に対する γ 線の線エネルギー吸収係数 (m^{-1})

μ : 空気に対する γ 線の線減衰係数 (m^{-1})

r : 放射性雲中の点 (x', y', z') から計算地点 ($x, y, 0$) まで

の距離 (m)
 $B(\mu r)$: 空気に対する γ 線の再生係数

$$B(\mu r) = 1 + \alpha(\mu r) + \beta(\mu r)^2 + \gamma(\mu r)^3$$

ただし、 μ_{en} 、 μ 、 α 、 β 、 γ については、0.5MeV の γ 線に対する値を用い、以下のとおりとする。

$$\mu_{en} = 3.84 \times 10^{-3} (\text{m}^{-1})$$

$$\mu = 1.05 \times 10^{-2} (\text{m}^{-1})$$

$$\alpha = 1.000, \quad \beta = 0.4492, \quad \gamma = 0.0038$$

$\chi(x', y', z')$: 放射性雲中の点 (x', y', z') における濃度 (Bq/m^3)
 なお、 $\chi(x', y', z')$ は、次式により計算する。

$$\chi(x', y', z') = \frac{Q}{2\pi \cdot \sigma_y \cdot \sigma_z \cdot U} \cdot e^{-\frac{y'^2}{2\sigma_y^2}} \cdot \left\{ e^{-\frac{(z' - H)^2}{2\sigma_z^2}} + e^{-\frac{(z' + H)^2}{2\sigma_z^2}} \right\} \cdot (2)$$

ここで、
 Q : 放射性物質の放出率 (Bq/s)
 U : 放出源高さを代表する風速 (m/s)
 H : 放出源の有効高さ (m)
 σ_y : 濃度分布の y' 方向の拡がりのパラメータ (m)
 σ_z : 濃度分布の z' 方向の拡がりのパラメータ (m)

このとき、有効高さと同じ高度 ($z' = H$) の軸上で放射性物質濃度が最も濃くなる。
 被ばく評価地点は地上 ($z' = 0$) であるため、地上放散が最も厳しい評価を与えることになる。

b. 実効線量の計算

計算地点における年間の実効線量は、計算地点を含む方位及びその隣接方位に向かう放射性雲の γ 線からの空気カーマを合計して、次式により計算する。

$$H_\gamma = K_2 \cdot f_h \cdot f_0 \cdot (\bar{D}_L + \bar{D}_{L-1} + \bar{D}_{L+1}) \quad \dots \dots \dots \quad (3)$$

ここで、
 H_γ : 放射性物質の γ 線に起因する年間の実効線量 ($\mu \text{Sv}/\text{y}$)
 K_2 : 空気カーマから実効線量への換算係数 ($0.8 \mu \text{Sv}/\mu \text{Gy}$)
 f_h : 家屋の遮へい係数 (1.0)
 f_0 : 居住係数 (1.0)
 $(\bar{D}_L + \bar{D}_{L-1} + \bar{D}_{L+1})$: 計算地点を含む方位 (L) 及びその隣接方位に向かう放射性雲による年間平均の γ 線による空気カーマ ($\mu \text{Gy}/\text{y}$)。これらは(1)式から得られる空気カーマ率 D を放出モード、大気安定度別風向分布及び風速分布を考慮して年間について積算して求める。

(2) 吸入摂取による実効線量

吸入摂取による実効線量については、「発電用軽水型原子炉施設周辺の線量目標値に対する評価指針」の吸入摂取による実効線量の評価の評価式を用いて評価する。

a. 放射性物質の年平均地表空气中濃度の計算

計算地点における年平均地表空气中濃度 \bar{x} は、(2)式を用い、隣接方位からの寄与も考慮して、次式により計算する。

$$\bar{\chi} = \sum_j \bar{\chi}_{jL} + \sum_j \bar{\chi}_{jL-1} + \sum_j \bar{\chi}_{jL+1} \dots \dots \dots \dots \dots \dots \quad (4)$$

ここで、 j : 大気安定度 (A~F)
 L : 計算地点を含む方位

b. 線量の計算

放射性物質の呼吸による実効線量は、次式により計算する。

ここで、
 H_I : 吸入摂取による年間の実効線量 ($\mu\text{Sv}/\text{y}$)
 365 : 年間日数への換算係数 (d/y)
 K_{Ii} : 核種 i の吸入摂取による成人実効線量換算係数 ($\mu\text{Sv}/\text{Bq}$)
 A_{Ii} : 核種 i の吸入による摂取率 (Bq/d)
 M_a : 人間の呼吸率 (m^3/d)
 (成人の 1 日平均の呼吸率 : $22.2\text{m}^3/\text{d}$ を使用)
 $\bar{\chi}_i$: 核種 i の年平均地表空气中濃度 (Bq/m^3)

表6 吸入摂取による成人の実効線量換算係数 ($\mu\text{Sv/Bq}$)

| 核種 | Cs-134 | Cs-137 |
|-----------------|----------------------|----------------------|
| K _{II} | 2.0×10^{-2} | 3.9×10^{-2} |

(3) 地面に沈着した放射性物質からの γ 線に起因する実効線量

地面に沈着した放射性物質からの γ 線に起因する実効線量については、「発電用軽水型原子炉施設の安全審査における一般公衆の線量評価について」の地面に沈着した放射性物質濃度を計算し、放射性物質濃度からの実効線量への換算係数を用いて評価する。

a. 放射性物質の年平均地上空气中濃度の計算

計算地点における年平均地上空气中濃度 $\bar{\chi}$ は、(4)式により計算する。

b. 線量の計算

地面に沈着した放射性物質からの γ 線に起因する実効線量は、次式により計算する。

$$S_{O_i} = \bar{\chi}_i \cdot V_g \cdot \frac{f_1}{\lambda_i} \cdot \left\{ 1 - e^{-\lambda_i \cdot T_0} \right\} \dots \dots \dots \dots \quad (8)$$

ここで、 H_G : 地面に沈着した放射性物質からの γ 線に起因する
年間の実効線量 ($\mu\text{Sv}/\text{y}$)
 K_{Gi} : 核種 i の地表沈着による外部被ばく線量換算係数 ($\frac{\mu\text{Sv}/\text{y}}{\text{Bq}/\text{m}^2}$)
 S_{0i} : 核種 i の地表濃度 (Bq/m^2)
 $\bar{\chi}_i$: 核種 i の年平均地表空気中濃度 (Bq/m^3)
 V_g : 沈着速度 (0.01m/s)
 λ_i : 核種 i の物理的減衰係数 (s^{-1})
 T_0 : 放射性物質の放出期間 (s) (カバー供用期間の5年を想定)
 f_1 : 沈着した放射性物質のうち残存する割合 (保守的に1を用いる)

表7 放射性物質濃度から実効線量への換算係数 ($\text{Sv}/\text{s/Bq}/\text{m}^2$)

| 核種 | Cs-134 | Cs-137 |
|----------|-----------------------|-----------------------|
| K_{Gi} | 1.5×10^{-15} | 5.8×10^{-16} |

3. 評価結果

評価結果(表8参照)の通り、年間被ばく線量は敷地境界で約0.008mSv/年であり、法令の濃度限度1mSv/年に比べても十分低いと評価される。

表8 燃料取り出し用カバー排気フィルタユニットからの
放射性物質の放出による一般公衆の実効線量 (mSv/年)

| 評価項目 | | | 合計 |
|------------------------|------------------------|------------------------|------------------------|
| 放射性雲 | 吸入摂取 | 地表沈着 | |
| 約 1.3×10^{-7} | 約 5.4×10^{-5} | 約 7.4×10^{-3} | 約 7.5×10^{-3} |

以上

がれき撤去等の手順に関する説明書

1 現状と今後の作業

福島第一原子力発電所第1、第3、第4号機は天井や外壁が損傷して建屋上部に積み重なっている状況にある。第2号機は東側外壁のブローアウトパネルが開放されているものの外見上の大規模な損傷は確認されていない。

第1～第4号機において、使用済燃料プール内燃料の取り出しを計画しているが、第1、第3、第4号機については使用済燃料プール内燃料の取り出しに先立ち、原子炉建屋上部において、がれき撤去等が必要である。

がれき撤去等の作業においては、がれき等を使用済燃料プールに落下させ波及的影響を与えないよう対策を講じる必要がある。本説明書は原子炉建屋上部のがれき撤去等の手順を示すものである。

2 がれき撤去等の監理体制

協力会社ががれき撤去等の計画を立案し、当社がその計画の確認を行う。また、放射線管理に関わる計画は、協力会社が立案し、当社がその計画の確認を行う。確認された計画に基づき協力会社が作業を行い、当社が監理を行う。なお、不測事態が発生した場合、協力会社から当社監理員に連絡を行い、当社および協力会社を交え計画の再検討等今後の対応について協議する。

3 がれき撤去等の手順

(1) がれき撤去フロー

オペレーティングフロア上のがれきを安全に撤去するために、図1に示すがれき撤去フローに従い、作業計画を立案する。なお、オペレーティングフロア上のがれき撤去は、作業状況について常時監視した状況で実施する。監視にあたり以下の点に注意し、異常があった場合は直ちに作業を中止し、関係者へ報告する。

- ・ 使用済燃料プールに異常が無いか
- ・ 重機による作業区画内に人がいないか
- ・ 飛散物、落下物、建屋の異常等はないか

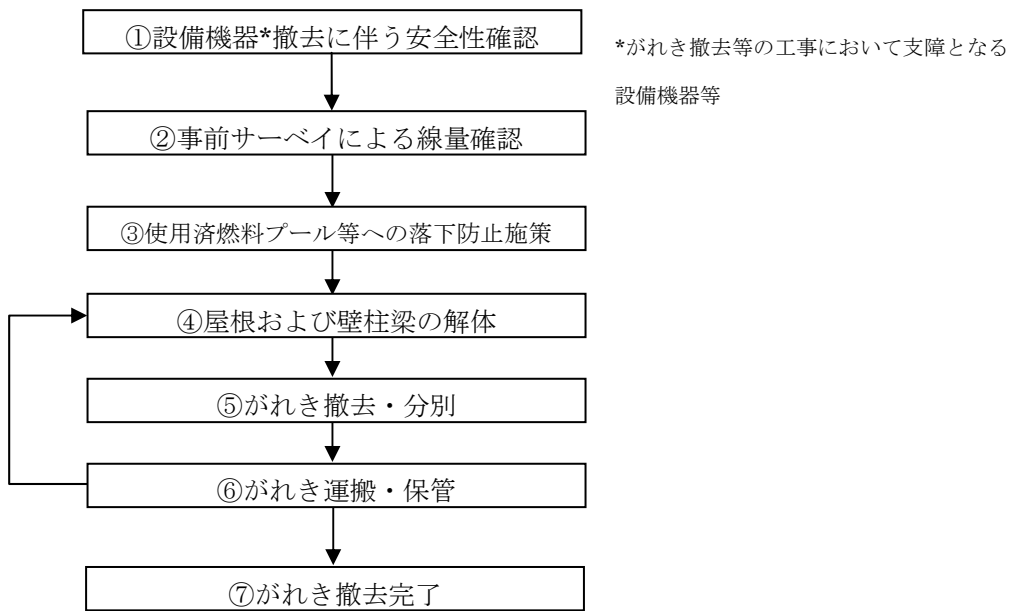


図 1 がれき撤去フロー

また、がれき撤去フローにおける①設備機器撤去に伴う安全性確認、③使用済燃料プール等への落下防止施策については、次に具体的な内容を示す。

a. ①設備機器撤去に伴う安全性確認

がれき撤去工程においては、設備機器の撤去作業を伴うが、安全性確保の為、当社および協力会社において十分な調査・計画立案が必要である。設備機器の撤去に関するフローを図 2 に示す。

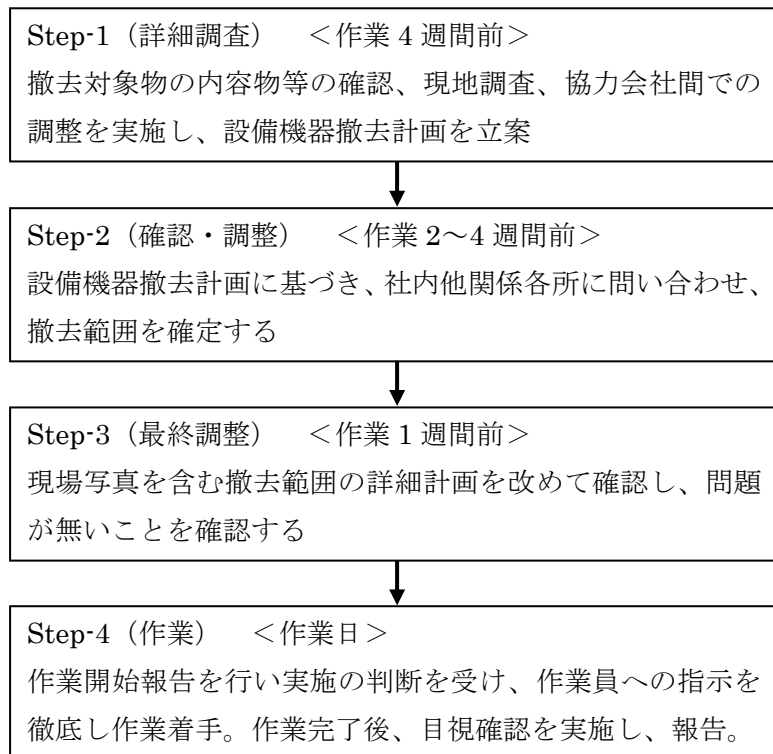


図 2 設備機器撤去に伴う詳細調査・確認・調整業務フロー

b. ③使用済燃料プール等への落下防止施策

使用済燃料プールにがれきが落下し、使用済燃料貯蔵ラックや使用済燃料プールが損傷することを防止するため、がれき撤去に先立ち、がれきの状況を写真の分析や模型等により把握し作業手順を検討する。

がれき解体用重機には、下部へのがれき落下防止策を施した吊り治具等を使用し、使用済燃料プール外のがれき撤去を行う際には、使用済燃料プール上を通過しないように手順を策定する。また、使用済燃料プール内のがれき撤去を行う際には、使用済燃料貯蔵ラック上を通過しないように手順を策定し、使用済燃料プール内であって使用済燃料貯蔵ラック上に位置するがれきについては、極力使用済燃料貯蔵ラック上の移動距離が短くなるように手順を策定する。

プール内のがれき撤去にあたっては、事前に燃料、ラックとがれきとの干渉について確認する。干渉が想定される場合は、燃料及びラックの健全性並びに作業員の安全を確保するためのがれき撤去の方法について検討し、必要に応じモックアップ等により安全性の確認を実施する。

燃料取扱機、燃料取り出し用カバーの設置等のオペレーティングフロア上で行う作業にあたっては、極力使用済燃料プール上で作業を行わないように手順を策定する。

なお、必要に応じて使用済燃料プールの表面養生等の対策を施す。

(2) がれき撤去等における留意事項

a. 手作業によるがれき撤去（第4号機の場合）

- ① 事前サーベイによる線量の確認：線量測定により、高線量のがれきの有無を事前に確認する。表面線量当量率が高いがれきが確認された場合はマーキングによる注意喚起を行う。
- ② 高所作業車の配置：クレーンに取り付けた作業台を原子炉建屋外周からオペレーティングフロアへ配置し、がれきの搬出入を行う。
- ③ がれきの分別：「金属」「コンクリート」「機械」（内部に油が生じているモノ）「その他」に分けて袋詰めする。
- ④ がれきの運搬：原子炉建屋周辺ヤードで、高所作業車からダンプ等へがれき類を積み替え、指定された集積場所へ運搬する。

b. 重機によるがれき撤去

- ① 安全対策：作業範囲周辺の安全性に配慮し、がれきの落下防止及びがれき落下に伴う設備機器・重機損傷の防止を図る。
- ② がれき撤去：使用済燃料プールへがれきを落下させないよう十分に注意し、作業を行う。万一がれきが使用済燃料プールに落下した場合には、作業を一時中断し、異常のないことを確認した後、作業を再開する。
- ③ がれきの分別：がれきは、解体重機でダンプに積み込める大きさに小割し、分別する。
- ④ がれきの運搬：原子炉建屋周辺ヤードで、遮蔽措置を施したダンプ等へがれき類を積み替え、指定された集積場所へ運搬する。

c. がれきの仮置き及び分別

がれきは、原子炉建屋周辺ヤード内に仮置き場所を設置し、分別集積する。仮置きしたがれき

は線量を計測し、高線量の場合は作業員が近寄らないように区画及び表示を行う。

がれきには粉塵などの飛散防止を目的とした飛散防止剤の散布等を行い、ダンプにて搬出する。なお、搬出するがれきについては、放射線量に応じて分別し構内に一時保管する。

d. 作業員の安全対策

作業開始前は、事前サーベイによる線量確認を実施し、高線量箇所の注意喚起を行うなど作業員の被ばく量低減に努める。また、事前サーベイによる線量確認状況に応じエリアモニタを設置し、線量の目視確認が可能な状況とする。なお、緊急時（津波警報発生時の避難等）にはサイレン等により警報を発報し、作業員に避難情報を提供する。

e. 既存建屋への影響評価

がれき撤去に伴い既存建屋に作用する荷重は低下傾向を示すが、がれきの飛散防止のための養生材や解体重機の積載などの影響により作用荷重が増加する場合も考えられる。がれき撤去により大幅な荷重増減が生じる場合には、既存建屋が局部的に荷重を負担することのないよう、配慮して計画を行う。

なお、がれき撤去が進むに伴い建屋の損傷状況が確認できた場合には、必要に応じて既存建屋への影響を再度評価することとする。

f. 燃料取扱設備、燃料取り出し用カバー等の設置

- ① 安全対策：作業範囲周辺の安全性に配慮し、設置設備の落下防止及び設備落下に伴う設備機器・重機損傷の防止を図る。
- ② 設備設置：設備設置は極力使用済燃料プール上で行わないこととする。やむを得ず使用済燃料プール上での作業を行う場合は、使用済燃料プールへ設置設備を落下させないよう十分に注意し、作業を行う。

4 補足（第3号機、第4号機の現在の状況）

(1) 状況写真

写真1に第3号機、写真2に第4号機の原子炉建屋の損傷状況を示す。また、写真3に第3号機、写真4に第4号機の使用済燃料プール周辺の状況を示す。

がれきの仮置き及び分別における飛散防止材の散布状況のイメージを写真5に、がれきの搬出状況のイメージを写真6に示す。



写真1 第3号機原子炉建屋の損傷状況
(平成23年3月24日撮影)



写真2 第4号機原子炉建屋の損傷状況
(平成23年3月24日撮影)



写真3 第3号機使用済燃料プール周辺の状況
(平成23年11月10日撮影)



写真4 第4号機使用済燃料プール周辺の状況
(平成23年7月15日撮影)



写真5 飛散防止剤の散布状況イメージ
(平成23年8月9日撮影)



写真6 がれきの搬出状況イメージ
(平成23年9月7日撮影)

(2) 具体的な落下防止施策

第4号機の使用済燃料プールの表面養生（例）を図3に示す。フロート材を使用済燃料プール上に敷き詰め、がれき等の落下に対する養生とする。

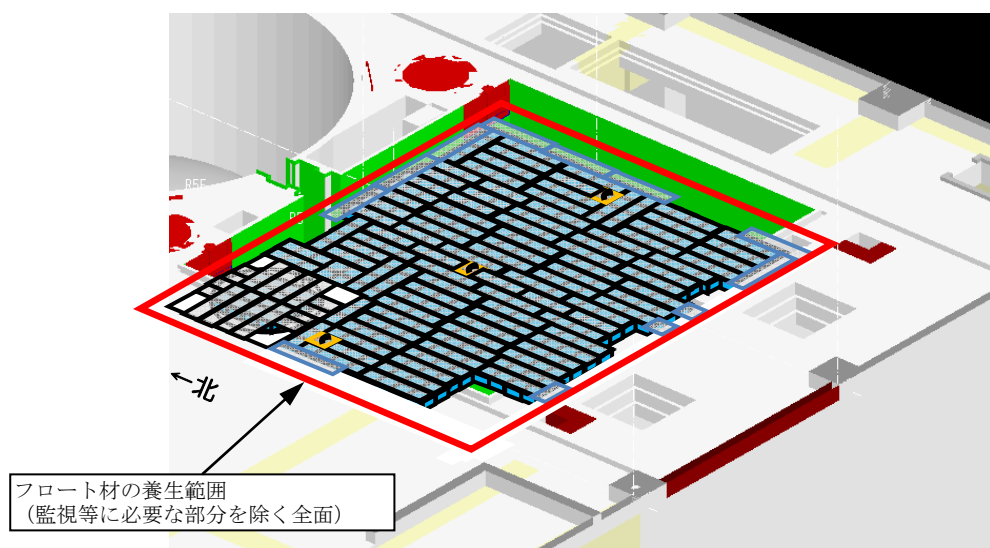
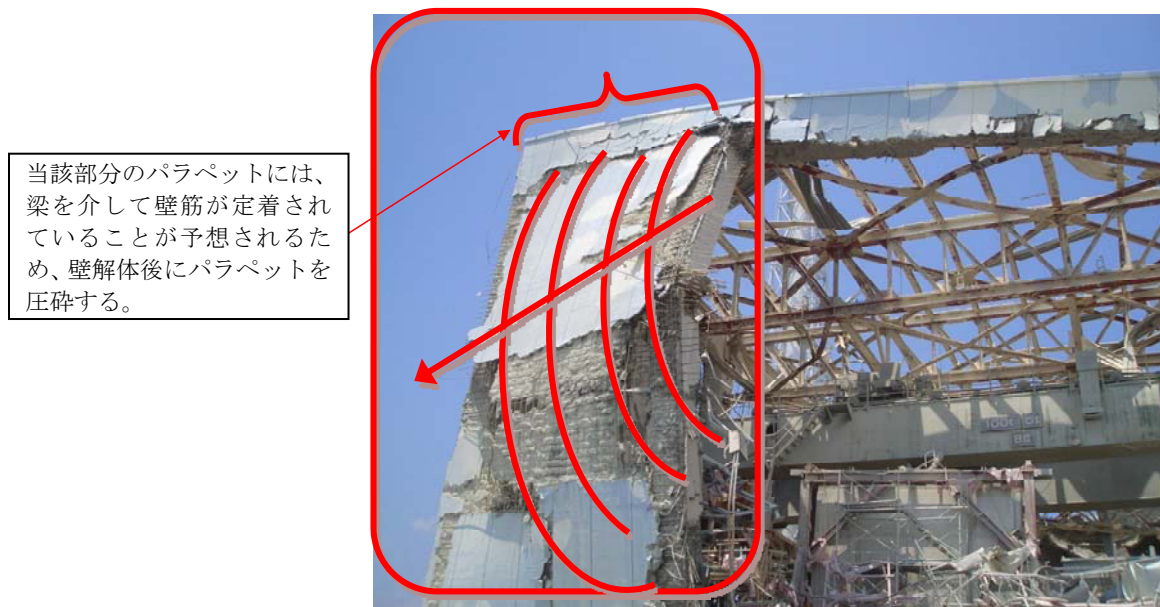


図3 使用済燃料プールの表面養生（例）

(3) 具体的な撤去手順

a. 外壁の解体手順（例）

損傷した原子炉建屋には落下する危険性の高い外壁が存在する。ここでは、第4号機の原子炉建屋南面外壁の解体手順（例）を図4に示す。



当該部分のパラペットには、梁を介して壁筋が定着されていることが予想されるため、壁解体後にパラペットを圧碎する。

〈外壁表側〉

（平成23年7月15日撮影）



裏側を確認するとRC梁は残存し壁筋が定着されている。梁部分を先行解体すると、壁全体が落下する危険性があるため、先行して壁を解体し、後からパラペットを圧碎する。

横筋は既に柱から縁が切れている。

〈外壁裏側〉

（平成23年7月15日撮影）

図4 外壁の解体手順（例）

b. 柱及び梁の解体手順（例）

外壁撤去後の柱及び梁の解体について、第4号機のR4～R7通りの柱及び梁の解体手順（例）を図5に示す。

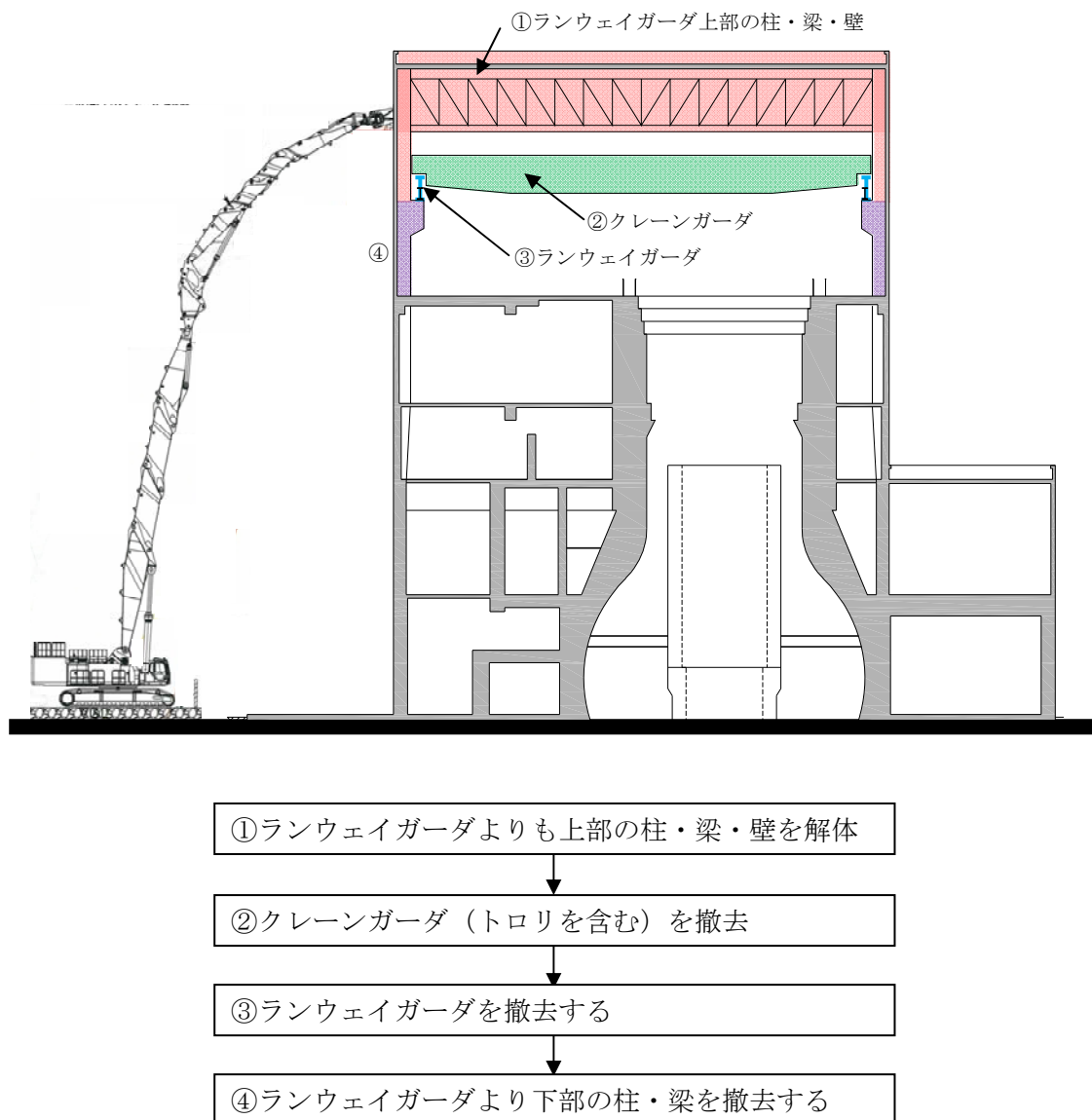


図5 柱及び梁の解体手順（例）

移送操作中の燃料集合体の落下（第4号機）

1. 原因

第4号機使用済燃料プール内における燃料の移送操作中に、何らかの原因で燃料集合体が落下して破損し、放射性物質が環境に放出される。

2. 事故防止対策

燃料集合体の落下を防止するため、次のような設計及び運転管理上の対策を講じる。

- (1) 燃料取扱機は、燃料集合体の総重量を十分上回る重量に耐えることのできる強度に設計する。
- (2) 燃料把握機のワイヤを二重化する。
- (3) 燃料把握機は、圧縮空気等の駆動源が喪失した場合、燃料集合体が外れないフェイル・セイフ設計とする。
- (4) 燃料把握機が燃料集合体を確実につかんでいない場合には、吊上げができないようなインターロックを設ける。
- (5) 運転要領を十分整備し、よく訓練された監督者の直接指揮下で燃料取扱作業を行う運転管理体制をとる。
- (6) 使用済燃料プールに貯蔵されている燃料集合体について、移送前に燃料集合体の機械的健全性を確認する。健全性確認の方法については、添付資料－1-4「燃料の健全性確認及び取り扱いに関する説明書」として別途報告を行い、確認を受けることとする。
- (7) 燃料集合体の機械的健全性確認において、破損が確認された燃料集合体を移送する場合には、破損形態に応じた適切な取扱手法及び収納方法により、放射性物質の飛散・拡散を防止する。破損燃料の取り扱い方法については、添付資料－1-4「燃料の健全性確認及び取り扱いに関する説明書」として別途報告を行い、確認を受けることとする。

3. 核分裂生成物の放出量及び線量の評価

3.1. 核分裂生成物の放出量

(1) 破損燃料棒の評価

本事故時に破損する燃料棒の本数は、次の仮定に基づいて評価する。

- a. 燃料取り出し作業に際し、使用済燃料貯蔵ラックの上部で取扱中の燃料集合体1体が使用済燃料貯蔵ラックに落下するものと仮定する。
- b. 落下による燃料集合体の破損体数は、炉心での落下を想定した設置許可申請書の

評価と同様の 2.3 体とする。

なお、炉心での落下高さ 10m に対し、使用済燃料プールでの落下高さは使用済燃料貯蔵ラックへの落下及び構内用輸送容器への落下共に 1m 以下であり、装荷・貯蔵されている燃料集合体の配置密度も炉心と比較して使用済燃料プール及び構内用輸送容器の方が低いため、使用済燃料プールでの落下を想定した場合の破損体数が、炉心での落下を想定した場合の破損体数を上回ることはない。

(2) 評価条件

事故時の核分裂生成物の移行と放出量の評価は、次の仮定に基づいて行う。

a. 燃料ギャップ内の核分裂生成物の量は、原子炉が定格出力の約 105%（熱出力 2,483MW）で十分長時間（2,000 日）運転された取替炉心のサイクル末期の最大出力燃料集合体について行う。

b. 燃料取り出し作業は、原子炉停止後 365 日冷却された後に行われるものとし、原子炉停止後の放射能の減衰は考えるものとする。

なお、第 4 号機の発電停止は 2010 年 11 月 30 日であり、使用済燃料プールからの燃料取り出しはステップ 2 終了から 2 年以内の 2013 年 12 月頃の開始を目標としている。この場合の冷却日数は約 1100 日となる。

c. 破損した燃料棒のギャップ内核分裂生成物の全量が水中に放出されるものとする。破損した燃料棒のギャップ内核分裂生成物の存在量については、半減期の長い核種の放出が支配的であることを考えて、破損した燃料棒内の全蓄積量に対して希ガス及びよう素それぞれ 30% とする。

d. 放出された希ガスは、全量が水中から燃料取り出し用カバーの空气中へ移行するものとする。

e. 燃料取り出し作業開始時には、燃料及び冷却材温度は低下しているので、放出されたよう素のうち 1% は有機状とし、すべて燃料取り出し用カバー内に移行するものとする。

f. 水中へ放出された無機よう素の水中での除染係数は 500 とする。

(3) 評価結果

上記の評価条件に基づいて計算した核分裂生成物の大気中への放出量は表 1 の通りである。

表 1 核分裂生成物の大気中への放出量

| 核分裂生成物 | 放出量 |
|--|---------------------------|
| 希ガス (γ 線実効エネルギー 0.5MeV 換算値) 大気放出量 | 約 5.0×10^{11} Bq |
| よう素(I-131 等価量) 大気放出量 | 約 3.3×10^6 Bq |

3.2. 線量当量の評価

(1) 評価の前提

大気中へ放出される核分裂生成物は、地上放出されるものとし、これによる実効線量の計算は、次の仮定に基づいて行う。

a. 敷地境界外の地表空气中濃度は、設置許可申請書添付書類六の「5.5 安全解析に使用する気象条件」に記述される相対濃度に核分裂生成物の全放出量を乗じて求める。

なお、相対濃度 (χ/Q) は設置許可申請書記載の主蒸気管破断（地上放出）の値 $3.4 \times 10^{-5} \text{ s/m}^3$ を適用する。

b. 敷地境界外の希ガスによる γ 線空気吸収線量は、設置許可申請書添付書類六の「5.5 安全解析に使用する気象条件」に記述される相対線量に希ガスの全放出量を乗じて求める。

なお、相対線量 (D/Q) は設置許可申請書記載の主蒸気管破断（地上放出）の値 $3.4 \times 10^{-19} \text{ Gy/Bq}$ を適用する。

(2) 評価方法

敷地境界外における実効線量は、次に述べる内部被ばくによる実効線量及び外部被ばくによる実効線量の和として計算する。

よう素の内部被ばくによる実効線量 H_I (Sv) は、(3.2-1)式で計算する。

$$H_I = R \cdot H_\infty \cdot \chi/Q \cdot Q_I \dots \dots \dots \quad (3.2-1)$$

ここで、

R : 呼吸率 (m^3/s)

「発電用軽水型原子炉施設の安全評価に関する審査指針」の活動中の呼吸率 $0.31 \text{ m}^3/\text{h}$ を秒当たりに換算して用いる。

H_∞ : よう素 (I-131) を 1 Bq 吸入した場合の小児の実効線量 ($1.6 \times 10^{-7} \text{ Sv/Bq}$)

χ/Q : 相対濃度 (s/m^3)

Q_I : 事故期間中のよう素の大気放出量 (Bq) (I-131等価量)

また、希ガスの γ 線外部被ばくによる実効線量 H_γ (Sv) は、(3.2-2)式で計算する。

$$H_\gamma = K \cdot D/Q \cdot Q_\gamma \dots \dots \dots \quad (3.2-2)$$

ここで、

K : 空気吸収線量から実効線量への換算係数 ($K = 1 \text{ Sv/Gy}$)

D/Q : 相対線量 (Gy/Bq)

Q_γ : 事故期間中の希ガスの大気放出量 (Bq)
(γ 線実効エネルギー 0.5 MeV 換算値)

(3) 評価結果

上記の評価前提及び方法に基づき敷地境界外の実効線量を評価した結果は表 2 の通りである。

表 2 燃料集合体の落下時の実効線量

| |
|----------------------------|
| 実効線量 |
| 約 1.7×10^{-4} mSv |

これは、設置許可申請書で評価された燃料集合体の落下時の実効線量約 6.8×10^{-2} mSv よりさらに小さい値であることから、周辺公衆に与える放射線被ばくのリスクは十分に小さい。

今回評価した実効線量は設置許可申請書での評価と比較して 2 枠以上減少しているが、その原因は、設置許可申請書の評価で排気筒放出であったものが今回地上放出として評価することによる実効線量の上昇要因があるものの、冷却が進んだことによる希ガス及びよう素の減少効果がそれ以上に大きいことである。

4. 判断基準への適合性の検討

3. に示した通り、周辺公衆に対し、著しい放射線被ばくのリスクを与えることはない。

以 上

4号機使用済燃料プール新燃料先行取り出しに関する説明書

1. はじめに

4号機使用済燃料プールに貯蔵中の9×9新燃料2体を先行して取り出し、共用プールにて燃料構造部材の腐食状態等について調査することを計画している。

ここでは、新燃料取り出し作業、共用プールまでの新燃料輸送の作業計画及び安全性について説明する。

2. 燃料取り出し作業計画及び注意事項

新燃料取り出し作業計画の概要と、安全対策を下記に示す。(図1、図2)

| 作業内容 | 安全対策 |
|--|---|
| 1. クローラクレーンを用い、ウェル上に設置されている作業台上に、ラフタークレーン、新燃料輸送容器他、必要な機材を吊り込み、新燃料取り出しに必要な準備を行う。 | <ul style="list-style-type: none"> 重量物はプール上を通過させない。 吊り荷の下に入らない。 以下、強風時は作業を中止する。 |
| 2. 水中カメラを用い、取り出し対象新燃料が貯蔵されている燃料ラックの番号を確認する。また、水中カメラを用い、取り出し対象新燃料のハンドルの状態を確認する。 2-1 可能であれば燃料IDを確認する。 | <ul style="list-style-type: none"> 水中カメラを落下させない措置を取る。 |
| 3. 燃料ハンドルを補助フック、主フックにより把持する。 | <ul style="list-style-type: none"> 燃料ハンドルの把持状態を水中カメラで確認する。 |
| 4. 荷重計を監視しながら手動チェーンブロックを徐々に巻き上げる。 4-1 水面の線量率が30mSv/hを超えた場合は燃料をラックに戻し、作業を中止する。 4-2 吊り上げ荷重が大きい等、吊り上げ困難と判断した場合は、当該燃料の吊り上げを中断し、ラックに戻す。この場合、同じラック内の別の新燃料に対して、2.項から再開する。 | <ul style="list-style-type: none"> 使用済燃料を吊り上げていない事を確実にするため、燃料吊り上げ完了まで、水面の線量率を継続的に確認する。 水中カメラで燃料ハンドル把持状態、燃料吊り上げ状態を監視しながら吊り上げ作業を行う。 燃料を損傷させないよう、吊り上げ荷重(瞬時)は約1t(約10kN)未満を目安に行う。 |
| 5. 新燃料の下部がラックから完全に抜けたことを水中カメラにより確認する。 | |

| | |
|--|---|
| 6. ラフタークレーン操作により、新燃料を直下に他の使用済燃料が無い位置まで移動する。 | <ul style="list-style-type: none"> ・ 使用済燃料の上部を通過させない。 |
| 7. 新燃料を気中まで吊り上げる。 | <ul style="list-style-type: none"> ・ 水中では高圧散水を行い、チャンネルボックス表面のクラッドをなるべく除去し、被ばく低減に努める。 |
| 8. 新燃料の表面線量率を測定する。 | <ul style="list-style-type: none"> ・ 線量率が高い場合は、適切な遮へい対策等を行う。 |
| 9. 新燃料を新燃料輸送容器の内容器に収納する。 | |
| 10. 2体目の新燃料に関して、1体目と同様に吊り上げ、内容器に収納する。(上記2.項～9.項を繰り返す。) | |
| 11. 内容器を新燃料輸送容器の外容器に収納し、蓋を取り付ける。 | <ul style="list-style-type: none"> ・ ボルト締めの状態を確認する。 ・ 外容器の蓋に対して施錠又は封印を実施する。 |
| 12. 輸送容器の周辺線量を測定する。 | <ul style="list-style-type: none"> ・ 輸送容器から約1m離れた場所の空間線量率が10mSv/hを超える場合は輸送容器に必要な遮へいを行う。 |
| 13. 輸送容器を固縛し、クローラクレーンにより地上まで吊り降ろす。 | <ul style="list-style-type: none"> ・ 強風が吹いていないことを再度確認する。 |
| 14. 地上で待機しているトラックに輸送容器を積載し、共用プールまで輸送する。 | <ul style="list-style-type: none"> ・ トラックへの固縛状態を確認する。 ・ 危険物と混載しない。 ・ 共用プールまでの道路及びその周辺には交通規制をかける。 ・ トラックは徐行する。 ・ 見張り人を配置する。 |
| 15. クローラクレーンにより燃料取り出しに使用した機材を地上まで吊り降ろす。 | <ul style="list-style-type: none"> ・ 重量物はプール上を通過させない。 ・ 吊り荷の下に入らない。 |

3. 安全性

3.1 作業環境について

- ・ 主な作業場所となる 4 号機 5 階フロアの雰囲気線量率は 0.1~0.5mSv/h 程度であり、有人作業が可能である。
- ・ 燃料取り出しに使用するラフタークレーンを載せる作業台には現在、屋根トラス解体用の重機を載せているが、今回の作業に使用するラフタークレーンの重量はこれより軽い。作業台は、大引（H 鋼（900×300×16×28））を 500mm ピッチ、支点間距離約 13m で並べた上に、覆工板等を載せる構造になっている。簡易評価の結果、仮にラフタークレーンの重量（約 30t）の全荷重が大引 1 本の中心に掛かった場合でも、安全率は引張応力で 1.9、せん断応力で 5.4 あるため、大引は破断しない。

3.2 作業員の被ばく低減対策等について

- ・ 夏場の作業であることから、クールベストの着用、適切な作業時間での交替、早朝、夕刻の作業実施などの対策により、熱中症を防止する。
- ・ 4 号機 5 階フロアの雰囲気線量率は 0.1~0.5mSv/h 程度であるが、適切な作業時間での交替により作業員の被ばく低減に努める。また、空間線量率を随時確認することにより、作業員の過剰被ばくを防ぐ。
- ・ 汚染が無い場合の新燃料の表面線量率は $25 \mu \text{Sv}/\text{h}$ 程度であり、十分低い。
- ・ 表面汚染等により新燃料の表面線量率が高い場合は、鉛毛マット等で遮へいする。

3.3 事前検討、作業資格

- ・ 作業手順書を作成し、事前に十分検討を行った上で作業を行う。
- ・ クレーン、大型トラックの運転は、有資格者を配置する。

3.4 新燃料吊り上げの可否について

- ・ これまでに得られている知見から、新燃料の構造部材はほとんど腐食していないと考えられること、また、平成 24 年 3 月 19 日に実施した水中カメラによる観察からは、取り出し対象の新燃料には瓦礫による損傷は見られないことから、通常の吊り上げと同様に、ハンドルを持てた吊り上げが可能と判断できる。
- ・ 主フックのチェーンブロックの定格荷重は約 1t、補助フックのチェーンブロックの定格荷重は約 0.5 t のものを使用する予定であることから、チャンネルボックス付き新燃料（空中重量約 300kg）を吊り上げ可能である。
- ・ 荷重計の定格荷重は約 2t であり、チェーンブロックの重量とチャンネルボックス付き新燃料の合計重量を吊り上げ可能である。
- ・ ラフタークレーンは、吊り荷までの距離を考慮しても荷重計、チェーンブロック、チャンネルボックス付き新燃料の合計重量を吊り上げ可能なものを使用する。

3.5 新燃料と燃料ラックの噛み込み防止策について

- ・ 燃料上部の瓦礫により、燃料とラックが噛み込む可能性があることから、燃料上部の瓦礫は吊り上げ前に出来るだけ撤去しておく。

- 可能であれば、吊り上げ前に、燃料とラックの隙間に治具を入れるなどして、燃料とラックの間隙が確保されていることを確認する。

3.6 新燃料落下防止対策等について

- 燃料把持装置（主フック）はエア駆動の外れ防止機能付きのものを用意する。また、補助フックを使用することにより、二重吊りとする。（図2）
- 燃料ハンドルを確実に把持していることを、水中カメラにより確認しながら吊り上げ作業を行う。
- 主フックには荷重計を取り付け、燃料吊り上げ時の荷重を確認しながら吊り上げを行う。
- 新燃料を吊り上げ、移動する場合は、使用済燃料の上を通過させない。また、重量物は使用済燃料の上を通過させない。
- 輸送容器を吊り降ろすクローラクレーンのワイヤは定格荷重15t以上のワイヤを6重化しており、吊り荷の重量約1.7tに対して十分な強度を有している。
- 原子炉建屋から地上への吊り降ろしに際しては、輸送容器の4箇所のフックに独立した4本のワイヤを掛ける。このため、ワイヤ1本又は輸送容器のフック一箇所が破断しても吊り荷の落下や荷崩れは発生しない。
- 吊り降ろしに際し、クローラクレーンの移動距離が小さくなるよう配慮する。
- 強風時（概ね10m/s以上）は作業を中止する。

3.7 使用済燃料吊り上げ防止策について

- 対象ラックに貯蔵されている燃料は全て新燃料であることから、吊り上げ作業前には水中カメラによりラックの番号を確認する。また、可能であれば燃料IDを確認する。
- 燃料吊り上げ中は常に水面の線量率を確認し、使用済燃料を吊り上げていない事を確実にする。（水面の線量率30mSv/hを判断の目安とする）

3.8 新燃料の未臨界性について

- 使用済燃料プール内での燃料移動は通常実施する作業であり、燃料1体を燃料ラックの上部に引き上げることで臨界に達することはない。
- 新燃料2体以下であれば、冠水しても臨界にはならない。

3.9 臨界防止対策について

- 燃料単体では臨界にならないことから、プール中では新燃料を1体ずつ取り扱う。
- 燃料を気中に吊り上げ後は速やかに収納物の未臨界性が確認された新燃料輸送容器に収納する。

4. 異常時の評価・措置

4.1 新燃料等の落下

- 3.6項で述べたとおり、落下防止対策等を取るため、プール内に新燃料を落下させる恐れはないものの、万一、新燃料を落下させた場合でも新燃料等を取り扱う際は使用済燃料の上を通過させないため、使用済燃料の破損による放射性物質の放散には至らない。

- 3.6 項で述べたとおり、落下防止対策等を取るため、新燃料輸送容器を原子炉建屋から吊り降ろす際に落下させる恐れはないものの、万一、新燃料輸送容器を落させた場合は、燃料部材、燃料ペレット等を全量回収し、缶等に入れ共用プールにて適切に保管する。なお、未照射燃料ペレットの放射能は極めて小さいため、本事象による敷地境界線量への影響は無視できる。

4.2 新燃料とラックの間に瓦礫等が噛み込み、吊り上げられない場合

- フックを外しても当該燃料が落下しないよう、燃料ハンドル等を把持し、プール壁にワイヤでテンションを取ることにより、燃料が落下しない措置を取る。本事象が発生した場合、これ以降の取り出し作業は中止する。

5. 設備主要仕様

(1) クローラクレーン

個数 1

(2) ラフタークレーン

個数 1

(3) 燃料把持器（エア駆動）

個数 1

(4) 補助フック

個数 1

(5) 荷重計（定格荷重 2t）

個数 1

(6) 手動チェーンブロック（主フック用）（定格荷重 1t）

個数 1

(7) 手動チェーンブロック（補助フック用）（定格荷重 0.5t）

個数 1

(8) 新燃料輸送容器（2 体入り）

個数 1（内容器、外容器それぞれ 1 個）

(9) トラック

個数 1

6. 工程（案）

表 1 新燃料先行取り出し 工程表（案）

| | 7月 | 8月 | 9月 |
|----------------------|--|---|----|
| 燃料取出し作業 (4号原子炉建屋) | <input type="checkbox"/> 準備作業 <input type="checkbox"/> 燃料取出し(2体)、共用プールへの移送 <input type="checkbox"/> 後片付け | | |
| 燃料調査 (共用プール) | | <input type="checkbox"/> 装置等の準備 <input type="checkbox"/> 現地準備・調整 <input type="checkbox"/> 燃料調査 <input type="checkbox"/> 後片付け | |

7. 新燃料輸送作業に使用する輸送容器について

輸送容器としては BWR 用新燃料集合体の事業所外輸送に使用している NT-IV 型輸送容器を燃料容器（内容器）のみ一部改造して使用する。容器の概要を図 3 に示す。

NT-IV 型輸送容器は燃料集合体を収納する燃料容器と、燃料容器の外側を覆う保護容器（外容器）から成る二重構造となっている。燃料容器には 2 体のチャンネルボックス無しの燃料集合体が平行に配置して収納され、上部面と頭部面には上蓋と頭蓋がボルト及びナットにより締め付けられて固定される。同様に、保護容器本体と上蓋はボルト及びナットにより締め付けられて固定される。また、保護容器内面及び燃料容器内面には外部からの衝撃を吸収するために緩衝材が取り付けられている。本運搬物は通常輸送時、一般及び特別の試験条件においても臨界に達することがないように設計されている。具体的には、容器の変形や内容物である新燃料の移動、火災による緩衝材喪失及び水の浸入を考慮、収納物はウラン重量の大きい 8×8 燃料とし、 ^{235}U 濃縮度は一律 5%、ガドリニアによる反応度低下は考慮せず、容器は無限に配列しているとした条件で評価を行い、未臨界であることを確認している。

本作業では、チャンネルボックス付きのまま燃料集合体を輸送するが、現行の燃料容器では寸法上、チャンネルボックス付き燃料集合体の収納が困難であることから、燃料容器内面の緩衝材を除去するものの、保護容器の緩衝材は除去しない。

NT-IV 型輸送容器の容器承認からの変更として、チャンネルボックス付き燃料集合体を収納すること及び燃料容器の緩衝材を除去していることが挙げられる。

収納する 9×9 燃料のチャンネルボックス付き重量は 1 体あたり約 286kg であり、輸送容器の設計時に考慮した燃料重量である約 280kg よりも約 6kg 重い。このため、運搬物の総重量は設計時に考慮した重量よりも約 12kg (2 体分) 増加する。これは吊り荷の総重量約 1.7t 程度に対し 2%未満の増加であるが、吊り上げ時に最も安全率が低い保護容器の上蓋ボルト

の引張応力でも安全率は 1.3 以上あることから、吊り上げ健全性上、問題となることはない。

また、臨界安全性に関しては、チャンネルボックスがある場合、臨界評価で想定している減速材（水）がチャンネルボックスの材料であるジルカロイ 4 と入れ替わることにより、中性子減速効果が低下し反応度が低下すること、容器承認時の臨界安全評価にあたっては、緩衝材を無視して計算していることを考慮すると、今回の変更により臨界安全上問題となることはない。

8. 新燃料の運搬について

新燃料輸送容器をトラックに固縛した後には速やかに共用プール大物搬入口から搬入する予定である。4 号機原子炉建屋と共にプールは近いため、輸送経路は最長でも数十メートルとなる予定である。

「福島第一原子力発電所第 1～4 号機に対する「中期的安全確保の考え方」に基づく施設運営計画に係る報告書（その 3）」において、管理区域と同等の管理を要する区域として管理対象区域を定義しており、保安規定により作業場所も管理対象区域に設定されている。

運搬に関しては、「実用発電用原子炉の設置、運転等に関する規則の第 13 条（工場又は事業所において行われる運搬）」に準じて実施するが、周辺の雰囲気線量率や汚染密度が高いことから、周辺環境によっては運搬物の表面及び表面から 1 メートルの距離における線量当量率及び運搬物の表面の放射性物質の密度に関しては法令に適合していることを確認できない可能性がある。このため、運搬物の表面及び表面から 1 メートルの距離における線量当量率および運搬物の表面の放射性物質の密度に関しては、作業実施時の最新の保安規定、社内マニュアル等に基づき管理する。

なお、新燃料は表面に付着したクラッドや高線量瓦礫の内部への混入等により高線量となっている可能性も考えられるため、作業員の被ばく低減の観点から、原子炉建屋から吊り降ろす前に、運搬物の表面から 1 メートルの距離における空間線量当量率を測定し、 10mSv/h を超える場合は運搬物に適切な遮へいを行う。

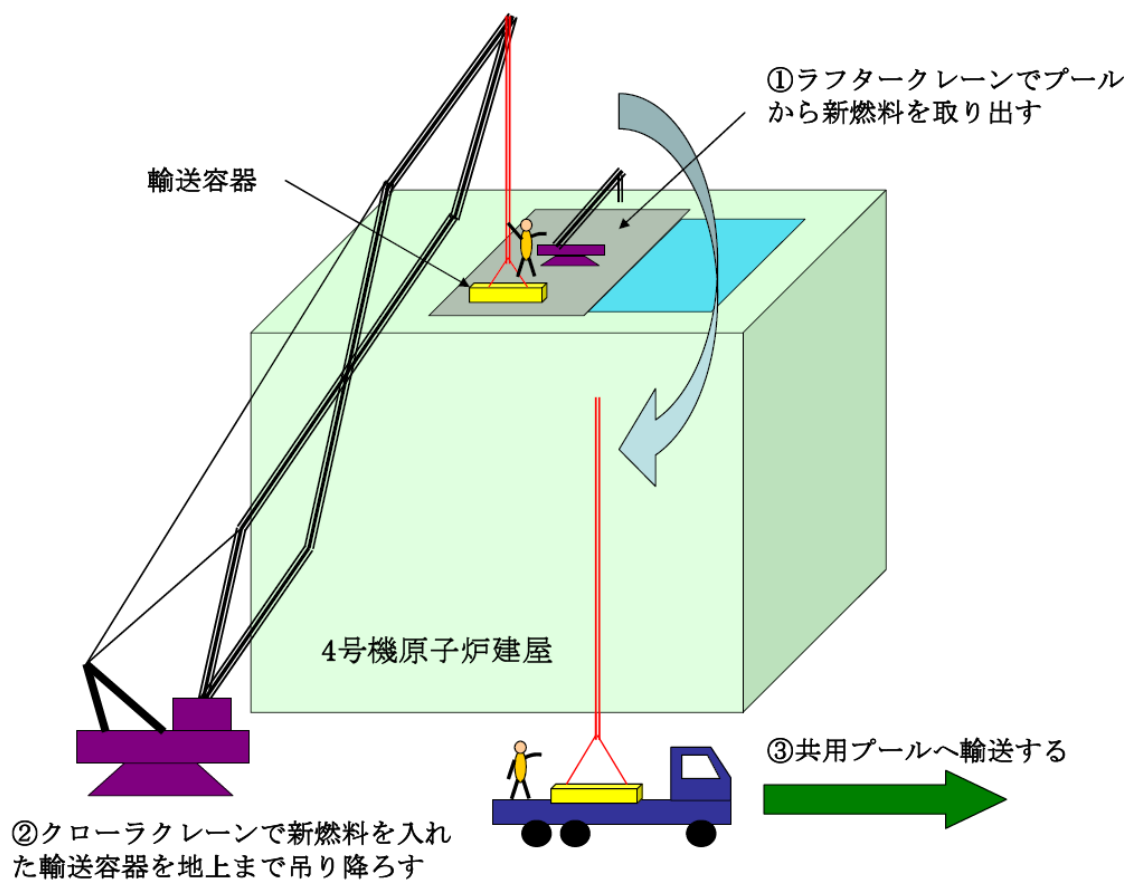


図1 4号機新燃料取り出し作業の概要

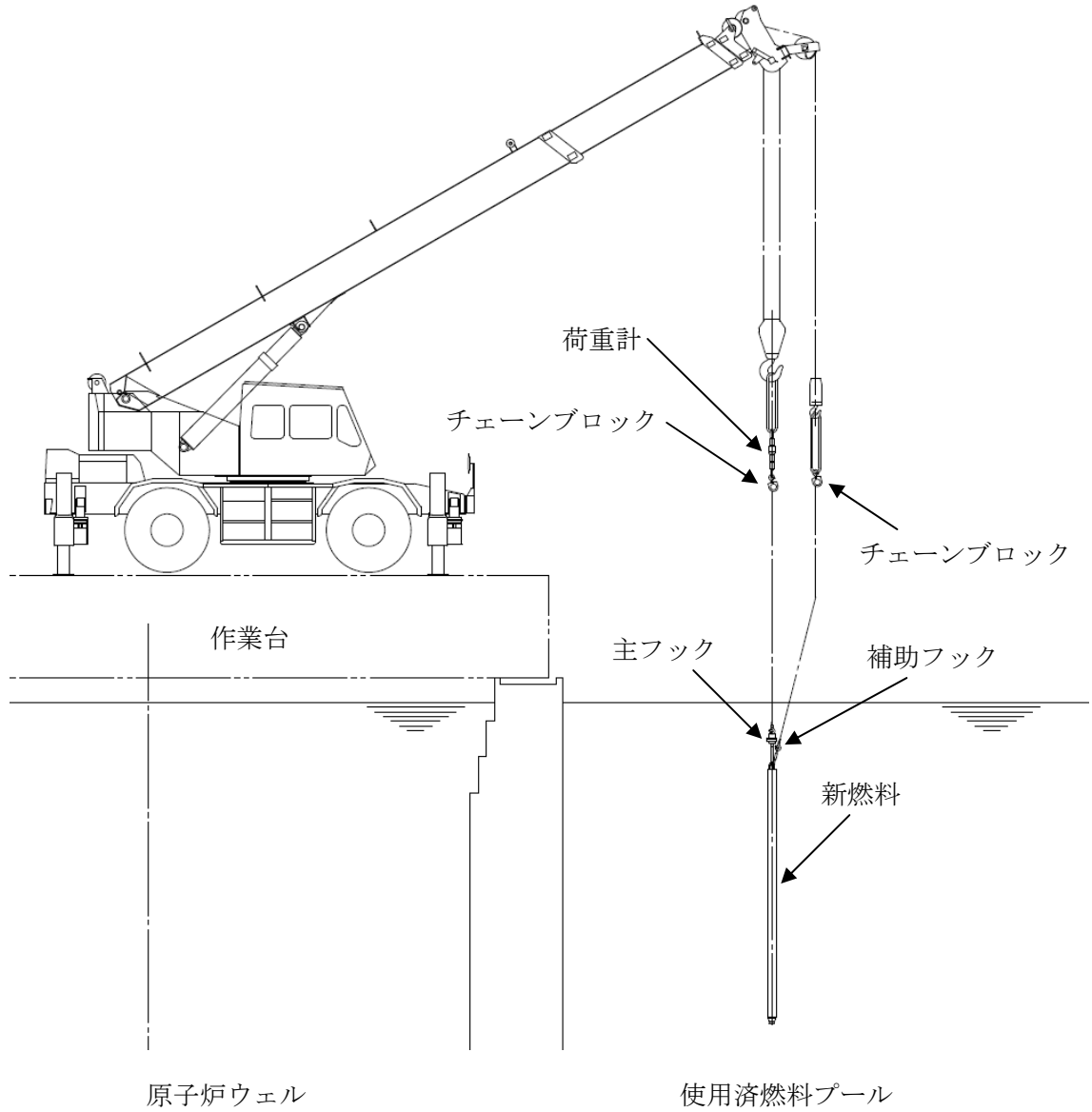


図2 新燃料吊り上げ（二重吊り）の概要

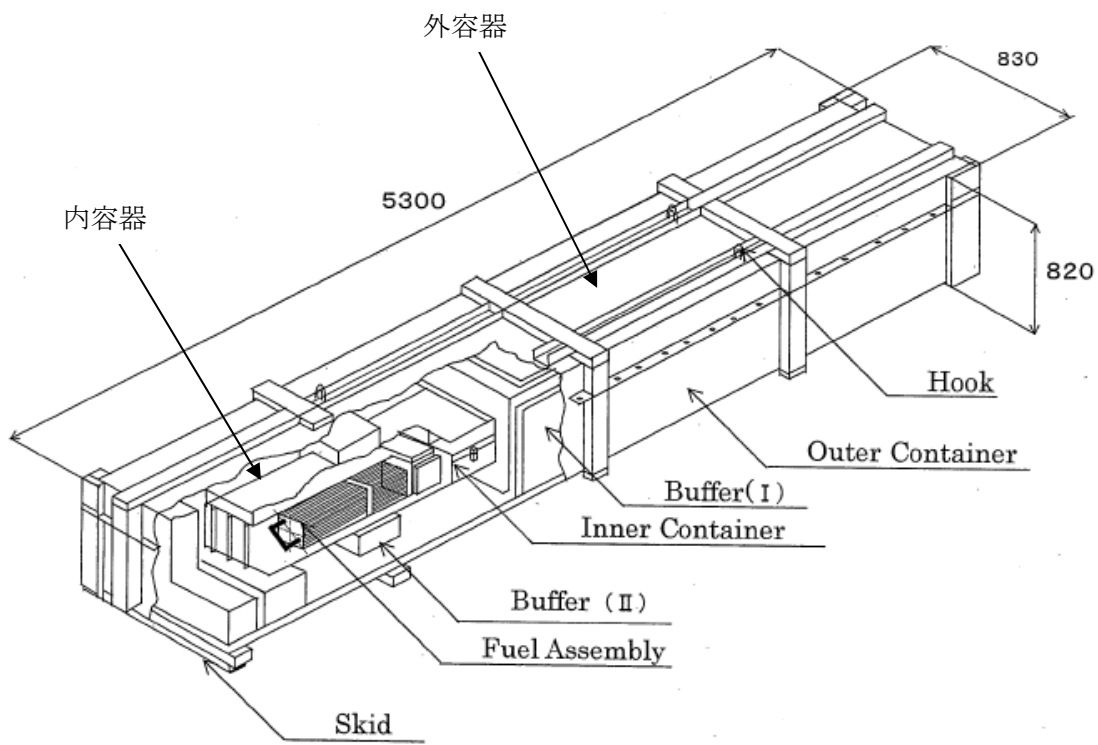


図3 NT-IV型輸送容器の概要